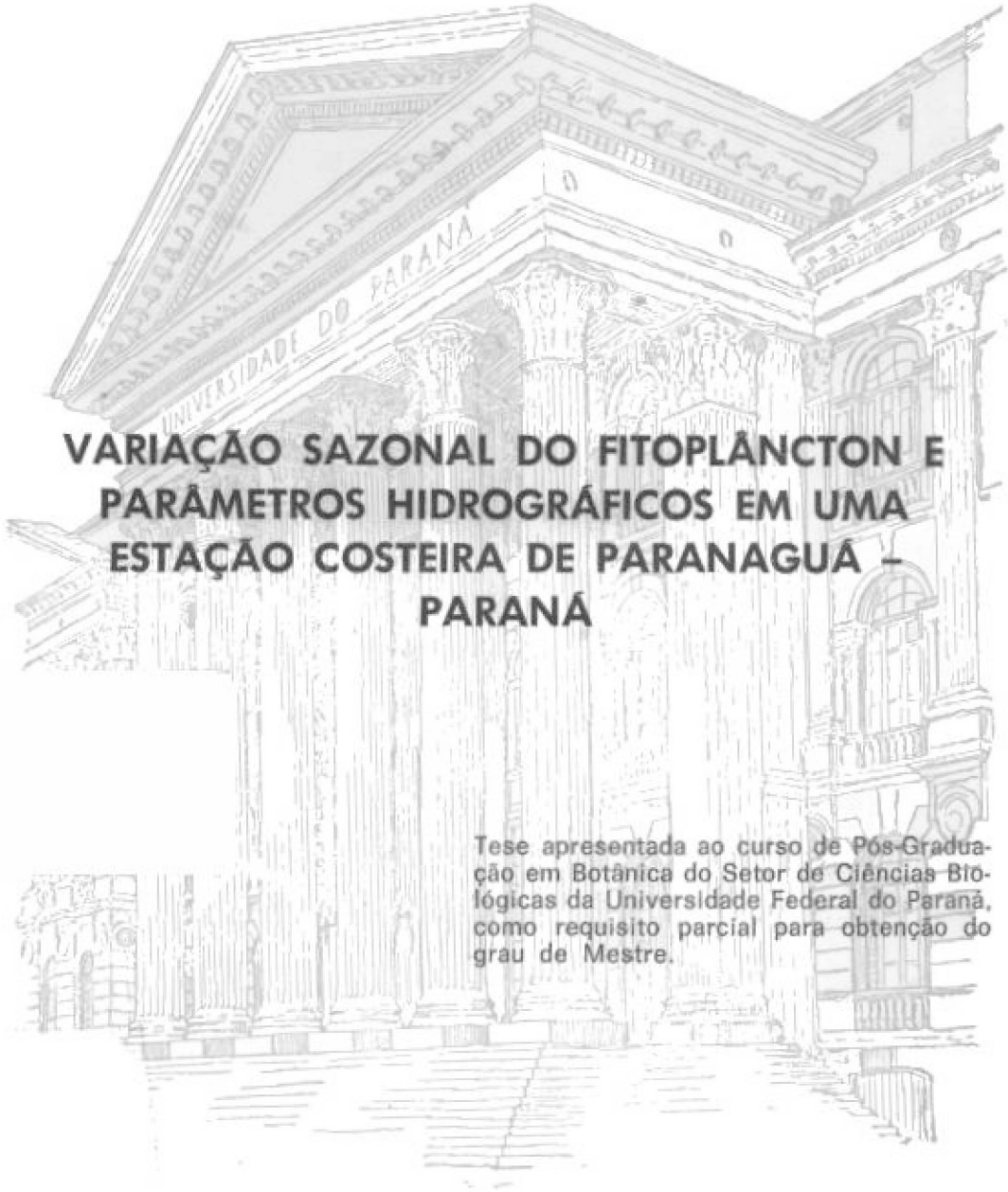


LUCIANO FELÍCIO FERNANDES



**VARIAÇÃO SAZONAL DO FITOPLÂNCTON E
PARÂMETROS HIDROGRÁFICOS EM UMA
ESTAÇÃO COSTEIRA DE PARANAGUÁ –
PARANÁ**

Tese apresentada ao curso de Pós-Graduação em Botânica do Setor de Ciências Biológicas da Universidade Federal do Paraná, como requisito parcial para obtenção do grau de Mestre.

Curitiba
1992

LUCIANO FELÍCIO FERNANDES

**VARIAÇÃO SAZONAL DO FITOPLÂNTON E
PARÂMETROS HIDROGRÁFICOS EM UMA
ESTAÇÃO COSTEIRA DE PARANAGUÁ –
PARANÁ**

Tese apresentada ao curso de Pós-Graduação em Botânica do Setor de Ciências Biológicas da Universidade Federal do Paraná, como requisito parcial para obtenção do grau de Mestre.

Curitiba
1992

VARIAÇÃO SAZONAL DO FITOPLANCTON E PARÂMETROS HIDROGRÁFICOS EM UMA
ESTAÇÃO COSTEIRA À PARANAGUÁ, PARANÁ.

por

LUCIANO FELÍCIO FERNANDES

Tese aprovada como requisito parcial para a
obtenção do grau de Mestre no Curso de Pós-
Graduação em Botânica, pela Comissão formada
pelos Professores:

ORIENTADOR:

PROF. DR. FÁTIMA R. B. Brandini

Prof. Dr. Hermes Moreira Filho

Prof. Dr. Jayme de Loyola e Silva

Prof. Dr. Nelson Yoneda

Para: Gil
Arnaldo
Mirinha

AGRADECIMENTOS

Ao Profº Dr. Frederico P. Brandini, orientador e amigo, pelas discussões e apoio constantes.

Ao Conselho Nacional de Desenvolvimento Científico e Tecnológico, pela concessão de bolsa de estudos.

Ao Centro de Biologia Marinha da Universidade Federal do Paraná, minha "casa", onde muito aprendi.

A coordenadoria do curso de Pós-graduação em Botânica da UFFR, nas pessoas do Profº Hermes Moreira Filho e Profº Armando C. Cervi, pelo apoio e organização.

Aos amigos e professores do Centro de Biologia Marinha em Pontal do Sul, pela disposição em ajudar.

Aos Professores Paulo Lana e Hedda Kolm, pela presteza em ajudar.

Aos amigos João Roberto, Cristine, Jaqueline e Valéria, pela ajuda na confecção da tese e críticas.

Aos "barqueiros" Carlitos e Abrão, pela vontade e ajuda nas amostragens; e pelos "perigos" das coletas no CBM III.

A Sohaila, Peracetta, Suzete, Cláudia e Tamara, da "turma do leite com biscoito", pela amizade franca e despojada, e pelas reuniões.

A Pedro e Meire, pelas conversas e almoços.

À Prof. Roseli M. de Souza-Mosimann, que iniciou-me na pesquisa científica com dedicação e paciência; e às professoras Roselane Laudares e Zenilda Bouzon, do Horto Botânico da UFSC.

À Dri, pelo seu carinho.

À meus pais e irmãos, pelo exemplo de suas vidas, união e apoio irrestrito a minha carreira profissional.

Ao Mar, que me fascina desde pequeno.

SUMÁRIO

RESUMO.....	vi
ABSTRACT.....	vii
1. INTRODUÇÃO.....	01
2. OBJETIVOS.....	06
3. MATERIAL E MÉTODOS.....	07
3.1 Área de Estudo.....	07
3.2 Coleta e Processamento das Amostras.....	08
4. RESULTADOS.....	13
4.1 Dados Climatológicos.....	13
4.2 Parâmetros Físico-químicos da Água.....	14
4.3 Parâmetros Biológicos.....	16
4.3.1 Clorofila-a Total e Fracionada.....	16
4.3.2 Fitoplâncton Total.....	19
4.3.2.a Categorias de Tamanho e Grupos Dominantes.....	19
4.3.2.b Variação Sazonal de Grupos Taxonômicos Representativos	25
4.3.3 Ciliados.....	30
4.3.4 Flâncton de Rede.....	31
5. DISCUSSÃO.....	33
5.1 Parâmetros Físico-químicos.....	33
5.2 Parâmetros Biológicos.....	37
5.2.a Categorias de Tamanho e Clorofila-a.....	37
5.2.b Variação Sazonal de Grupos Taxonômicos Representativos	44
6. CONCLUSÕES.....	51
7. ANEXOS.....	53
8. REFERÊNCIAS BIBLIOGRÁFICAS.....	83

RESUMO

A variação sazonal do fitoplâncton e parâmetros hidrográficos foram estudados durante um ano (Maio/1990-Abril/1991) em uma estação costeira de Paranaguá (Paraná - Brasil). Valores de salinidade, temperatura, seston e nutrientes inorgânicos (fosfato, silicato, nitrito e nitrato) foram medidos para avaliar seus efeitos sobre a comunidade fitoplanctônica.

O nanoplâncton (2-20 μ m) foi dominante durante a maior parte do período, ocorrendo em concentrações médias de $4,42 \times 10^5$ - $1,24 \times 10^6$ células/l e 0,67-2,33 mg/m³ de clorofila-a. Sua contribuição em relação ao microplâncton oscilou entre 46 e 94% das densidades totais de células e 33 a 73% da clorofila-a. Os grupos taxonômicos mais importantes incluiram fitoflagelados não identificados (2-5 μ m), criptofíceas, cocolitoforídeos e gymnodiniáceos, formando "blooms" esporádicos. O microplâncton (>20 μ m) apresentou concentrações entre $6,02 \times 10^4$ e $9,70 \times 10^5$ cels/l, e 0,66 a 2,25 mg/m³ de clorofila-a. Sua contribuição relativa foi menor, oscilando de 5,6 a 53,8% das densidades totais e 26 a 66% da clorofila-a, sendo importante nos períodos de maior precipitação pluviométrica (janeiro-março) e durante a época de maior turbulência e provável intrusão de águas sub-antárticas (abril-agosto). Nesta época representou 27-53% do total de células e 51-66% da biomassa fitoplanctônica. As diatomáceas dominaram o microplâncton, principalmente *Chaetoceros* spp., *Nitzschia* spp., *Leptocylindrus* spp., *Thalassionema nitzschioides*, *Asterionella glacialis*, *Rhizosolenia* spp., *Skeletonema costatum* e *Cerataulina bergonii*. Secundariamente foram importantes os dinoflagelados tecados e a família Gymnodiniaceae, seguidos de silicoflagelados e cocolitoforídeos.

A dinâmica temporal da comunidade planctônica na região estudada foi influenciada por diversos fatores. A massa de água da Corrente do Brasil tendeu a empobrecer a Água Costeira e manter as concentrações de nanoplâncton elevadas. Altas densidades destes organismos também ocorreram após o esgotamento de nutrientes durante os períodos de maior crescimento do microplâncton. A turbulência gerada pela maior intensidade de ventos do quadrante sul e a possível influência de águas sub-antárticas ricas em nutrientes de abril a agosto, e a drenagem continental entre janeiro e março, favoreceram o microplâncton. A turbulência pareceu ser importante para tornar disponíveis os nutrientes regenerados no fundo e impedir a sedimentação do microplâncton.

A diversidade de espécies e a complexidade de fatores bióticos e abióticos não permitiram padronizar a variação temporal das comunidades nano- e microplanctônica na região.

ABSTRACT

The seasonal variation of phytoplankton and hydrographic parameters were studied during one year (May/90-April/91) at a coastal station off Paranaguá (Paraná - Brazil). Salinity, temperature, seston and inorganic nutrients (phosphate, silicate, nitrite and nitrate) values were measured to evaluate their effects on the phytoplankton community.

Nanoplankton ($2\text{-}20\mu\text{m}$) dominated during the survey in average concentrations of $4.42 \times 10^5\text{-}1.24 \times 10^6$ cells/l and $0.67\text{-}2.33$ mg/m 3 of chlorophyll-a. Its contribution in relation to microplankton ranged from 46-94% in total cell density and 33-73% for chlorophyll-a. The most important taxonomic groups included unidentified phytoflagellates ($2\text{-}5\mu\text{m}$), cryptophyces,, and gymnodiniaces, forming sporadic blooms. During important periods of larger precipitation (January-March) and higher turbulence, and probable subantarctic water intrusions (April-August), microplankton ($>20\mu\text{m}$) concentrations ranged between 6.02×10^4 and 9.70×10^5 cells/l, and 0.66 to 2.25 mg/m 3 for chlorophyll-a, representing 27-53% of phytoplankton cells and 51-66% of biomass. The diatoms dominated the microplankton, mainly *Chaetoceros spp.*, *Nitzschia spp.*, *Leptocylindrus spp.*, *Thalassionema nitzschiooides*, *Asterionella glacialis*, *Rhizosolenia spp.*, *Skeletonema costatum e* *Cerataulina bergonii*. Of secondary importance were the family Gymnodiniaceae and thecate dinoflagellates, followed by silicoflagellates and cocolitophorides.

The seasonal dynamic of the plankton community in the study region was influenced by diverse factors. Waters masses of the Brazil Current tended to impoverish the Coastal Water and increase nanoplankton. Higher densities also occurred after nutrient consumption during larger growth periods of microplankton. The higher turbulence and probable influence of nutrient-rich subantarctic waters from April until August and continental drainage (January-March) favored microplankton. The turbulence seemed to be important to make benthic regenerated nutrients available and impede microplankton sinking.

The species diversity, and complex environmental factors did not permit standardization of seasonal variation in the regional plankton community.

1. INTRODUÇÃO

Nos estudos sobre a ecologia de comunidades pelágicas marinhas devem ser objetivos primários a identificação dos organismos planctônicos, sua dinâmica temporal e biomassa. Estas variam em função de fatores biológicos e ambientais que atuam em diferentes intensidades, assumindo maior ou menor importância, dependendo da área estudada.

Luz, temperatura, salinidade, concentração de nutrientes, "grazing" e competição são fatores que determinam a variação sazonal e distribuição geográfica do plâncton.

As comunidades fitoplânticas de regiões oceânicas oligotróficas são bastante estáveis quanto à variabilidade interanual, apresentando ciclos espaço-temporais bem definidos (HAYWARD E McGOWAN, 1985; VENRICK, 1990). Entretanto, em zonas costeiras a complexidade ambiental é maior devido à processos físicos de curta duração e turbulência, gerados por correntes de maré, regime de chuvas e drenagem continental. A atuação conjunta destas condições impede a estratificação da coluna de água, influenciando na deposição de materiais orgânicos e inorgânicos, turbidez e disponibilidade de nutrientes (WALSH, 1980; ZEITSCHEL, 1980; PEINERT et al., 1982; SMETACEK, 1985). MARGALEF (1978) considera que a dinâmica de energia nestes movimentos de água regularia a produção primária do fitoplâncton, além de atuar na seleção e evolução de diversas espécies e formas de sobrevivência, as quais desenvolveriam, por exemplo, esporos de resistência, ou apresentariam "blooms" intermitentes (SMETACEK,

1988). Porém, ESTRADA *et al.* (1988) sugerem que os efeitos dos movimentos de água não podem ser dissociados daqueles que resultam na disponibilidade de luz e concentração de nutrientes.

Nas áreas costeiras a regeneração de nutrientes pela comunidade bentônica enriquece a zona eufótica por processos de turbulência, aumentando a produção primária do fitoplâncton (ZEITSCHEL, 1980; DOERING, 1989). FLINT E KAMIACKOWSKY (1984) estudaram as interações sedimento-água na costa sudeste dos Estados Unidos, estimando que a regeneração de amônia pelos organismos bentônicos forneceria aproximadamente 69% do nitrogênio requerido para sustentar a produção primária daquela região.

A variabilidade ambiental dos sistemas costeiros dificulta a interpretação dos padrões de variação espaço-temporal do fitoplâncton e seus estágios sucessionais (SMAYDA, 1980; HULBURT, 1983; MATTA E MARSHALL, 1984). Vários autores recomendam como estratégia amostral adequada para o estudo em regiões costeiras coletas intensivas em intervalos curtos (4-15 dias), ou seja, em escalas de tempo semelhantes às de processos oceanográficos e meteorológicos (WOOD *et al.*, 1971; MARGALEF, 1978a; PLATT E DENMANN, 1980). Entretanto, estas metodologias nem sempre são praticáveis.

Como consequência do avanço no entendimento da estrutura trófica dos oceanos, o plâncton marinho têm sido subdividido em categorias de tamanho, considerando sua função e modo de nutrição na teia alimentar (heterotrofia, autotrofia, mixotrofia, etc.) (v. SIEBURTH *et al.*, 1978; FENCHEL, 1988). Este novo enfoque

modificou o clássico agrupamento do plâncton em bacteriplâncton, fitoplâncton e zooplâncton. Assim, SIEBURTH et al. (1978) enquadram os organismos do plâncton sob diferentes denominações, onde o fitoplâncton inclui populações autótrofas do nanoplâncton (2-20 μm) e micropoplâncton (20-200 μm). Vários estudos de fracionamento em diferentes classes de tamanho, de biomassa e produção primária vem sendo realizados nas diversas áreas do globo, reconhecendo sua importância para o ambiente marinho (MUNK E RILEY, 1952; YENTSCH E RYTHER, 1959; TEIXEIRA, 1963, TEIXEIRA E TUNDISI, 1967, MALONE, 1971 e 1971a, DURBIN et al., 1975; HALLEGRAEFF, 1981; FURNAS, 1983). Evidências recentes mostram que as diferentes categorias de tamanho das comunidades do fitoplâncton assumem importante função no controle de alguns processos biológicos marinhos (fluxo de nitrogênio, carbono, etc.). O nanoplâncton tende a tornar-se mais importante nas regiões oceânicas oligotróficas, devido a sua maior eficiência de crescimento em baixas concentrações de nutrientes, enquanto que o micropoplâncton representa fração significativa em áreas costeiras e de ressurgências (MALONE, 1980; FENNEL, 1988; PENA et al., 1990). Os flagelados do nanoplâncton também podem desempenhar função relevante nos fluxos de energia de cadeias tróficas pelágicas, incluídos num sistema conhecido como **microbial loop** (alça microbiana) (POMEROY, 1974; AZAM et al. 1983; SHERR et al. 1988; SHERR E SHERR, 1988). Neste sistema, a matéria orgânica dissolvida na água do mar (originada da morte ou excreção do plâncton) seria assimilada pelo bacteriplâncton, o qual seria capturado por nanoflagelados (2-20 μm). Estes serviriam de alimento para

ciliados e outros organismos do microzooplâncton. Assim, a matéria orgânica excretada ou perdida por organismos maiores do plâncton seria eficientemente reincorporada à cadeia trófica principal, via nanoplâncton, circulando continuamente naquela cadeia.

Embora alguns trabalhos sobre variação sazonal e fracionamento do fitoplâncton tenham sido realizados em diversas regiões da costa brasileira (TEIXEIRA, 1963; TEIXEIRA *et al.*, 1967; SASSI E KUTNER, 1982; SASSI, 1987; VILLAC, 1990), pouco têm sido feito em relação à região sul. Na plataforma continental incluindo a costa paranaense, além dos trabalhos desenvolvidos na Baía de Paranaguá - PR (AIDAR, 1970; BRANDINI, 1985 e 1985a; KNOPPERS *et al.*, 1987; BRANDINI *et al.*, 1988; REZENDE E BRANDINI, 1989; REBELLO E BRANDINI, 1990) foram feitos estudos sobre distribuição espacial, produção primária e clorofila-a em relação às condições oceanográficas (AIDAR-ARAGÃO *et al.*, 1980; SOARES, 1983; BRANDINI E MORAES, 1986; BRANDINI *et al.*, 1989; BRANDINI, 1988, 1988a, 1990 e 1990a; MACENO-SILVA, 1991), e taxonomia de diatomáceas (MOREIRA FILHO, 1961; MOREIRA FILHO *et al.*, 1975; MOREIRA E MOREIRA, 1978 e 1981). SUZUKI *et al.* (1990) estudaram preliminarmente a distribuição vertical do picoplâncton e nanoplâncton em frente ao Canal da Galheta (PR). Os principais trabalhos realizados na plataforma do Rio Grande do Sul são os de HUBOLD (1980 e 1980a) relacionando o sistema de correntes à concentração de clorofila-a, e CIOTTI (1990), comparando a distribuição espacial de clorofila-a em diferentes épocas do ano e analisando dados de produção primária e fatores abióticos.

O presente trabalho acompanhou a variação sazonal dos grupos taxonômicos dominantes do nanoplancton e microplancton, biomassa e parâmetros hidrográficos em uma estação costeira de Paranaguá (Paraná), obtendo informações que poderão auxiliar no entendimento do ecossistema daquela região.

2. OBJETIVOS

- O presente trabalho teve como objetivos:
- acompanhar a variação sazonal quantitativa dos grupos taxonômicos dominantes do fitoplâncton e protozooplâncton em uma estação costeira de Paranaguá (Paraná);
 - relacionar a dinâmica da comunidade planctônica aos parâmetros hidrográficos;
 - estimar a biomassa fitoplantônica (número de células e clorofila-a) e sua variação sazonal;
 - avaliar a contribuição relativa de diferentes classes de tamanho ($2-5\mu\text{m}$, $5-10\mu\text{m}$, $10-20\mu\text{m}$ e $>20\mu\text{m}$) para a comunidade planctônica, baseando-se em contagens do número de células e fracionamento da clorofila-a ($<10\mu\text{m}$ e $>10\mu\text{m}$), e;
 - comparar os resultados obtidos com os de outras regiões e ambientes.

3. MATERIAL E MÉTODOS

3.1 Área de Estudo

A área de estudo localiza-se na costa do estado do Paraná, e é influenciada pelo regime de chuvas, drenagem continental, ventos e oscilações de maré (Fig.1). A Baía de Paranaguá - PR contribui de forma importante no aumento de aporte de sedimentos e nutrientes orgânicos e inorgânicos nas águas costeiras. Esta baía é um complexo estuarino circundado por extensas formações de mangue, situada numa grande planície sedimentar costeira do Cenozóico. Recebe as águas de quatro sub-bacias que, juntas, perfazem uma área de 3.361 Km² (MAACK, 1981).

Segundo a classificação climática de NIMER (1990), que utiliza critérios dos tradicionais sistemas de Koppen e Gausßen & Bagnouls, o clima da região é do tipo ^{Sub-Quente}V Mesotérmico temperado, super-úmido e sem seca. As médias anuais de temperatura e pluviosidade oscilam entre 20-23°C e 1250-2000mm, respectivamente. No inverno, a temperatura é mais baixa (médias de 12-16°C), acompanhado de baixa pluviosidade; no verão, a temperatura aumenta (24-30°C), juntamente com a pluviosidade.

Ocorrem os ventos do quadrante norte, originados do Anticiclone do Atlântico Sul. No entanto, durante todo o ano massas de ar antártico incidem sobre a região, alterando os padrões de circulação dos ventos, temperatura e pluviosidade.

As águas costeiras do estado do Paraná encontram-se sob a influência de águas quentes oligotróficas da Corrente do Brasil e

da Água de Plataforma, que se aproximam mais da costa no verão. Nesta época também ocorrem intrusões de águas mais frias da Água Central do Atlântico Sul e uma importante contribuição do regime de chuvas e drenagem continental (EMILSSON, 1961; MATSUURA, 1986; BRANDINI, 1990). No inverno, uma faixa estreita da costa é enriquecida por massas de água sub-antárticas (BRANDINI, 1990). No presente trabalho, as massas de água foram definidas pelos seguintes pares termohalinos (a partir de SVERDRUP et al., 1942; EMILSSON, 1961; MIRANDA, 1982 e FERREIRA DA SILVA et al., 1984):

- Água Tropical (AT) (Corrente do Brasil) - $>20^{\circ}\text{C}$; $>36\%$.
- Água Costeira (AC) - $>15^{\circ}\text{C}$; $<35\%$.
- Água de Plataforma (AP) - $>20^{\circ}\text{C}$; 35-36%.
- Água Central do Atlântico Sul (ACAS) - $10-20^{\circ}\text{C}$; 35-36%.

A estação de coleta (situada à cerca de $48^{\circ}15'30''\text{W}$ e $25^{\circ}37'30''\text{S}$) localiza-se a 5,4 milhas náuticas (10Km) da linha costeira, nas proximidades da primeira bóia de orientação de navios para entrada no Porto de Paranaguá - PR, alcançando profundidades entre 16-18 metros (Fig.1).

3.2 Coleta e Processamento das Amostras

As amostras foram coletadas em uma estação, a intervalos aproximadamente quinzenais durante um ano (Maio/1990-Abril/1991), nas profundidades de 0, 2.5, 5, 10 e 15 metros, utilizando-se garrafa de Van Dorn de 3,5 litros de capacidade. As coletas foram

realizadas, normalmente, durante a maré baixa. Não foi possível coletar no mês de Julho/1990, devido às condições meteorológicas adversas.

Os dados climatológicos (temperatura do ar e precipitação pluviométrica) foram obtidos na estação meteorológica do Centro de Biologia Marinha da Universidade Federal do Paraná.

Parâmetros hidrográficos foram obtidos em todas as profundidades. Salinidade e temperatura foram medidas com refratômetro (ATAGO mod.S/MILL) e termômetro químico, respectivamente. A determinação de nutrientes (nitrito, nitrato, fosfato e silicato) seguiu os procedimentos de STRICKLAND E PARSONS (1972). A penetração de luz foi calculada a partir de medidas efetuadas com disco de Secchi, obtendo-se os coeficientes de extinção da luz (k) através da fórmula sugerida por POOLE E ATKINS (1929).

O seston total foi estimado por técnicas gravimétricas. Foram filtrados no máximo 1000 ml de água do mar, através de filtros MILLIPORE de acetato de celulose (0,8 μm de porosidade e 4,7cm de diâmetro). O filtrado resultante foi colocado em estufa á 70°C, durante 1 hora, para posterior pesagem em balança analítica. Todos os filtros foram previamente lavados com água destilada, pesados e dessecados em estufa (70°C/1 hora).

A biomassa fitoplânctônica foi estimada em todas as profundidades seguindo-se a técnica de STRICKLAND E PARSONS (1972) de extração de clorofila-a pela acetona á 90% e as modificações sugeridas por HOLM-HANSEN E RIEMANN (1978), após filtração de água do mar através de filtros WHATMANN-GF/C (1,2 μm

de porosidade média e 2,5cm de diâmetro). A clorofila-a foi fracionada ($<10\mu\text{m}$ e $>10\mu\text{m}$) por gravidade através de redes Nitex de $10\mu\text{m}$ de abertura da malha. Para calcular os valores de biomassa da fração $>10\mu\text{m}$, subtraiu-se da biomassa total a fração $<10\mu\text{m}$. As absorbâncias dos pigmentos foram lidas em espectrofotômetro MICRONAL mod.B380, utilizando cubetas de 1cm de passo óptico. Para o cálculo das concentrações de clorofila-a e carotenóides (mg/m^3) foram utilizadas as equações de JEFFREY E HUMPHREY (1975) e STRICKLAND E PARSONS (1972).

A análise quantitativa das células do fitoplâncton seguiu a técnica de UTERMOHL (1958) utilizando microscópio invertido ZEISS mod.Invertoscop-D, mas de acordo com as recomendações de HASLE (1978). Para cada profundidade, foram obtidas sub-amostras em frascos de vidro âmbar (100ml de capacidade) replicadas, fixando-se uma com solução de formol (0,4%) neutralizado com bórax ($\text{pH}=8,0$), preservando melhor diatomáceas, cocolitoforídeos, dinoflagelados tecados e ciliados, e a outra com solução acidificada de Lugol, que conserva melhor alguns grupos de ciliados, dinoflagelados atecados e demais flagelados, mantendo inclusive seus flagelos (THRONDSEN,1978).

A contagem foi realizada após a sedimentação de parte da sub-amostra por 24 horas (no escuro) em câmaras com 25ml de volume, previamente coradas com rosa de Bengala. Foram contados no mínimo 300 indivíduos de cada uma das 7 espécies dominantes, mantendo os erros de contagem num padrão aceitável (10%), e de acordo com os procedimentos estatísticos de VENRICK (1978). Para todas as profundidades realizou-se o seguinte método de contagem:

- metade da câmara, em transectos completos (25mm) alternados, para organismos maiores que 20 μm (aumento de 128X), ou;
- número de transectos necessários, até que as 7 espécies dominantes completassem 300 indivíduos cada (aumento de 128X);
- câmara total para tintinídeos, ciliados aloricados e espécies pouco abundantes;
- 3-4 transectos para células entre 10-20 μm (aumento de 320X);
- 3-4 transectos para células entre 5-10 μm (aumento de 320X);
- 3-4 transectos de 10mm para células entre 2-5 μm (aumento de 600X).

É importante esclarecer que os resultados da contagem de células e estimativas da clorofila-a foram designados como "concentração total" (ou absoluta) quando se referiu ao valor em uma determinada profundidade, ou como "concentração média", quando se referiu ao valor médio das cinco profundidades, em uma coleta.

Para o estudo qualitativo do fitoplâncton e de alguns organismos do protozooplâncton, foram obtidas amostras com redes de plâncton de 20 μm e 60 μm de abertura das malhas, em arrastos verticais do fundo até a superfície. As amostras foram preservadas adicionando-lhes iguais quantidades de solução de formol (20%) neutralizado, obtendo-se uma concentração final de 10%. Os organismos foram identificados com auxílio de microscópio óptico padrão (ZEISS mod. ERGAVAL) e microscópio invertido. Algumas lâminas permanentes para observação de diatomáceas foram preparadas, baseando-se na técnica de HASLE E FRYXELL (1970), e utilizando Hyrax como meio de inclusão.

A identificação dos grupos e espécies do fitoplâncton e protozooplâncton baseou-se principalmente em: BALECH (1962 e 1988), BUTCHER (1959, 1961 e 1967), CUPP (1943), DODGE (1982), HALLEGRAEFF (1984), HEIMDAL E GAARDER (1980 e 1981), HENDEY (1964), HIBERD (1976), HUSTEDT (1930-1966), MAEDA E CAREY (1985), MAEDA (1986), RICARD (1987), SCHILLER (1930), SOURNIA (1986), SOUTO (1981) e THRONSEN (1969, 1983).

4. RESULTADOS

4.1 Dados Climatológicos

Os dados climatológicos referem-se às medidas de precipitação pluviométrica e temperatura do ar (mínima e máxima) e observações sobre as massas de ar.

A variação anual das chuvas (Fig.2) encaixou-se razoavelmente nos padrões de anos anteriores, ou seja, precipitação mais elevada no verão e menor nas demais estações. Entretanto, em julho a precipitação atingiu valor total elevado (189,6 mm). O mês de março apresentou o maior índice pluviométrico mensal (250 mm), enquanto que em junho e dezembro foram constatados os menores índices, com 77,8 e 77,2 mm, respectivamente. Portanto, os meses mais chuvosos concentraram-se no verão e início de outono (Jan/91-Mar/91) e os meses mais secos no outono, inverno e primavera (Mai/90-Dez/90). Durante o período estudado a precipitação total foi de 1594 mm.

A temperatura do ar (Fig.2) apresentou uma variação sazonal típica de regiões sub-tropicais; um período frio no inverno, com temperaturas médias entre 13,6 e 21,2°C, e quente no verão, com temperaturas médias entre 22,3 e 28,8°C. A temperatura máxima absoluta foi registrada em Abr/91 (32,5°C), embora o mês mais quente tenha sido janeiro, e a mínima em julho (6°C), mês mais frio.

A massa polar antártica, originando ventos fortes e inconstantes do quadrante sul, predominou durante todo o inverno,

ocorrendo esporadicamente nas demais estações, sob a forma de "frentes frias". Apenas em agosto observou-se ventos fracos de nordeste. Durante o verão, ocorreram ventos do quadrante norte, principalmente de nordeste. Nas demais estações o regime de ventos foi variável, e de baixa intensidade, com predominância dos ventos de sudoeste.

4.2 Parâmetros Físico-químicos da Água

A Figura 3 mostra a variação anual de temperatura nas cinco profundidades amostradas. Durante o inverno, as isothermas apresentaram os valores mais baixos ($18 - 20^{\circ}\text{C}$), aumentando gradativamente até o verão ($25 - 27^{\circ}\text{C}$), e voltando a decrescer no final de outono. As inversões de temperatura foram comuns, consequência de frentes atmosféricas polares, ocasionando valores menores nos níveis superficiais, durante maio, junho, agosto e janeiro (v.Tab.1).

Os valores de salinidade (Tab.1 e Fig.3) apresentaram uma variação sazonal onde os mínimos foram registrados no inverno e começo de primavera ($29,5 - 32,5\%$) e associados à superfície, e os máximos no decorrer do verão e início do outono ($35,0 - 36,5\%$) em profundidades maiores. Em setembro, as isohalinas apresentaram forte estratificação na coluna de água, com valores entre $29,5$ e $32,0\%$. Padrão semelhante foi encontrado no outono, quando as isohalinas oscilaram de $33,0$ a $36,5\%$. Nos demais períodos, a coluna de água permaneceu homogênea, com valores menores nas profundidades superficiais.

A transparência da água oscilou de 2,5 a 4,5 metros, representando coeficientes de extinção da luz (k) entre 0,58 e 0,32. Para estes valores estimou-se o nível de 1% de penetração da luz em aproximadamente 6,5 e 12,0 metros, respectivamente, indicando a presença de zona afótica permanente. Os maiores valores de transparência foram registrados entre a primavera e início de outono, e os valores mais baixos relacionaram-se ao inverno e começo de primavera.

O seston total variou de 2,04 a 45,66 mg/l (Tab.1), estando as menores quantidades associadas ao inverno e às profundidades superficiais. Os maiores valores ocorreram na primavera (setembro e outubro) e verão (janeiro) atingindo concentrações de até 45,66 e 39,36 mg/l, respectivamente, sempre relacionados às profundidades maiores (10 e 15 metros), como demonstram as isolinhas da Figura 3. Em agosto e setembro a distribuição vertical apresentou-se homogênea, ao redor de 7,00 mg/l.

De modo geral, as maiores concentrações de nutrientes (fosfato, silicato, nitrito e nitrato) foram observadas nas épocas de inverno, início de primavera e verão. Foram evidenciadas quantidades importantes em profundidades entre 10 e 15 metros (Tab.1).

As concentrações de silicato (SiO_2-S) oscilaram entre 5,47 e 51,88 $\mu\text{mol/l}$, sendo que os valores maiores situaram-se no verão (10 e 15 metros) e inverno (sup. a 5 metros). Neste período as isolinhas de concentração apresentaram-se estratificadas e superiores a 26,00 $\mu\text{mol/l}$ (Fig.4).

O fosfato (PO_4-P) variou de 0,23 e 1,18 $\mu\text{mol/l}$. As maiores quantidades (Fig.4) ocorreram no início do inverno em profundidades superficiais ($>0,80 \mu\text{mol/l}$) e no outono (10 a 15 metros), geralmente excedendo a 0,60 $\mu\text{mol/l}$. De agosto a novembro, os valores das isolinhas não ultrapassaram 0,40 $\mu\text{mol/l}$.

Os valores de nitrato (NO_3-N) oscilaram de 0,20 a 1,02 $\mu\text{mol/l}$. Sua distribuição vertical (Fig.4) mostrou as maiores concentrações (acima de 0,50 $\mu\text{mol/l}$) no inverno (superfície e 2,5 metros) e verão (superfície e 15 metros). Nos outros meses as quantidades deste nutriente situaram-se ao redor de 0,30 $\mu\text{mol/l}$.

As concentrações de nitrito (NO_2-N) apresentaram-se reduzidas durante todo o período amostrado, variando desde quantidades indetectáveis ($<0,02 \mu\text{mol/l}$) até valores máximos de 0,24 $\mu\text{mol/l}$ (Fig.4). Os maiores valores ($>0,09 \mu\text{mol/l}$) foram observados próximos ao fundo (10 e 15 metros) em setembro e outubro, e em junho ($>0,05 \mu\text{mol/l}$), quando foram registrados picos de 0,12 $\mu\text{mol/l}$.

4.3 Parâmetros Biológicos

4.3.1 Clorofila-a Total e Fracionada

A concentração total de clorofila-a (Tab.1) variou de 0,94 - 6,50 mg/m^3 , no período em estudo. Durante o verão, as quantidades situaram-se em torno de 0,94 e 3,65 mg/m^3 ; no inverno, entre 1,27 e 5,44 mg/m^3 ; na primavera, 0,97 a 6,51 mg/m^3 e, no outono, 1,53 a 6,37 mg/m^3 . Sua distribuição vertical (Fig.5) frequentemente

apresentou valores menores associados à profundidades superiores (sup. a 5 metros) e os maiores ao fundo (10 e 15 metros). De março a maio e de agosto a novembro ocorreram valores elevados de clorofila-a relacionados ao maior crescimento e "blooms" do fitoplâncton.

As concentrações médias de clorofila-a (Fig.6) para a coluna de água situaram-se entre 1,41 e 3,63 mg/m³. Nos dias 13/06/90, 02/08/90, 20/12/90 e 20/02/91 ocorreram as menores quantidades, entre 1,41 e 1,83 mg/m³. As maiores foram registradas nos dias 10/05/90, 13/06/90, 02/08/90, setembro, novembro e 18/04/91, em concentrações superiores a 3,00 mg/m³.

Os resultados do fracionamento de clorofila-a estão mostrados na Figura 6. De maneira geral, as duas categorias de tamanho apresentaram variações anuais semelhantes, embora a amplitude das variações do nanofitoplâncton (<10 µm) tenha sido menor que a do microfitoplâncton (>10 µm), onde picos isolados de crescimento ocorreram durante a maior parte do ano.

As concentrações médias da fração do microfitoplâncton oscilaram entre 0,66 e 2,25 mg/m³, perfazendo 26 a 66% da clorofila-a total. Os maiores valores ocorreram de março a junho (1,14 - 2,25 mg/m³), ou 51 a 66% do total. As menores contribuições foram registradas na primavera (setembro e outubro) e verão (janeiro), com 0,66 a 1,04 mg/m³, ou 26 a 34% da clorofila-a total. De modo geral, a distribuição vertical de clorofila-a do microfitoplâncton apresentou-se homogênea durante o ano (Fig.5). Estratificações discretas da clorofila-a ocorreram em agosto, novembro e abril, quando registraram-se os maiores

valores ($1,30 - 4,72 \text{ mg/m}^3$), situados entre 10 e 15 metros de profundidade.

As concentrações de clorofila-a do nanofitoplâncton oscilaram entre $0,67$ e $2,33 \text{ mg/m}^3$ (33 - 73% do total). Os maiores picos de crescimento aconteceram na primavera (setembro e início de outubro), com valores entre $1,14$ e $2,33 \text{ mg/m}^3$, constituindo 41 a 73% da clorofila-a total. No verão, apesar dos valores absolutos baixos, esta fração também foi importante quando comparada ao microfitoplâncton, perfazendo 47 a 72% das concentrações totais. Sua distribuição vertical (Fig.5) foi relativamente homogênea de fevereiro a setembro, tornando-se estratificada até janeiro, geralmente apresentando máximos subsuperficiais. Entre setembro e outubro ocorreram elevados valores de clorofila-a ($2,10 - 5,28 \text{ mg/m}^3$), nas profundidades de 10 e 15 metros.

As concentrações médias de carotenóides variaram de $1,55$ a $3,98 \text{ mg/m}^3$. As maiores oscilações ocorreram na primavera (setembro a novembro), com $1,10$ a $6,44 \text{ mg/m}^3$. A distribuição vertical dos carotenóides apresentou os mesmos padrões de distribuição da clorofila-a.

4.3.2 Fitoplâncton Total

4.3.2.a Categorias de tamanho e grupos dominantes

As concentrações médias do número de células (valores médios das cinco profundidades amostradas) apresentaram razoável concordância com as concentrações totais e fracionadas de clorofila-a , embora as células menores que 2 μm não tenham sido enumeradas no presente trabalho.

O número de células do fitoplâncton variou de $5,37 \times 10^5$ a $1,8 \times 10^6$ cel./l (Tab.5 e Fig.7). Os maiores valores foram encontrados de maio a final de setembro (período seco) e os menores de outubro a abril (período chuvoso), embora tenha ocorrido um pequeno aumento nesta época, em janeiro e abril.

De maneira geral, o nanoplâncton (2-20 μm) apresentou as maiores concentrações durante todo o ano, contribuindo com 46 a 94% do total de células. Nesta categoria, as frações de tamanho entre 2-5 μm e 5-10 μm foram as mais importantes, representando 11 a 62% e 12 a 45% das densidades totais, respectivamente. As células entre 10-20 μm foram menos expressivas, com 4,8 a 39% do total. As contribuições do microplâncton ($>20\mu\text{m}$), representando 5,6 a 53,8% das densidades celulares, também foram importantes, se considerar-se , além de seu número, o volume celular (Tab.5).

As densidades celulares das diferentes categorias do fitoplâncton estão mostradas na Figura 7. As concentrações de células do microplâncton ($>20\mu\text{m}$) variaram de $6,02 \times 10^4$ a $9,70 \times 10^5$ cel./l, ocorrendo em maior número de maio a agosto, quando

atingiram concentrações entre $1,82$ e $9,7 \times 10^5$ cels/l, ou 27 a 53% do total. O mês de setembro e 11/10/90 apresentaram os menores valores, de $6,02$ a $9,93 \times 10^4$ cels/l (5-11% do total). As diatomáceas (classe Bacillariophyceae) constituíram o mais importante grupo do microplâncton, com $5,5 \times 10^4$ a $9,61 \times 10^5$ cels/l perfazendo, na maioria do período estudado, 4 a 10 vezes o número somado dos demais grupos do microplâncton (Fig.9 e Tab.3). A classe apresentou seus maiores picos em maio/90, decrescendo gradativamente até novembro, quando reiniciou-se o crescimento. Em abril/91, um persistente "bloom" de *Coscinodiscus waillesii* de grandes dimensões celulares (290-410 μ m de diâmetro valvar e 180-240 μ m de eixo perivalvar) em concentrações superiores a $5,60 \times 10^3$ cels/l, parece ter provocado o decréscimo nas concentrações do microplâncton. Este "bloom" estendeu-se até a Baía de Paranaguá, perdurando até novembro/91 (obs.pess.)! A figura 9 mostra também os valores para as demais categorias de tamanho de diatomáceas.

Os dinoflagelados (Fig.7 e Tab.3) formaram o segundo grupo mais abundante do microplâncton, ocorrendo em concentrações mínimas de outubro a janeiro ($3,14$ - $4,43 \times 10^3$ cels/l). Nos demais meses as concentrações pouco variaram, situando-se acima de $6,52 \times 10^3$ cels/l, chegando a um máximo de $1,26 \times 10^4$ cels/l em 02/08/90. A família Gymnodiniaceae (Fig.8) foi a mais representativa daquele grupo, contribuindo com 50 a 75% do total de dinoflagelados. Sua maior abundância relacionou-se à águas mais frias do inverno ($4,73$ - $7,78 \times 10^3$ cels/l) e profundidades menores. Nos demais meses, sua distribuição vertical apresentou-

se homogênea e sem grandes variações de densidade, em geral inferiores a $4,70 \times 10^3$ cels/l (Fig.14). Nesta família predominaram as espécies *Gymnodinium spp.*, *Amphidinium spp.*, *Cochlodinium spp.*, *Torodinium robustum* e *Gyrodinium spp.* Os grupos restantes de dinoflagelados (tecados e atecados) apresentaram concentrações menos expressivas ($0,74 \times 10^2$ - $3,65 \times 10^3$ cels/l) e pequena variação sazonal (Fig.12), embora as densidades tenham reduzido entre outubro e janeiro/91. As espécies quantitativamente mais importantes foram: *Ceratium spp.*, *Protoperdinium spp.*, *Prorocentrum spp.*, *Dinophysis spp.* e *Podolampas spp.*. Entre os atecados predominaram *Noctiluca miliaris* e *Pyrocystis spp.*.

Os Coccoilitophoridae, compostos quase que exclusivamente por *Umbilicosphaera sibogae*, apresentaram marcada variação sazonal, ocorrendo em altas concentrações apenas no verão e início de outono ($2,00$ - $5,50 \times 10^3$ cels/l), indicando a maior influência da Corrente do Brasil nesta época. Os Silicoflagellatae apresentaram pequenas densidades (0 - $2,56 \times 10^3$ cels/l), sendo mais importantes no inverno, quando atingiram valores máximos. As Cyanophyceae apareceram durante todo o ano, representadas quase exclusivamente por *Anabaena sp.* e *Trichodesmium sp.*, com valores oscilando entre $1,58 \times 10^2$ e $2,6 \times 10^3$ cels/l. Foram abundantes de novembro a janeiro/91, com $1,52$ a $2,60 \times 10^3$ cels/l, e ocorrendo em concentrações inferiores a $5,00 \times 10^2$ cels/l de junho a outubro. A classe Euglenophyceae apresentou densidades inexpressivas (0 - 462 cels/l) no período estudado.

As concentrações dos organismos na classe de tamanho entre 10 - $20\mu\text{m}$ (Fig.8 e Tab.4) variaram de $5,46 \times 10^4$ a $4,18 \times 10^5$ cels/l, e

os maiores valores apareceram do verão a começo de outono, com $1,82$ a $4,15 \times 10^5$ cels/l, ou 15-39% do total. Foram considerados nesta categoria os cocolitoforídeos entre $4-15\mu\text{m}$, amplamente dominados por *Emiliania huxleyi* e *Gephyrocapsa oceanica*. Estas espécies formaram "blooms" em dezembro e janeiro, em profundidades sub-superficiais (5 a 10 metros) atingindo $1,74$ a $2,30 \times 10^5$ cels/l, e altas concentrações até o inverno, quando seu número decresceu bastante, situando-se ao redor de $6,98 \times 10^3$ e $4,64 \times 10^4$ cels/l (Fig.13). Excluindo-se este grupo, a classe de tamanho de $10-20\mu\text{m}$ apresentaria reduzida variação sazonal e contribuição inexpressiva ao fitoplâncton. Os dinoflagelados, com densidades médias entre $1,75$ e $5,83 \times 10^4$ cels/l, foram dominados pela família Gymnodiniaceae durante todo o ano ($1,55$ a $4,08 \times 10^4$ cels/l), composta principalmente por *Gymnodinium spp.* e *Amphidinium spp.*. A distribuição vertical desta família (Fig.14) apresentou-se relativamente homogênea, mas os valores máximos e estratificados situaram-se próximos à superfície. De maio a agosto as concentrações aumentaram, chegando a valores de $3,40$ a $6,00 \times 10^4$ cels/l entre a superfície e 10 metros. Nesta época as espécies tecadas *Prorocentrum minimum* e *Scrippsiella sp.* também foram importantes, quando as densidades de *P. minimum* oscilaram entre $1,10$ e $1,90 \times 10^4$ cels/l. A classe Cryptophyceae e "outros flagelados" apresentaram variações anuais relativamente pequenas nas concentrações (entre $5,13 \times 10^3$ e $3,12 \times 10^4$ cels/l). Entretanto, registrou-se em 23/01/91 um "bloom" de criptoficeas dominadas por *Chroomonas sp.*, alcançando valores entre $7,80 \times 10^4$ e $1,80 \times 10^5$ cels/l. As diatomáceas apareceram em densidades discretas, de

$9,40 \times 10^3$ a $7,46 \times 10^4$ cel./l., e foram mais abundantes em maio e junho. As Centrales frequentemente tiveram seus valores máximos de distribuição vertical associados à profundidades maiores (10 e 15 metros), oscilando entre $2,16 \times 10^3$ e $3,86 \times 10^4$ cel./l. As Pennales também foram observadas em altas concentrações na superfície, como epífitas de espécies formadoras de cadeias (*Chaetoceros spp.* e *Bacteriastrum spp.*), ocorrendo em densidades que variaram de $5,24 \times 10^3$ a $5,22 \times 10^4$ cel./l.

A variação sazonal dos organismos da categoria de tamanho de 5-10 μm está mostrada nas Figs.7 e 8, e as concentrações totais dos grupos estudados na Tabela 4. Mostrou-se influenciada por "blooms" de diferentes grupos taxonômicos ao longo do período estudado, variando de $1,38$ a $3,75 \times 10^5$ cel./l., e contribuindo com 14-45% das densidades totais. Os "outros flagelados" se constituíram no mais importante grupo da categoria, ocorrendo em valores entre $6,41 \times 10^4$ e $2,84 \times 10^5$ cel./l. Sua fase de maior abundância estendeu-se de maio a setembro, e a menor entre outubro e março. Ocorreram "blooms" intermitentes das classes Prymnesiophyceae, chegando a $2,20 \times 10^5$ cel./l. em junho; Haptophyceae, atingindo em agosto $8,30 \times 10^5$ cel./l. e de um grupo não identificado em fevereiro, com $2,90 \times 10^5$ cel./l. (concentrações em valores absolutos). A classe Cryptophyceae, dominada por Chroomonas spp. e Cryptomonas spp. apresentou valores médios entre $1,10 \times 10^4$ e $1,02 \times 10^5$ cel./l. Os máximos absolutos ocorreram na forma de pequenos "blooms" de distribuição vertical restrita; por exemplo em 27/09/90, com 1,60 a $2,30 \times 10^5$ cel./l na superfície e 2,5 metros, e em 04/04/91, com 1,10 a $2,90 \times 10^5$ cel./l em toda a

coluna de água.

A família Gymnodiniaceae (Figs.8 e 12) teve participação importante dentro da classe de tamanho estudada (5-10 μ m), se comparada aos demais grupos, estudados em nível taxonômico maior (classes). Apareceram em concentrações médias variando entre 1,13 e $14,64 \times 10^4$ cels/l, dominadas por *Gymnodinium spp.* e *Amphidinium spp.*. Sua distribuição vertical (Fig.14) mostrou valores máximos relacionados à profundidades menores (superfície a 5 metros). Os maiores números ocorreram de maio a agosto (inverno), com $3,00$ a $8,00 \times 10^4$ cels/l, e em janeiro (verão), com $2,40$ a $8,00 \times 10^4$ cels/l nos níveis superficiais de profundidade. As diatomáceas formaram um grupo inexpressivo, com densidades variando entre $<1,00 \times 10^3$ e $3,90 \times 10^4$ cels/l, sendo um pouco mais importantes no verão do que no inverno.

Os "mônades e flagelados" da categoria de tamanho entre 2-5 μ m (Fig.7) apresentaram concentrações entre $8,72 \times 10^4$ e $8,6 \times 10^5$ cels/l (Tab.4). As maiores densidades situaram-se nos meses de maio a setembro (19-62% do total de células), quando atingiram valores máximos (acima de $6,91 \times 10^5$ cels/l), decrescendo abruptamente de outubro a abril, com densidades entre $8,72 \times 10^4$ e $3,12 \times 10^5$ cels/l (11-32%). Sua distribuição vertical (Fig.13) apresentou isolinhas máximas ($5,00 \times 10^5$ - $1,00 \times 10^6$ cels/l) de agosto a setembro, e distribuídas em toda a coluna de água. Este aumento nas concentrações foi consequência de um persistente "bloom" de *Phaeocystis pouchettii* (Prymnesiophyceae). Esta espécie contribuiu com mais de 50% ($3,00$ - $6,00 \times 10^5$ cels/l) das densidades de células entre 2-5 μ m observadas naquele período. Nos demais

meses, as concentrações decresceram, não ultrapassando $3,50 \times 10^5$ cels/l. A espécie *Calycomonas ovalis* também ocorreu em números significativos em agosto, com mais de $9,18 \times 10^4$ cels/l, e bastante inferiores nos outros meses ($<3,00 \times 10^4$ cels/l).

4.3.2.b Variação Sazonal de Grupos Taxonômicos Representativos

Na classe Bacillariophyceae ($>20\mu m$), a ordem Centrales predominou sobre a Pennales em todo o período estudado, exceto nos dias 20/12/90 e 10/01/91. Suas densidades variaram de $3,99 \times 10^4$ à $6,79 \times 10^5$ cels/l (Tab.3), apresentando elevados valores de março a agosto (outono e inverno). As espécies mais abundantes foram: *Chaetoceros spp.*, *Rhizosolenia spp.*, *Leptocylindrus spp.*, *Skeletonema costatum* e *Cerataulina bergonii*. Em determinados períodos também foram importantes: *Thalassiosira spp.* (maio a agosto), *Hemiaulus spp.* e *Eucampia spp.* (agosto a outubro) e *Coscinodiscus spp.* (abril e maio).

As concentrações da ordem Pennales variaram de $1,01 \times 10^4$ a $2,82 \times 10^5$ cels/l (Tab.3), alcançando as maiores densidades em maio e junho. As espécies mais importantes durante o ano foram: *Nitzschia spp.*, *Navicula spp.*, *Thalassionema nitzschioides*, *Asterionella glacialis* e, secundariamente, diatomáceas epífitas sobre *Chaetoceros spp.* e *Bacteriastrum spp.*, não identificadas.

Além das espécies tipicamente planctônicas, foram identificados representantes característicos de sedimento, como: *Paralia sulcata*, *Anorthoneis euryystoma*, *Achnanthes sp.*, *Mastogloia sp.*, *Delphineis surirella*, *Raphoneis amphiceros* e

Thalassiosira spp. de diâmetro valvar menor do que 20 μm . Muitas destas espécies e outras, não identificadas, agregavam sedimentos e material orgânico.

Foram acompanhadas as variações sazonais de 17 espécies de diatomáceas (Figs.10 e 11), consideradas representativas por sua abundância e/ou sazonalidade evidente. Suas densidades médias estão mostradas na Tabela 2. As espécies *Nitzschia aff. seriata*, *N. aff. delicatissima* e *N. aff. pungens* ocorreram em concentrações elevadas de maio a agosto, e em picos secundários entre fevereiro e abril (Fig.10). *N. seriata* apresentou os maiores valores ($1,05 \times 10^4$ a $1,44 \times 10^5$ cels/l), atingindo máximos absolutos de $2,00 \times 10^5$ cels/l, seguida de *N. delicatissima*, com $2,6 \times 10^4$ cels/l e *N. pungens*, com $7,72 \times 10^3$ cels/l. A distribuição vertical de *N. seriata* (Fig.13) mostrou-se homogênea durante o período estudado, com as isolinhas de máxima concentração situando-se entre maio e junho.

Leptocylindrus spp. tiveram variações sazonais semelhantes (Fig.10). *L. danicus* foi abundante em maio (valor máximo de $7,70 \times 10^4$ cels/l) e de fevereiro a abril, ocorrendo em densidades entre $1,85$ e $3,28 \times 10^4$ cels/l. *L. minimus* apresentou valores máximos em maio ($4,71$ a $7,80 \times 10^4$ cels/l), tornando-se inexpressivo nos demais meses.

As espécies de *Chaetoceros spp.* representaram as maiores densidades entre as diatomáceas do microplâncton (Tab.2). Foram dominantes *Chaetoceros curvisetum*, *C. didymus*, *C. debilis*, *C. affinis* e *C. compressum*. Secundariamente ocorreram *C. pendulus*, *C. peruvianus*, *C. decipiens*, *C. costatus*, entre outras (Tab.6). Os

maiores crescimentos (Fig.10) foram observados entre maio e agosto ($8,62 \times 10^4$ a $3,56 \times 10^5$ cel.s/l) e, em menor escala, fevereiro e março ($6,50 \times 10^4$ a $1,40 \times 10^5$ cel.s/l). Nos demais meses as densidades não ultrapassaram $8,34 \times 10^4$ cel.s/l. A distribuição vertical (Fig.13) geralmente foi homogênea, mas os maiores valores situaram-se próximos ao fundo, principalmente nas épocas de maior crescimento. Em junho, concentrações elevadas ocorreram em profundidades superiores (superfície a 5 metros).

As variações (Fig.10) das três espécies de *Rhizosolenia* acompanhadas mostraram-se semelhantes, embora seus máximos de concentração tenham ocorrido em diferentes épocas. *R. stolterfothii* apresentou as maiores densidades entre março e agosto ($1,58$ a $6,74 \times 10^4$ cel.s/l), diminuindo nos demais meses ($5,56 \times 10^2$ a $1,30 \times 10^4$ cel.s/l). Os maiores valores de *R. delicatula* ocorreram de outubro a novembro, com $1,12$ a $2,01 \times 10^4$ cel.s/l, seguidos de crescimentos menores, mas importantes. *R. fragilissima* foi abundante nos meses de janeiro a junho ($1,10$ a $2,64 \times 10^4$ cel.s/l), decrescendo em outubro e novembro, até valores indetectáveis em setembro. As demais espécies acompanhadas foram incluídas em "*Rhizosolenia spp.*", geralmente dominadas por *R. hebetata* e *R. alata*, seguidas de *R. setigera*, *R. styliformis* e *R. calcar-avis*.

As concentrações de *Asterionella glacialis* (Fig.10) oscilaram durante todo o período estudado, com $8,32 \times 10^2$ a $6,22 \times 10^4$ cel.s/l, ocorrendo picos de densidade em diferentes meses, sucedidos por reduções drásticas. Entre setembro e dezembro suas concentrações foram sempre baixas (inferiores a

$9,03 \times 10^3$ cels/l). Um padrão semelhante foi encontrado para *Thalassionema nitzschiooides*, apresentando valores entre $1,86 \times 10^3$ e $3,28 \times 10^4$ cels/l.

A espécie *Thalassiothrix mediterranea* apresentou uma variação sazonal bem definida (Fig.ii), ocorrendo em altas concentrações no final do inverno ($1,54 \times 10^3$ a $1,53 \times 10^4$ cels/l). Em 02/08/90 atingiu as proporções de "bloom", com $2,84 \times 10^4$ cels/l a 10 metros de profundidade. *Lauderia borealis* (Fig.ii) apareceu em elevadas quantidades de maio a junho, com valores entre $4,06 \times 10^3$ e $1,42 \times 10^4$ cels/l, decrescendo abruptamente nos demais meses. As maiores concentrações de *Schroderella delicatula* (Fig.ii) situaram-se exclusivamente entre junho e agosto, com $6,62 \times 10^2$ a $4,08 \times 10^3$ cels/l, e um máximo absoluto de $6,90 \times 10^3$ cels/l a 10 metros de profundidade.

As densidades de *Bacteriastrum spp.* (Fig.ii) começaram a aumentar em abril, alcançando valor máximo em junho, quando decresceram até valores mínimos em setembro. Nos meses de crescimento, as densidades variaram de $5,24 \times 10^3$ a $4,94 \times 10^4$ cels/l, ficando abaixo de $4,22 \times 10^3$ cels/l nos demais. Em 13/06/90 atingiu $8,70 \times 10^4$ cels/l na superfície. As células de *Skeletonema costatum* (Fig.ii) apresentaram densidades entre $5,31 \times 10^3$ e $1,39 \times 10^5$ cels/l, e as maiores concentrações ocorreram em maio, agosto e novembro, com valor máximo absoluto de $4,00 \times 10^5$ cels/l em 02/08/90, a 10 metros. Nos outros meses as densidades foram inferiores a $9,00 \times 10^4$ cels/l. A espécie *Cerataulina bergenii* (Fig.ii) ocorreu em concentrações de $1,18 \times 10^3$ a $1,74 \times 10^4$ cels/l durante o ano, exceto em setembro, quando não ultrapassaram

$1,21 \times 10^2$ cels/l. No período de maior crescimento, em 19/03/91, atingiu $2,20 \times 10^4$ cels/l na superfície.

A família Naviculaceae esteve representada durante todo o ano (Fig.11), em concentrações entre $2,18 \times 10^3$ e $2,02 \times 10^4$ cels/l, máximo este alcançado em maio. De modo geral, os valores foram menores do que $9,00 \times 10^3$ cels/l. As oscilações desta família foram pequenas, refletindo um nível taxonômico maior e composto por várias espécies. As espécies de *Navicula spp.* e *Mastogloia spp.* dominaram, com representantes planctônicas e de sedimento.

O dinoflagelado heterótrofo *Gyrodinium sp.* (Fig.12) apresentou valores reduzidos entre setembro e início de janeiro (até $3,60 \times 10^2$ cels/l), e maiores nos demais meses (acima de $7,00 \times 10^2$ cels/l), chegando a um valor máximo de $1,96 \times 10^3$ cels/l, em janeiro. Os demais grupos de dinoflagelados já foram mencionados na seção anterior. A figura 12 mostra gráficos de variação sazonal para facilitar comparações com outros grupos do fitoplâncton.

O cocolitoforídeo *Umbilichosphaera sibogae* (Fig.12) apresentou variação sazonal nítida, ocorrendo em maiores concentrações durante o verão e início de outono ($2,02$ a $6,92 \times 10^3$ cels/l), e atingindo um máximo absoluto de $1,00 \times 10^4$ cels/l em março, a 10 metros de profundidade. No final de outono, as concentrações decresceram rapidamente, tornando-se indetectáveis ($< 3,32 \times 10^2$ cels/l).

4.3.3 Ciliados

Os ciliados (Phylum Ciliophora) do protozooplâncton foram estudados para verificar-se alguma influência sobre as concentrações de fitoplâncton.

De modo geral, apresentaram variação sazonal pouco definida (Fig.ii), embora os valores menores tenham mostrado tendência a concentrar-se entre janeiro e maio ($<2,00 \times 10^3$ cels/l), e os maiores no decorrer de junho a setembro ($>2,5 \times 10^3$ cels/l) (Tab.3). Em setembro, os ciliados atingiram densidades máximas ($3,81$ a $4,29 \times 10^3$ cels/l), chegando à concentração absoluta de $6,5 \times 10^3$ cels/l em 27/09/90, a 5 metros de profundidade. Foram comuns as espécies *Strombidium spp.*, *Mesodinium spp.* e *Didinium spp.*. A sub-ordem Tintinnina também foi importante, com densidades oscilando entre $1,62 \times 10^2$ e $1,38 \times 10^3$ cels/l. As maiores concentrações médias foram encontradas em setembro ($1,35 \times 10^3$ cels/l) e janeiro ($1,38 \times 10^3$ cels/l). Os máximos absolutos ocorreram em 27/09/90 ($2,00 \times 10^3$ cels/l) e 23/01/91 ($1,80 \times 10^3$ cels/l), ambos a 5 metros de profundidade.

4.3.4 Plâncton de Rede

Os organismos do plâncton de rede encontrados durante o período estudado estão listados na Tabela 6. Foram identificados 65 gêneros e 131 espécies de diatomáceas, 27 gêneros e 63 espécies de dinoflagelados, 10 gêneros e 10 espécies de cocolitoforídeos, 4 gêneros e 4 espécies de silicoflagelados e 3 gêneros 3 espécies de cianofíceas. Outras espécies que não puderam ser identificadas, não foram incluídas na listagem.

Características de regiões costeiras enriquecidas por nutrientes, as diatomáceas dominaram em número de espécies. A grande maioria foi constituída de representantes da região nerítica costeira, embora tenham ocorrido no verão espécies mais típicas de águas oligotróficas, como *Coscinodiscus gigas*, *C. centralis* e *Hemiaulus membranaceus*. No inverno, devido à possível influência de águas sub-antárticas, ocorreram algumas espécies de *Bacteriastrum spp.*, *Chaetoceros spp.*, *Eucampia cornuta*, *Schroderella delicatula*, entre outras. Também apareceram esporadicamente representantes epífitos como *Licmophora spp.*, *Biddulphia sp.* e *Podocystis adriatica*. Durante todo o período estudado foram registradas espécies típicas de sedimento, como *Cyclotella stylorum*, *Delphineis surirella*, *Paralia sulcata*, *Raphoneis amphiceros*, *Thalassiosira spp.* de pequenas dimensões (<20 μ m), etc.

Em relação aos demais grupos também foi observada uma certa influência das diferentes massas de água que penetraram na região sobre a sua composição taxonômica. No verão apareceram algumas

espécies típicas de águas da plataforma mais pobres em nutrientes, como *Ceratium azoricum*, *C. vultur*, *Corythodinium tesselatum*, *Gonyaulax spp.*, *Podolampas bipes*, *P. elegans*, *Protoperidinium aff. grande* e *Schuttiella mitra*. Na mesma estação também foram observados em maiores concentrações os cocolitoforídeos *Emiliania huxleyi*, *Gephyrocapsa oceanica* (?) e *Umbilichosphaera sibogae*, além da cianofícea *Trichodesmium sp.*.

Durante o inverno ocorreram espécies mais características de águas sub-antárticas, como os dinoflagelados *Ceratium macroceros*, *C. aff. petersii*, *Dinophysis acuminata*, *D. rotundata* e *Oxytoxum sceptrum* (BALECH, 1988). Os cocolitoforídeos identificados foram: *Anthosphaera sp.*, *Calciopapus sp.*, *Calciosolenia sp.*, *Corisphaera sp.*, *Crycosphaera sp.* e *Helicosphaera carterae*.

Os ciliados foram dominados por espécies dos gêneros *Mesodinium* e *Strombidium*. A sub-ordem Tintinnina foi acompanhada em maior detalhe, sendo identificadas 48 espécies. Para 12 espécies não foi possível chegar a nível genérico. Embora muitas espécies sejam típicas de determinada massa de água, não foram encontrados padrões de ocorrência específicos. Por exemplo, *Amphorelopsis acantharus* e *Stylicauda platensis*, considerados típicos da corrente do Brasil, ocorreram em setembro, janeiro, fevereiro, março e abril. *Salpingella aff. subconica* pareceu mais exigente, ocorrendo exclusivamente no inverno.

5. DISCUSSÃO

5.1 Parâmetros físico-químicos

As variações de temperatura e salinidade observadas no período estudado evidenciaram a influência de condições hidrográficas e climatológicas regionais. Durante o inverno, além da menor incidência de raios solares, a predominância de ventos frios do quadrante sul e uma possível influência de águas mais frias de origem sub-antártica reduziram a temperatura na coluna de água, sendo comuns temperaturas menores em níveis superficiais de profundidade. No verão, o mesmo fenômeno foi constatado, relacionando-se às massas de ar polares. As variações temporais de salinidade (principalmente em profundidades menores) associaram-se ao regime pluviométrico e às oscilações de maré. No inverno, estação menos chuvosa e com menor intensidade luminosa, a coluna de água apresentou-se homogênea e com menor amplitude de variação das isohalinas (29,5-32,5%). No verão, devido ao aumento da pluviosidade, ocorreu forte estratificação da coluna de água. Entretanto, embora as amostragens tenham sido realizadas durante as marés baixas, a salinidade foi considerada alta, indicando pequena influência das águas menos salinas da Baía de Paranaguá. Neste local, KNOPPERS et al. (1987) e REBELLO E BRANDINI (1990) encontraram amplitudes de variação de salinidade bem maiores, resultado da maior precipitação pluviométrica no verão (diminuindo a salinidade), e da influência de águas mais salinas da região costeira, entrando na baía trazidas pelas marés.

As variações temporais e a distribuição vertical dos nutrientes foram afetadas pela predominância de determinadas massas de água, turbulência, crescimento do fitoplâncton e regime de chuvas.

Apesar das características locais e variáveis da Água Costeira, é possível que tenha ocorrido sua mistura com águas sub-antárticas no final de outono e inverno, enriquecendo a região, principalmente aumentando as concentrações de nitrogênio e fosfato, e trazendo espécies mais típicas de águas frias. BRANDINI (1990) estudando as características hidrográficas da Região Sueste, registrou estas águas na mesma estação do ano, embora mais afastadas da costa. Na costa leste da Austrália, com regime hidrográfico semelhante, SCOTT (1979) e HALLEGRAEFF E REID (1986) observaram intrusões da corrente australiana em áreas costeiras (inclusive estuários), durante a primavera e outono, alterando profundamente a dinâmica de nutrientes. Observações similares foram feitas por HULBURT E CORWIN (1970) na costa atlântica dos Estados Unidos, onde águas mais profundas do talude continental invadem a baía de Casco, enriquecendo-a com nitrogênio e modificando a dinâmica do fitoplâncton.

Com o aumento da turbulência na coluna de água, gerada possivelmente pelos ventos fortes do quadrante sul, e uma possível influência de águas sub-antárticas na região estudada, as concentrações do microplâncton (principalmente diatomáceas) aumentaram no inverno, atingindo proporções de "bloom". Este período de crescimento cessou a partir do esgotamento de nutrientes devido ao consumo pelo próprio microplâncton. Em

consequência, de setembro a novembro as concentrações de nutrientes permaneceram baixas, embora possa ter havido contribuições esporádicas do sedimento, por processos de turbulência. Estas contribuições seriam evidenciadas pelos picos de concentração de silicato, nitrito e seston associados ao fundo, e espalhando-se em toda a coluna de água. No verão, os nutrientes apresentaram valores elevados (principalmente fosfato e silicato) nos estratos superiores da coluna de água, indicando maior influência da precipitação e drenagem continental, e das águas da Baía de Paranaguá, trazidas pelas marés. As altas concentrações de silicato entre agosto e setembro, em profundidades menores (superfície a 5 metros) seriam explicadas pelo "bloom" de diatomáceas ocorrido até agosto. A partir deste período, a escassez de nutrientes causaria a morte das células, dissolvendo o silicato da parede celular e aumentando sua quantidade na coluna de água. As concentrações elevadas de nitrito em setembro (associadas ao fundo) seriam consequência da excreção deste nutriente por células do nanoplâncton (2-5 μ m), ou por sua morte, durante um "bloom" daqueles organismos. McCARTHY (1980), FRENCH et al. (1980) e OLSON (1981) sugerem que o nitrito é excretado quando não há luminosidade suficiente para ativar as enzimas que participam das reações de redução do nitrato; ou pelas atividades nitrificantes de bactérias heterotróficas. A primeira hipótese é sustentada pela coincidência entre os máximos de concentrações de nitrito, clorofila-a (10μ m) e densidade celular em profundidades maiores, dentro da zona afótica.

O sistema de regeneração de nutrientes pela comunidade bentônica seria o mais constante fator de enriquecimento das águas na área estudada, admitindo-se que os processos de mistura sejam intensos, principalmente no inverno, devido a maior intensidade de ventos do quadrante sul. Naquele sistema, parte da matéria orgânica é decomposta por bactérias na coluna de água; mas a maior fração deposita-se no fundo, sendo reciclada pela comunidade bentônica (bactérias, macrofauna), e produzindo basicamente compostos de nitrogênio e enxofre e fosfato (ROWE et al., 1975; ZEITSCHEL, 1980; DOERING, 1989). Posteriormente, estes compostos tornam-se disponíveis à água sobrejacente, principalmente através de turbulência e revolvimento biológico do fundo (ZEITSCHEL, 1980). Durante todo o estudo foram frequentemente detectadas elevadas concentrações de nutrientes particularmente associadas às maiores profundidades, além da presença de microalgas bentônicas e coluna de água homogênea, sustentando tal teoria. FLINT E KAMIAKOWSKI (1983) estudando a regeneração de nutrientes no Golfo do México (em profundidades entre 14 e 33 metros) calcularam que o bentos reciclaria 69% da quantidade necessária de nitrogênio para sustentar a produção primária daquela região. DOERING (1989) realizando estudos sobre a dinâmica de nutrientes na comunidade da Baía de Narragansett (em mesocosmo de 13,1 m³) estimou que 40 a 65% do nitrogênio disponível na coluna de água seria fornecido através da regeneração da comunidade bentônica.

Em regiões mais próximas da costa e protegidas, como baías e estuários, é amplamente aceito que a importância da comunidade de

fundo seria contrabalanceada (ou até reduzida) pelos efeitos da precipitação e drenagem continental (BRANDINI, 1985 e REBELLO E BRANDINI, 1990 na baía de Paranaguá; SASSI E KUTNER, 1982 e TUNDISI et al., 1973 e 1978 no complexo lagunar estuarino de Cananéia; FLINT, 1984 na baía de Corpus Christi e SINCLAIR, 1978 analisando vários tipos de estuários). Na região estudada, o regime de chuvas associado a drenagem continental foi importante entre janeiro e março, e pareceu contribuir para a manutenção de concentrações mínimas nos demais meses, quando os outros fatores discutidos anteriormente elevaram significativamente as quantidades de nitrogênio e fosfato, desencadeando os maiores crescimentos na comunidade planctônica.

5.2 Parâmetros Biológicos

5.2.a Categorias de Tamanho e Clorofila-a

De modo geral, a variação anual das concentrações médias de clorofila-a total e fracionada ($<10\mu\text{m}$ e $>10\mu\text{m}$) seguiu o mesmo padrão de variação das densidades médias de células.

A distribuição vertical de clorofila-a total caracterizou-se por sua tendência à homogeneidade na coluna de água. Entretanto, frequentemente foram registradas concentrações mínimas associadas às profundidades menores (sup. á 5 metros), e máximas á profundidades maiores (10 a 15 metros). As quantidades menores em níveis superficiais devem estar relacionadas á inibição fotossintética pela luz solar incidente, destruindo as enzimas e

sistemas fotoquímicos que participam daquele processo (STEEMANN NIELSEN, 1964 e 1975). Os máximos encontrados nas profundidades entre 10 e 15 metros foram atribuídos à rápida deposição ("sinking") das células no fundo, principalmente durante e/ou após os meses de maior crescimento do fitoplâncton. Admitindo-se a importância da turbulência em misturar a coluna de água e a existência de uma zona afótica permanente (4-9 metros), torna-se difícil aceitar a hipótese de máximos subsuperficiais associados a maior concentração intracelular de clorofila-a, respondendo às baixas intensidades luminosas (BEERS et al., 1975; VENRICK, 1988) ou à presença de uma comunidade de "fundo", de composição taxonômica diferente daquela adaptada à maior intensidade de luz, na superfície (VENRICK, 1982; SOURNIA, 1982). Estas observações são comuns em regiões oceânicas profundas, e mais estáveis quanto ao regime hidrográfico.

A variação sazonal do microplâncton ($>20\mu\text{m}$) foi caracterizada por grandes oscilações de biomassa. De março a agosto, a intensa turbulência e a possível mistura de águas sub-antárticas enriquecidas em nitrogênio e fosfato desencadearam a sua fase de maior crescimento, representando 26-66% da clorofila-a total e 27-53% das densidades celulares. A partir de setembro, o intenso consumo dos nutrientes pelo microplâncton e a menor influência dos processos turbulentos e daquelas águas podem ter causado a diminuição de biomassa observada na comunidade. Neste período ocorreram as menores contribuições do microplâncton, oscilando entre 5 e 11% do total de células e 26-34% das concentrações de clorofila-a. Simultaneamente, formou-se um

"bloom" de flagelados ($2\text{--}5\mu\text{m}$), adaptados à menor quantidade de nutrientes. O crescimento reiniciou-se no verão (estação chuvosa), quando a região foi enriquecida por águas de drenagem continental, através das marés e correntes litorâneas.

O microplâncton consistiu essencialmente de diatomáceas, típicas de águas costeiras ricas em nutrientes. Suas densidades chegaram a ser 4 a 10 vezes maiores do que a dos outros grupos somados. As espécies mais importantes foram: *Chaetoceros spp.*, *Nitzschia spp.*, *Rhizosolenia spp.*, *Leptocylindrus spp.*, *Thalassionema nitzschiooides*, *Asterionella glacialis* e *Skeletonema costatum*. De maio a agosto também foram importantes *Thalassiosira spp.*, *Hemiaulus spp.* e *Eucampia spp.*. A dominância de diatomáceas nas regiões costeiras reflete a instabilidade típica destes ambientes, onde a energia externa (advecção e turbulência) tende a manter a coluna de água homogênea e enriquecida, além de retardar a sedimentação do fitoplâncton para fora da zona fótica (MARGALEF, 1978; SMAYDA, 1980). MARGALEF (1978) e SMETACEK (1985) sugerem que aquelas condições ambientais seriam os mecanismos de evolução e especiação das diatomáceas, resultando numa grande diversidade de características morfológicas e formas de vida. A presença de diatomáceas bentônicas na coluna de água durante todo o período estudado confirmou as idéias sobre a turbulência e regeneração de nutrientes pela ressuspensão de sedimentos do fundo. Os dinoflagelados formaram o segundo grupo mais abundante do microplâncton, sendo dominados pela família Gymnodiniaceae, que representou 50–75% das densidades totais daquele grupo. Secundariamente, também foram importantes as cianofíceas,

silicoflagelados e cocolitoforídeos, dominados por *U. sibogae* no verão.

A importância relativa do micróoplâncton já foi destacada em diversas áreas (v. revisões de MALONE, 1980; RAYMONT, 1980; SMAYDA, 1980). Em regiões temperadas ele tende a constituir menos de 20% durante os períodos de estratificação da coluna de água e baixa intensidade luminosa. Entretanto, no decorrer dos "blooms" de primavera e/ou outono, quando o aumento de temperatura desestabiliza a água, e a intensidade luminosa é maior, sua participação aumenta, chegando a dominar inteiramente a comunidade fitoplânctônica (p.e. DURBIN et al., 1975; WATLING et al., 1979; FURNAS, 1983; KARENTZ E SMAYDA, 1984; SMETACEK, 1985; SUBBA RAO E SMITH, 1987). Os efeitos da drenagem continental e/ou de intrusões esporádicas de correntes oceânicas também são considerados importantes reguladores da biomassa microplanctônica em muitas áreas temperadas (REVELANTE E GILMARTIN, 1976; SINCLAIR et al., 1981; MARSHALL, 1978; MARSHALL E RANASINGHE, 1989; CLOERN, 1987). Nestas regiões, geralmente dominam as espécies de diatomáceas, principalmente *S. costatum*, *Chaetoceros spp.*, *A. glacialis*, *Thalassionema nitzschiooides*, *Rhizosolenia spp.* e *Leptocylindrus spp.*. No verão, os dinoflagelados podem ser importantes.

Nas regiões subtropicais e tropicais os períodos de maior crescimento do micróoplâncton associam-se ao enriquecimento de nutrientes devido às intrusões de massas de água profundas ou polares e à drenagem continental (SOURNIA, 1969; MALONE, 1971; MALONE, 1980; HALLEGRAEFF, 1981; HALLEGRAEFF E REID, 1986; HOPCROFT

E ROFF, 1990). Nestas condições a comunidade microplânctônica chega a representar 80% da biomassa total, compondo-se quase exclusivamente por diatomáceas. Padrões semelhantes foram encontrados neste trabalho e em diferentes áreas da costa sudeste-sul brasileira, de características oceanográficas mais complexas (TEIXEIRA et al., 1967; KUTNER, 1972; TUNDISI et al., 1978; SASSI E KUTNER, 1982; MESQUITA, 1983; BRANDINI, 1990; MACENO-SILVA, 1991). Nas regiões costeiras mais ao norte, de águas ainda mais oligotróficas, o micoplâncton assume importância apenas nos períodos chuvosos do inverno e próximo à estuários, contribuindo com 6-44% da biomassa total (TUNDISI, 1971; SASSI, 1987).

O nanoplâncton, estudado em diferentes categorias de tamanho (2-5 μm , 5-10 μm e 10-20 μm), caracterizou-se por apresentar pequenas amplitudes de variação anual, alteradas por períodos de maior crescimento ("blooms"). Dominaram as classes de tamanho entre 2 e 10 μm , principalmente compostas por Cryptophyceae, Haptophyceae, Prymnesiophyceae e a família Gymnodiniaceae. Os organismos entre 10 e 20 μm ocorreram em concentrações inexpressivas, sendo importantes apenas durante os "blooms" de Cryptophyceae e Coccolithophoridae em janeiro, e de Gymnodiniaceae entre maio e agosto.

Na região estudada, a contribuição do nanoplâncton em relação ao micoplâncton foi elevada (46-94% do total de células e 33-73% da clorofila-a), principalmente nos períodos onde as concentrações de nutrientes foram menores. Entre setembro e outubro, os flagelados de 2-5 μm formaram um "bloom" de grandes proporções (até $6,91 \times 10^5$ cels/l), dominado por *Phaeocystis*

Pouchettii. Parece que este aumento nas concentrações foi resultado do intenso crescimento das diatomáceas do microplâncton no inverno, consumindo o nitrogênio e fosfato (regenerados pela comunidade bentônica e, talvez, trazidos por águas subantárticas), e empobrecendo a região nos meses seguintes. Estas condições oligotróficas favoreceram as formas menores do nanoplâncton, que tendem a desenvolver-se melhor devido a sua maior taxa reprodutiva e a maior capacidade de absorção de nutrientes, relacionada à proporção superfície-volume (MUNK E RILEY, 1952; EPFLEY et al., 1969; MALONE, 1980). A habilidade dos fitoflagelados em locomover-se na coluna de água também lhes permite "encontrar" áreas de maior concentração de nutrientes (SMETACEK, 1988) e aumentar o fluxo de água ao seu redor (MARGALEF, 1978). As contribuições do nanoplâncton também foram importantes no verão (47 a 72% da clorofila-a total), mostrando que os efeitos do regime de chuvas na região (aumentos nas concentrações de nutrientes) foram atenuados pela maior influência das águas oligotróficas da Corrente do Brasil.

A importância relativa do nanoplâncton vem sendo descrita há algum tempo em diversas áreas do oceano. Nas regiões costeiras temperadas suas contribuições são superiores a 46% da biomassa fitoplânctônica, chegando a 73% durante o verão. Nesta época, a coluna de água apresenta-se estratificada e sem renovação de nutrientes, impedindo o desenvolvimento de formas maiores, como as diatomáceas (YENTSCH E RYTHER, 1959; DURBIN et al., 1975; THRONSEN, 1978; WATLING et al., 1979; RAYMONT, 1980; FURNAS, 1983). Em estudos detalhados sobre ecologia do plâncton na baía de

Chesapeake, McCARTHY et al. (1974) mostraram que, em média, o nanoplâncton ($<10\mu\text{m}$) foi responsável por 81,3% da clorofila-a total e 94% da produção primária.

Além de autótrofos, a comunidade nanoplânctônica inclui flagelados heterótrofos que podem desempenhar importante função na cadeia trófica pelágica. Eles participam na reciclagem do carbono orgânico, num sistema conhecido como "microbial loop" (AZAM et al., 1982; FENCHEL, 1988; SHERR E SHERR, 1988). Neste sistema, considera-se que uma fração importante da produção primária (carbono orgânico) não consumida pelo zooplâncton é assimilada pelo bacteriplâncton ($0,2\text{--}2,0\mu\text{m}$), o qual serve de alimento aos nanoflagelados heterótrofos. Estes serão capturados pelo protozooplâncton. Assim, o carbono orgânico perdido seria eficientemente reincorporado à cadeia trófica inicial (zooplâncton), através do bacteriplâncton e nanoplâncton heterótrofo. As metodologias de contagem e identificação utilizadas neste trabalho não permitiram diferenciar o nanoplâncton autótrofo de heterótrofo. Entretanto, estudos paralelos com técnicas adequadas (microscopia de epifluorescência) foram realizados simultaneamente às amostragens na região, mostrando que os flagelados heterótrofos representam fração significativa (30–57%) do nanoplâncton total (SUZUKI et al., 1990; L.F.Fernandes, não publicado).

Em regiões tropicais e subtropicais (incluindo a área estudada) o nanoplâncton tende a apresentar pequenas amplitudes de variação, ocorrendo máximos irregulares de concentração, em determinadas condições ambientais. Geralmente, suas concentrações

tendem a igualar ou superar às do microplâncton, exceto nos períodos de maior crescimento de diatomáceas (TUNDISI, 1971; MALONE, 1971 e 1971a; HALLEGRAEFF, 1981). Poucos estudos sobre fracionamento do fitoplâncton foram realizados em regiões de plataforma rasa na costa brasileira, limitando-se a lagoas, estuários e baías. No complexo estuarino de Cananéia-SP, o nanoplâncton (5-65 μ m) constituiu a fração mais importante na região, perfazendo entre 54 e 89% da produção primária (TEIXEIRA et al., 1967; TUNDISI et al., 1978). SASSI E KUTNER (1982), estudando a variação anual do fitoplâncton em Ubatuba-SP, calcularam a contribuição do nanoplâncton entre 54 e 98% da biomassa fitoplanctônica. Nesta região, de características oligotróficas, o fitoplâncton apresentou um comportamento anual semelhante ao do presente trabalho. Nas águas equatoriais mais oligotróficas do nordeste brasileiro as contribuições do nanoplâncton oscilaram entre 55 e 94% da clorofila-a. Os menores valores foram observados apenas no inverno, mais chuvoso, quando o microplâncton atingiu o máximo de 44% (SASSI, 1987). Concentrações ainda maiores do nanoplâncton foram registradas por TEIXEIRA (1963) em águas equatoriais ao largo da Ilha de Marajó, com 71-83% da clorofila-a total e 87-93% da produção primária.

5.2.b Variação Sazonal de Grupos Taxonômicos Representativos

As observações sobre a variação sazonal das espécies mais representativas da comunidade fitoplanctônica auxiliam no entendimento dos fatores bióticos e abióticos que regulam sua

dinâmica espaço-temporal.

SMAYDA (1980) inicia sua excelente revisão sobre sucessão de espécies fitoplânctônicas comentando a respeito da dificuldade em diferenciar-se "sucessão" de "sequência", devido à interação contínua entre comunidades de diferentes massas de água. Para ele, dificilmente ocorre uma sucessão verdadeira nos oceanos. Ao contrário, espécies alóctones e autóctones alternam-se em sequências e sucessões contínuas, estando sujeitas à características regionais e sazonais (latitude, hidrografia, "grazing", concentração de nutrientes, etc.). Observações semelhantes foram feitas no presente trabalho. Muitas espécies identificadas que poderiam pertencer à populações da Água Costeira (caracterizando uma sucessão) tiveram seus padrões sucessionais alterados pela influência contínua da Água de Plataforma, águas da Baía de Paranaguá e, talvez, de águas Sub-antárticas de abril a agosto, introduzindo espécies inexistentes na Água Costeira, como *Hemiaulus membranaceus*, *Bacteriastrum spp.*, *Schroderella delicatula*, *Ceratium vultur*, *Corythodinium tesselatum*, *Gonyaulax spp.*, *Dinophysis rotundata*, *Schuttiella mitra*, *Umbilichosphaera sibogae*, entre outras.

Foram identificados representantes considerados típicos ou indicadores de determinadas massas de água ocorrendo em todo o período amostrado, ou seja, em diferentes condições oceanográficas, confirmando o clássico processo contínuo de adaptação das espécies (MAYR, 1977; DOBZHANSKY, 1973). Finalmente, é possível que populações de uma mesma espécie, mas originadas de diferentes massas de água, tenham se misturado, ocorrendo

simultaneamente na área estudada.

VENRICK (1990) critica trabalhos que desenvolvem modelos preditivos baseados em dados coletados em curtos períodos (< 3 anos). HULBURT (1970) sustenta que é impossível prever padrões de sucessão nas comunidades planctônicas costeiras, devido à frequente alternância das espécies dominantes e variabilidade interanual de biomassa. SMAYDA (1980) considera ainda que a distribuição geográfica do plâncton pode variar de poucos centímetros a centenas de quilômetros.

Portanto, baseando-se nas discussões acima e que as coletas foram realizadas num período considerado curto, seria precipitado generalizar ou predizer padrões de sucessão das espécies e/ou populações presentes na região.

As variações dos grupos descritos a seguir auxiliam na identificação dos fatores bióticos e abióticos atuando sobre a comunidade nanoplânctonica da região estudada, não significando que eles mostrem efeitos ou sazonalidade definidos. Considerou-se importante identificar aqueles fatores como os responsáveis pela dinâmica da comunidade na região, e que estão sempre presentes, embora variem em intensidade, duração e época de ocorrência.

Por sua importância no ambiente estudado, foram acompanhadas 17 espécies de diatomáceas e outros grupos taxonômicos (Figs. 10, 11 e 12). Apenas os mais importantes serão discutidos. O gênero *Chaetoceros*, com 18 espécies identificadas, destacou-se dos demais, considerando suas densidades ao longo do ano. O grupo pareceu desenvolver-se melhor em águas mais ricas em nutrientes.

Sua distribuição vertical (Fig.13) evidencia o maior crescimento entre maio e setembro, quando a coluna de água apresentou-se mais homogênea e ocorreu a provável mistura de águas sub-antárticas mais enriquecidas de nutrientes. De novembro a março suas concentrações aumentaram progressivamente, coincidindo com a maior influência da drenagem continental. O gênero é composto por espécies que geralmente formam esporos bentônicos (observados em grande número em agosto) sendo, portanto, bem sucedidas em ambientes costeiros de elevada energia externa (MARGALEF, 1978). As espécies dominantes, como *Chaetoceros affinis*, *C. debilis*, *C. didymus*, *C. curvisetum* e *C. compressus*, geralmente foram as mesmas de regiões temperadas (RINES E HARGRAVES, 1987). Surpreendentemente, o gênero tem sido registrado na costa brasileira como pouco abundante, ou ocorrendo em altas concentrações somente no verão (KUTNER, 1972; MESQUITA, 1983) ou períodos curtos (SASSI E KUTNER, 1982). Na Baía de Paranaguá (PR), próxima à área estudada, BRANDINI (1985) encontrou altas densidades também no verão e, secundariamente, em agosto.

Skeletonema costatum, a espécie mais importante na Baía de Paranaguá (BRANDINI, 1985) e no estuário de Cananéia (KUTNER, 1972; MESQUITA, 1983), ocorreu apenas em picos intermitentes de concentração no decorrer do ano, indicando menor influência daquela Baía do que o esperado, considerando que as coletas foram realizadas durante as marés baixas. A espécie parece desenvolver-se melhor na presença de concentrações elevadas de silicato e nitrogênio e maior temperatura (SMAYDA, 1973).

Nitzschia spp., *Leptocylindrus sp.*, *Rhizosolenia spp.*, *Asterionella glacialis*, *Thalassionema nitzschiooides*, *Cerataulina bergenii* e a família *Naviculaceae* também foram importantes.

A família *Gymnodiniaceae* ocorreu em densidades expressivas durante todo o ano ($>3,6 \times 10^4$ cels/l), caracterizando-se pela distribuição vertical quase idêntica das diferentes classes de tamanho estudadas (Fig.14). Os máximos de concentração ocorreram nos períodos chuvosos do verão e durante os períodos de maior turbulência e influência das águas sub-antárticas, de abril a agosto. Associaram-se sempre à profundidades superficiais, coincidindo com as maiores quantidades de nutrientes.

A variação sazonal dos cocolitoforídeos associou-se a maior influência da Corrente do Brasil no verão, transportando populações destes organismos para a costa e, talvez, a elevação simultânea de nutrientes, devido a maior pluviosidade naquela época. *U. sibogae* ocorreu em concentrações elevadas de janeiro a março, diminuindo até valores indetectáveis nos demais períodos. Os cocolitoforídeos entre 5 e 15 μm , compostos por *E. huxleyi* e *G. oceanica*, foram abundantes em todo o ano, mas as maiores densidades situaram-se entre janeiro e agosto. Em setembro, a competição por nutrientes com os flagelados do nanoplâncton (2-5 μm) deve ter inibido seu crescimento. HULBURT E CORWIN (1969), realizando experimentos com populações de *E. huxleyi* influenciadas pelo Rio Amazonas, encontraram que esta espécie responde rapidamente a elevação de nutrientes.

Os ciliados apresentaram concentrações mais ou menos constantes, exceto em setembro, quando as densidades aumentaram

juntamente com o "bloom" do nanoplancton, sugerindo uma preferência alimentar por aquela categoria de tamanho.

As observações relativas aos efeitos dos fatores bióticos e abióticos sobre as comunidades nano- e microplanctônica permitiram diferenciar a variação temporal de alguns grupos taxonômicos na região:

- espécies que ocorrem em densidades elevadas nos períodos de maior concentração de nutrientes (janeiro a agosto) ou seja, reguladas por processos turbulentos, intrusões de correntes enriquecidas e drenagem continental (*Nitzschia aff. seriata*, *N. aff. pungens*, *N. aff. delicatissima*, *Leptocylindrus danicus*, *L. minimus*, *Chaetocerus spp.*, *Rhizosolenia stolterfothii*, *R. fragilissima*, *Cerataulina bergonii*, *Hemiaulus spp.*, *Eucampia spp.* e *Coccolithophoridae* (5-15µm);
- espécies de variação sazonal marcada por um máximo de concentração mais relacionado à penetração de determinada massa de água, simultânea à variação de temperatura (*Thalassiothryx mediterranea*, *Lauderia borealis*, *Schroderella delicatula*, *Bacteriastrum spp.*, *Umbilichosphaera sibogae*, *Prorocentrum minimum* e *Scrippsiella sp.*);
- espécies abundantes durante todo o ano, apresentando picos de concentração esporádicos (*R. delicatula*, *Asterionella glacialis*, *Thalassionema nitzschiooides*, *Skeletonema costatum*, *Gymnodiniaceae* e *Cryptophyceae*);
- espécies de abundâncias discretas e variação sazonal pouco evidente. Inclui os representantes de *Cyanophyceae*, *Silicoflagellatae*, *Euglenophyceae*, vários dinoflagelados e

diatomáceas.

6. CONCLUSÕES

O nanoplancton (2-20 µm) constituiu-se na classe de tamanho mais importante da região, durante o período estudado. Os grupos taxonômicos quantitativamente mais abundantes foram os flagelados não identificados (2-5 µm), criptoficeas, cocolitoforídeos (5-15 µm) e gymnodiniáceos. Frequentemente ocorreram "blooms" esporádicos destes grupos.

O microplâncton (>20 µm) apresentou contribuição relativa um pouco menor, sendo importante: no inverno, quando ocorreu maior intensidade de ventos frios do quadrante sul, aumentando os processos de mistura turbulenta; e nos períodos de maior precipitação e drenagem continental, de janeiro a março. As diatomáceas dominaram o microplâncton, representadas principalmente por: *Chaetoceros affinis*, *C. compressus*, *C. curvisetum*, *C. debilis*, *C. didymus*, *Nitzschia aff. delicatissima*, *N. aff. pungens*, *N. aff. seriata*, *Leptocylindrus danicus*, *L. minimus*, *Thalassionema nitzschioides*, *Asterionella glacialis*, *Rhizosolenia delicatula*, *R. fragilissima*, *R. stolterfothii*, *Skeletonema costatum* e *Cerataulina bergenii*. Secundariamente também foram importantes os dinoflagelados tecados (*Ceratium furca*, *C. fusus*, *Prorocentrum spp.*, *Protoperidinium spp.*) e a família Gymnodiniaceae (*Amphidinium spp.*, *Cochlodinium spp.*, *Gymnodinium spp.*, *Gyrodinium sp.* e *Torodinium robustum*), seguidos de silicoflagelados e cocolitoforídeos (*Umbilichosphaera sibogae*).

A dinâmica temporal da comunidade planctônica foi influenciada por diversos fatores. A corrente do Brasil, de características oligotróficas, tendeu a empobrecer a Água Costeira e a manter as concentrações de nanoplancton elevadas. Altas densidades destes organismos também ocorreram após o esgotamento de nutrientes durante os períodos de maior crescimento do microplâncton.

Os processos de mistura turbulenta gerados pela entrada de massas de ar frio do quadrante sul, uma possível influência de águas sub-antárticas entre abril e agosto e a maior drenagem continental entre janeiro e março, aumentaram a concentração de nutrientes, favorecendo o microplâncton.

Durante todo o ano, a turbulência pareceu ser importante para tornar disponíveis os nutrientes regenerados pela comunidade bentônica, além de impedir a sedimentação do fitoplâncton.

Portanto, a variabilidade dos fatores bióticos e abióticos atuantes na região e o curto período de coleta tornaram difícil interpretar e padronizar a dinâmica temporal das comunidades pelágicas nano- e microplanctônica estudadas.

7. ANEXOS

- Fig.1: Mapa da região estudada, mostrando a localização da estação de coleta (•).....56
- Fig.2: Precipitação e temperaturas mínima e máxima, durante o período estudado (Maio/1990 – Abril/1991).....57
- Fig.3: Distribuição vertical de temperatura ($^{\circ}$ C), salinidade (%) e seston total (mg/l), durante o período estudado (Maio/1990 – Abril/1991).....58
- Fig.4: Distribuição vertical de silicato, fosfato, nitrato e nitrito (μ mol/l), durante o período amostrado (Maio/90 – Abril/91).....59
- Fig.5: Distribuição vertical de clorofila-a total e fracionada e carotenóides (mg/m³), durante o período amostrado (Maio/1990 – Abril/1991).....60
- Fig.6: Variação sazonal das concentrações médias de clorofila-a fracionada (mg/m³), densidade celular (cels/l) e dos valores relativos de clorofila-a fracionada, durante o período amostrado (Maio/1990 – Abril/1991).....61
- Fig.7: Variação sazonal das concentrações médias (cels/l) e dos valores relativos de diferentes categorias de tamanho do fitoplâncton, e dos principais grupos do microplâncton, durante o período estudado (Maio/1990 – Abril/1991)....62
- Fig.8: Variação sazonal das concentrações médias de dinoflagelados do microplâncton (>20 μ m) e dos principais grupos do nanoplâncton (10–20 μ m e 5–10 μ m), durante o período amostrado

(Maio/1990 - Abril/1991).....	63
Fig.9: Variação sazonal das concentrações médias (cels/l) de diatomáceas e de ciliados ($>20\mu\text{m}$), durante o período amostrado (Maio/1990 - Abril/1991).....	64
Fig.10: Variação sazonal das espécies representativas do fitoplâncton ($\times 10^3$ cels/l), durante o período amostrado (Maio/1990 - Abril/1991).....	65
Fig.11: Variação sazonal das espécies e grupos dominantes do fitoplâncton ($\times 10^3$ cels/l), durante o período estudado (Maio/90 - Abril/91).....	66
Fig.12: Variação sazonal das espécies e grupos dominantes do fitoplâncton ($\times 10^3$ cels/l), durante o período estudado (Maio/90 - Abril/91).....	67
Fig.13: Distribuição vertical de espécies selecionadas do fitoplâncton (cels/l), durante o período amostrado (Maio/90 - Abril/91).....	68
Fig.14 Distribuição vertical de diferentes categorias de tamanho de dinoflagelados (cels/l), durante o período estudado (Maio/90 - Abril/91).....	69
Tab.1: Valores dos parâmetros físicos e químicos ($\mu\text{mol/l}$), incluindo clorofila-a (mg/m^3), durante o período amostrado.....	70
Tab.2: Concentrações médias (cels/l) das diatomáceas do microplâncton ($>20\mu\text{m}$), durante o período estudado.....	73
Tab.3: Concentrações médias (cels/l) dos grupos de diatomáceas por categoria de tamanho, e dos outros grupos do microplâncton, durante o período amostrado.....	74

Tab.4: Concentrações médias (cels/l) dos grupos do nanoplâncton (10-20- μ m, 5-10 μ m e 2-5 μ m), durante o período amostrado.....	75
Tab.5: Concentrações médias (cels/l) das diferentes categorias de tamanho do fitoplâncton, e valores médios e relativos de clorofila-a fracionada.....	76
Tab.6: Relação das espécies identificadas do fitoplâncton total e plâncton de rede.....	77

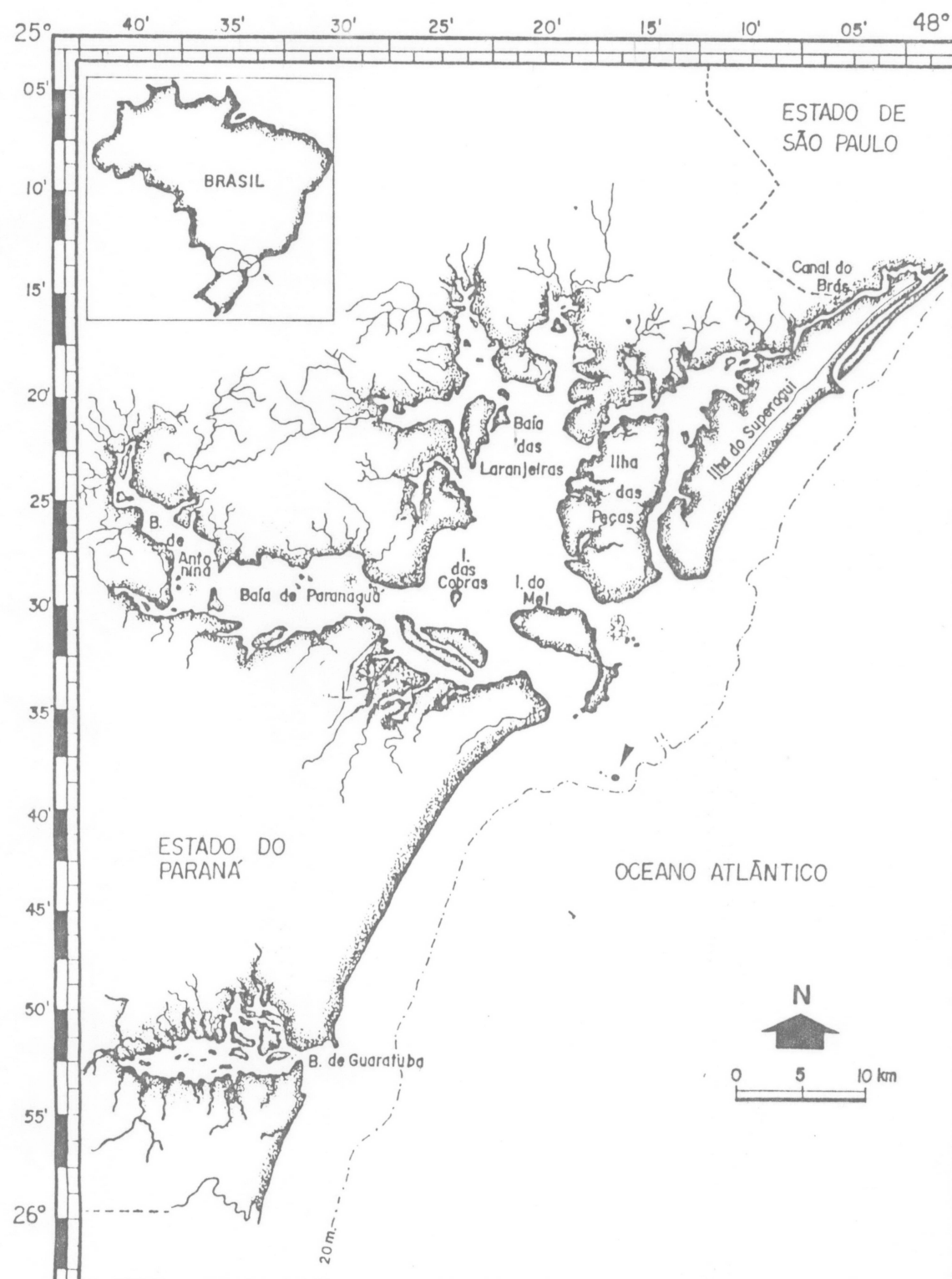


Fig. 1: Mapa da região estudada, mostrando a localização da estação de coleta (•)

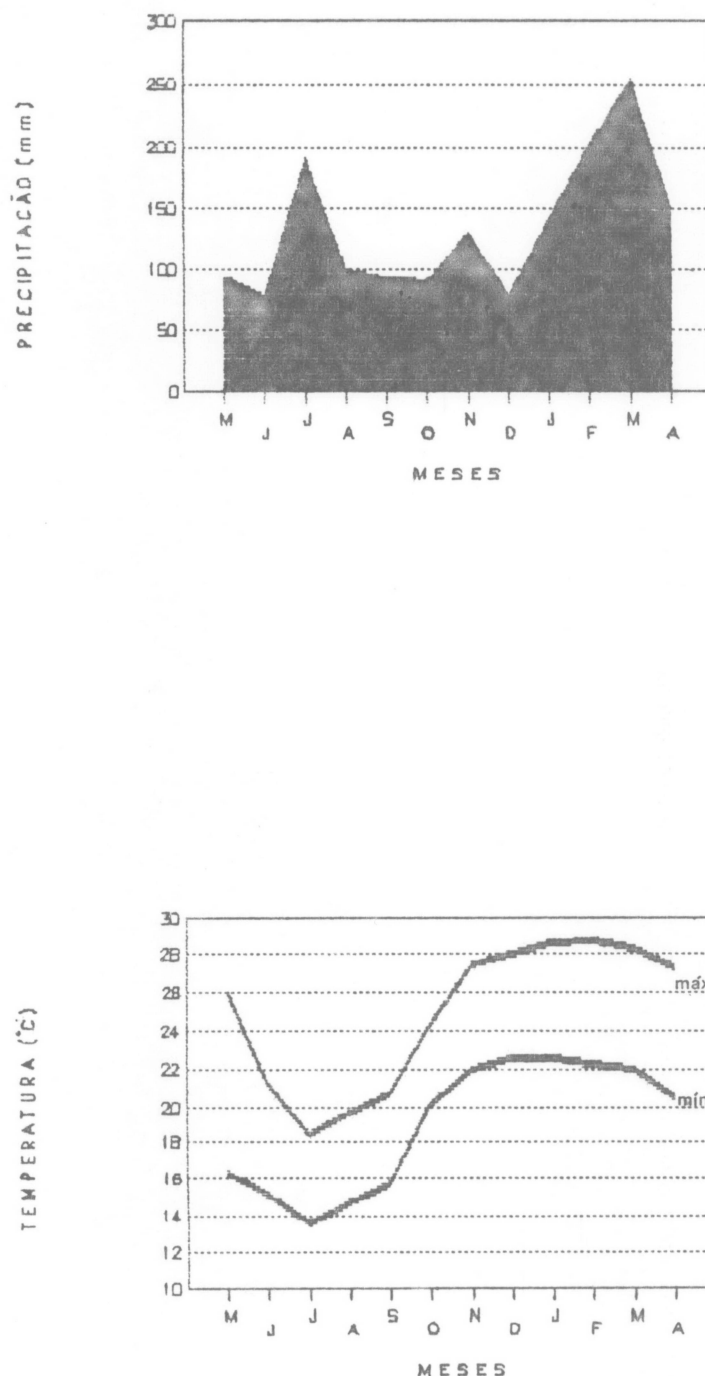


Fig. 2: Precipitação mensal e temperaturas mínima e máxima, durante o período estudado (Maio/1990 - Abril/1991)

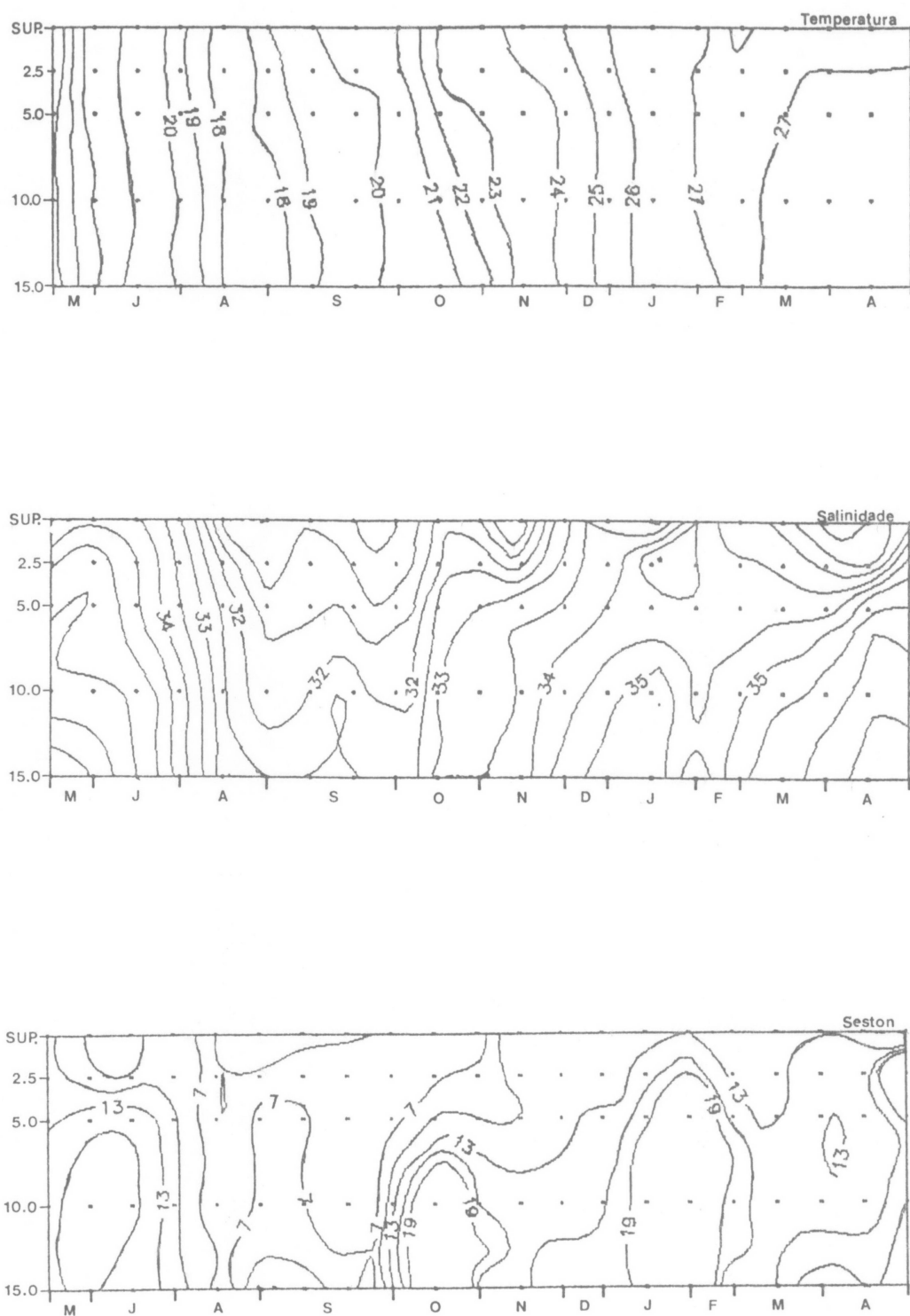


Fig. 3: Distribuição vertical de temperatura ($^{\circ}\text{C}$), salinidade (‰) e seston total (mg/l), durante o período estudado (Maio/90 - Abril/91).

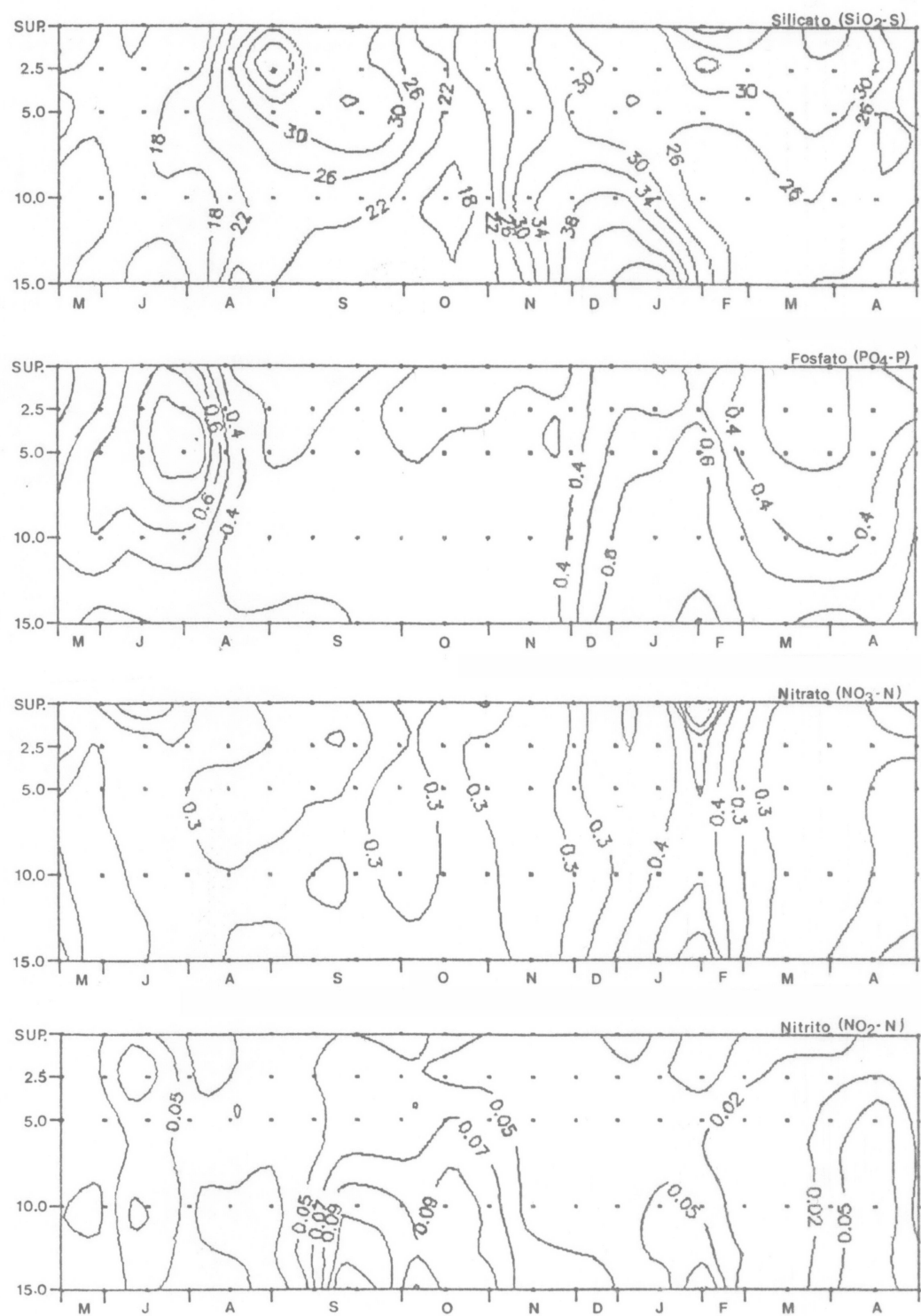


Fig. 4: Distribuição vertical de silicato, fosfato, nitrato e nitrito ($\mu\text{mol/l}$), durante o período amostrado (Maio/90 - Abril/91).

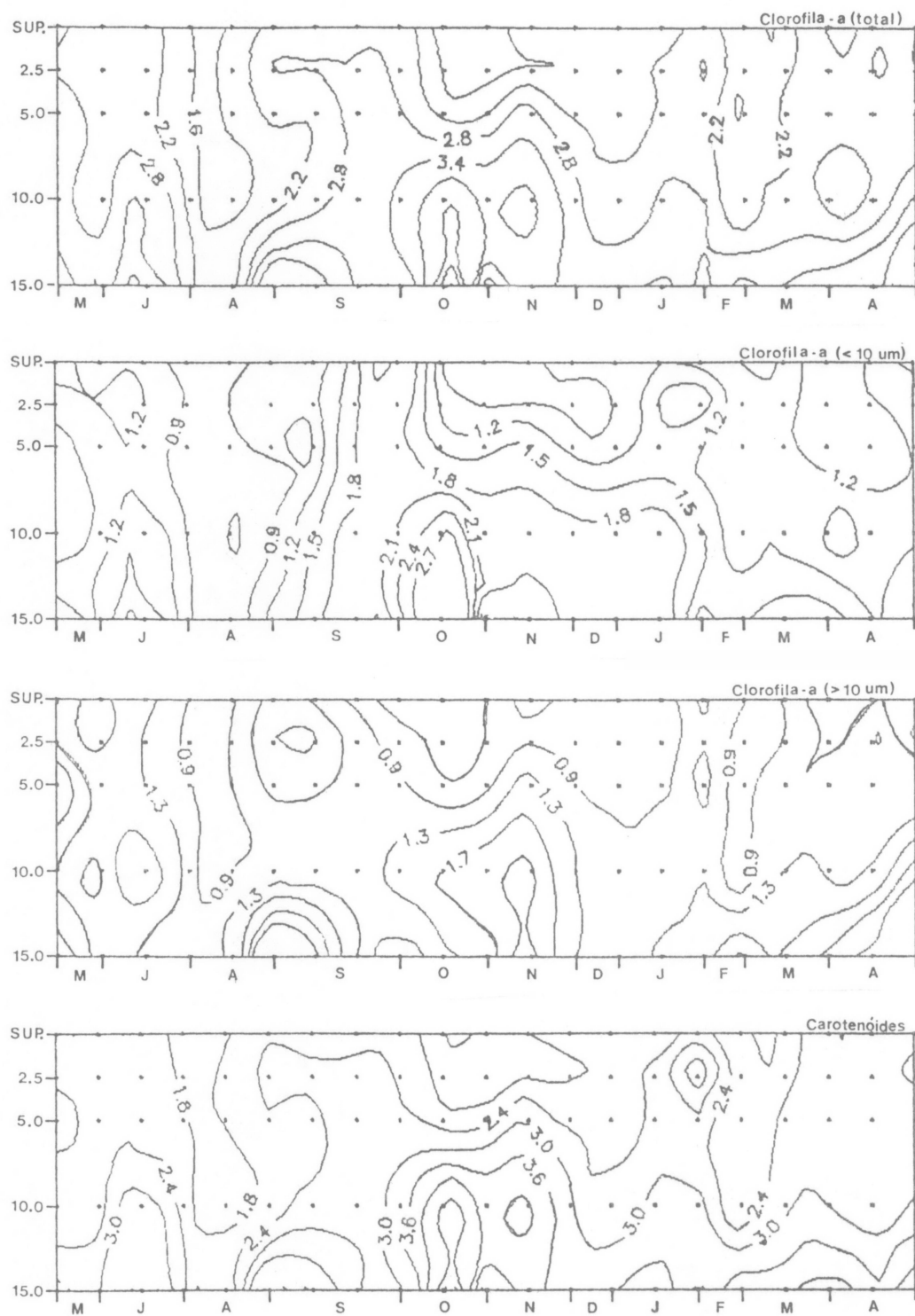


Fig. 5: Distribuição vertical de clorofila-a total e fracionada e carotenóides (mg/m^3), durante o período amostrado (Maio/90 – Abril/91).

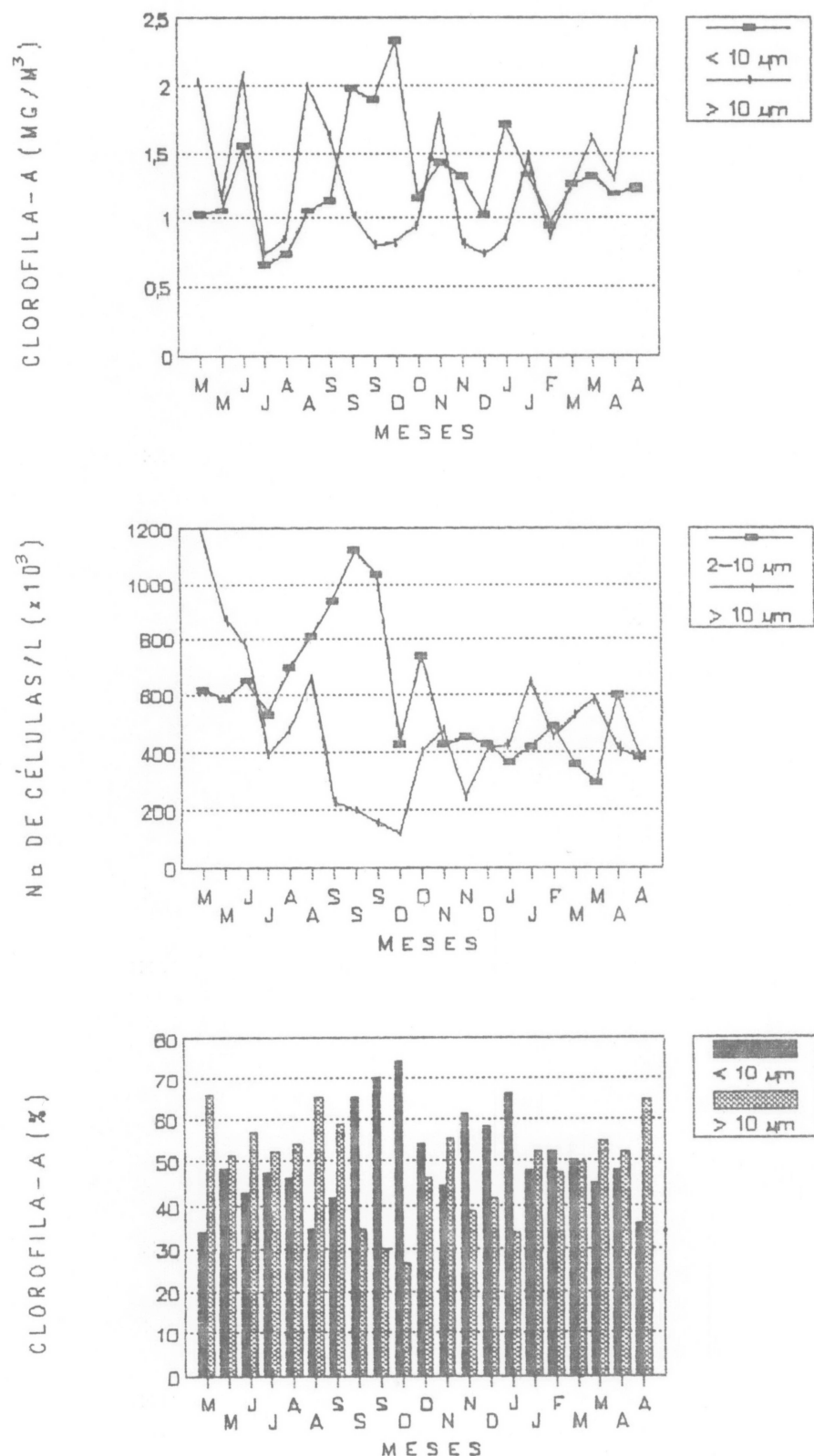


Fig. 6: Variação sazonal das concentrações médias de clorofila-a fracionada (mg/m^3), densidade celular (cels/l) e dos valores relativos de clorofila-a fracionada, durante o período amostrado (Maio/90 - Abril/91).

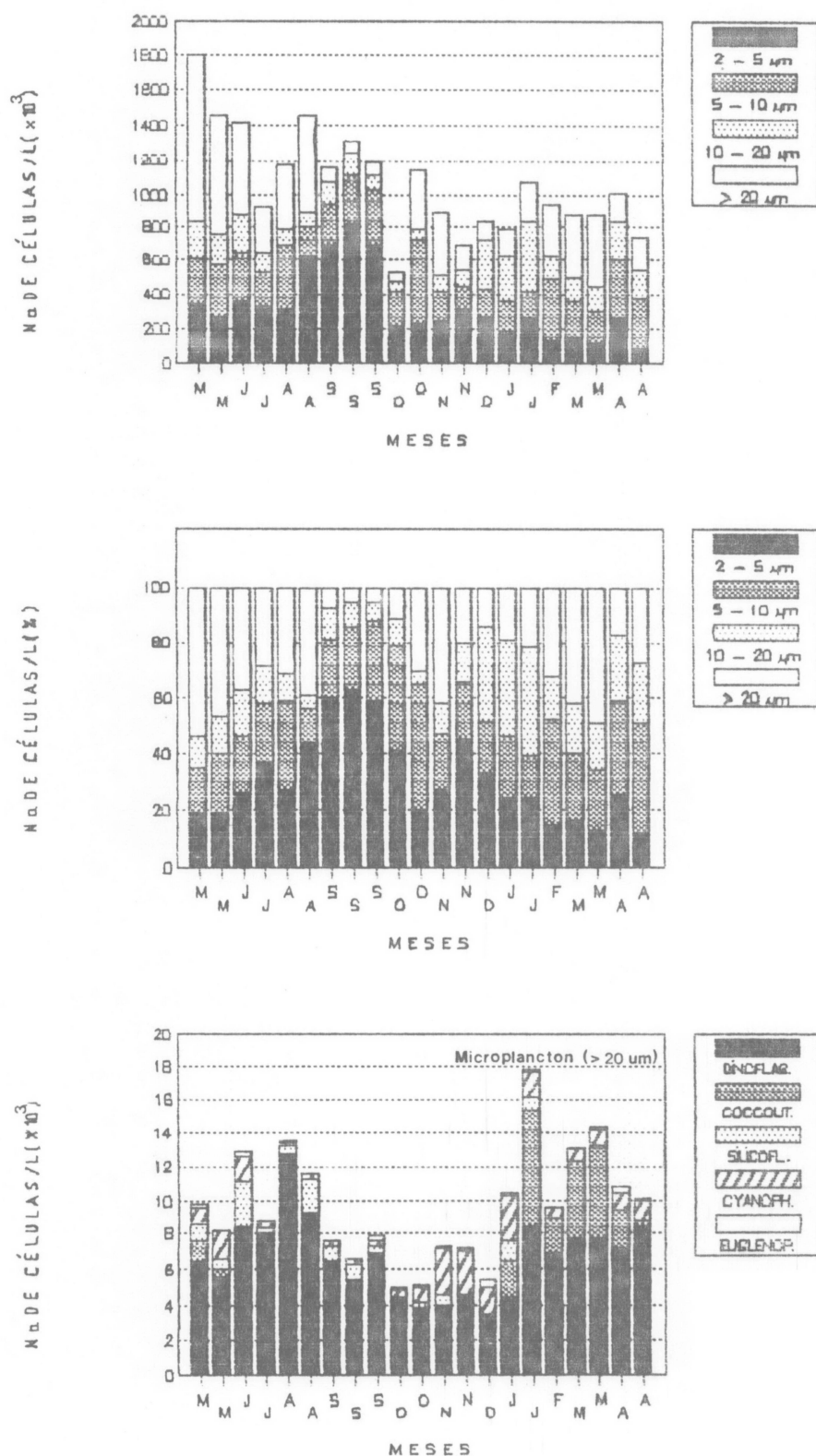


Fig. 7: Variação sazonal das concentrações médias (cels/l) e dos valores relativos de diferentes categorias de tamanho do fitoplâncton, e dos principais grupos do microplâncton, durante o período estudado (Maio/90 - Abril/91).



Fig. 8: Variação sazonal das concentrações médias (cels/l) de dinoflagelados do microplâncton ($> 20 \mu\text{m}$) e dos principais grupos do nanoplâncton (10-20 μm e 5-10 μm), durante o período amostrado (Maio/90 - Abril/91).

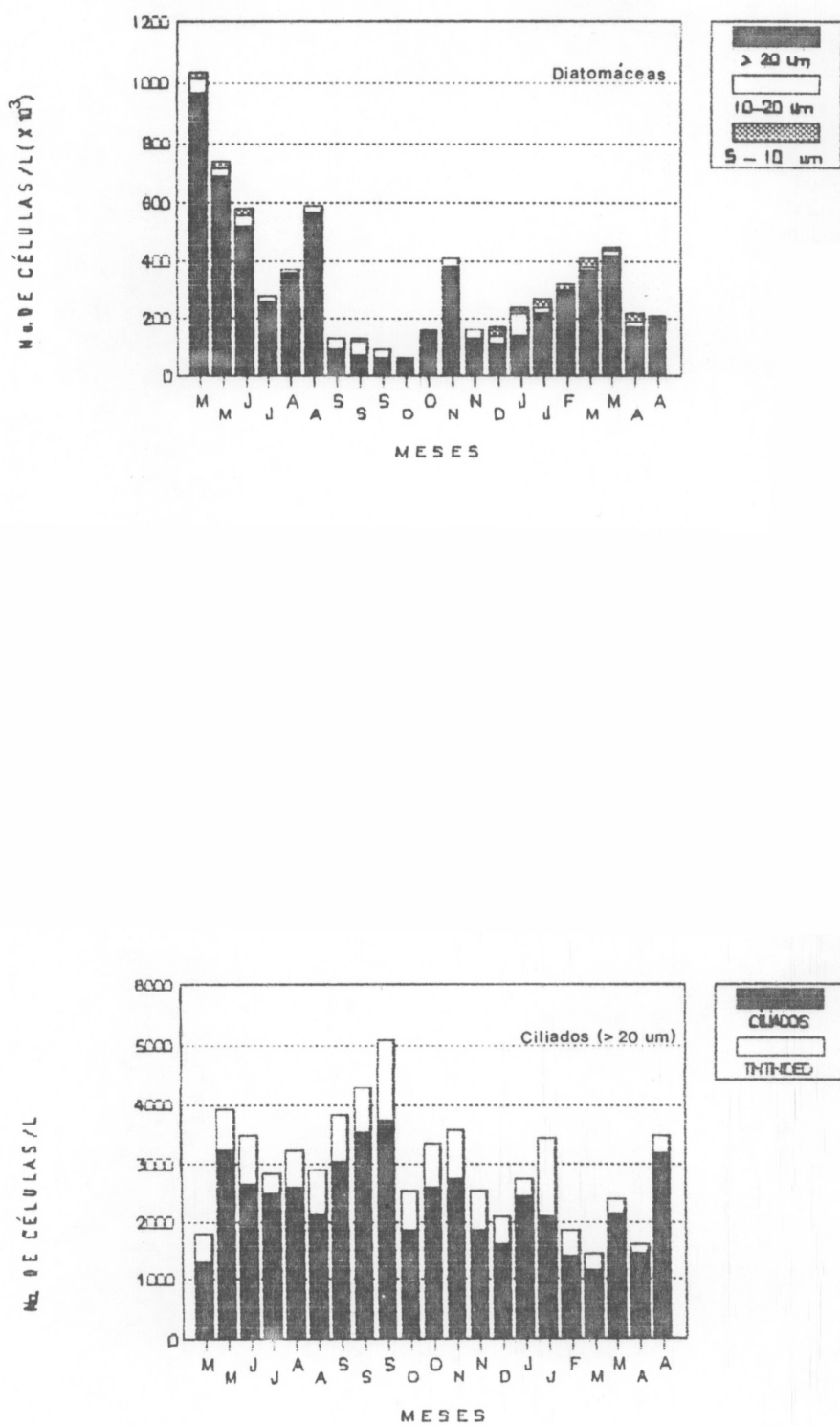


Fig. 9: Variação sazonal das concentrações médias (cels/l) de diatomáceas e de ciliados (>20um), durante o período amostrado (Maio/90 - Abril/91).

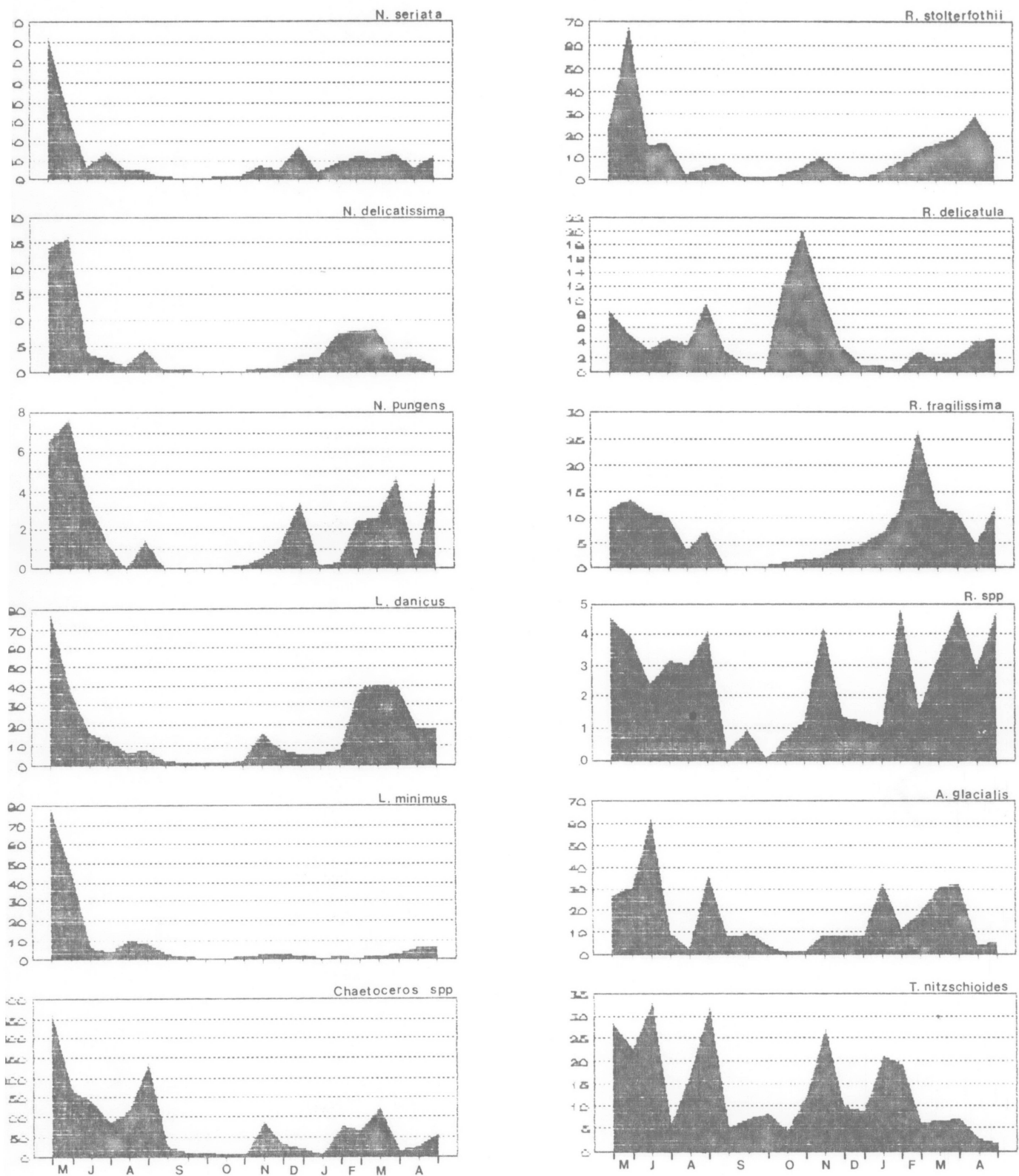


Fig. 10: Variação sazonal das espécies representativas do fitoplâncton ($\times 10^3$ cels/l), durante o período amostrado (Maio/90 - Abril/91).

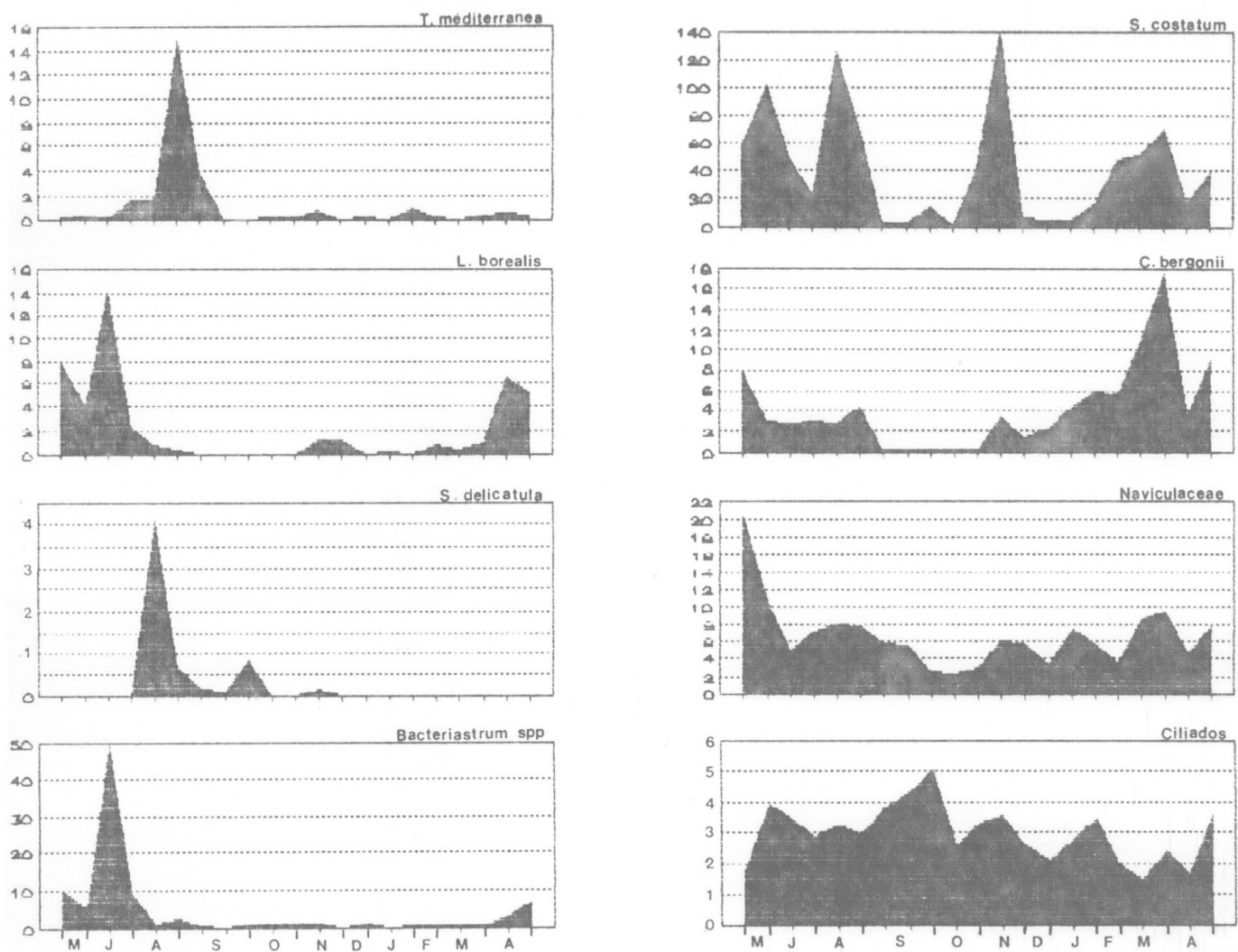


Fig.11: Variação sazonal das espécies e grupos dominantes do fitoplâncton ($\times 10^3$ cels/l), durante o período estudado (Maio/90 - Abril/91).

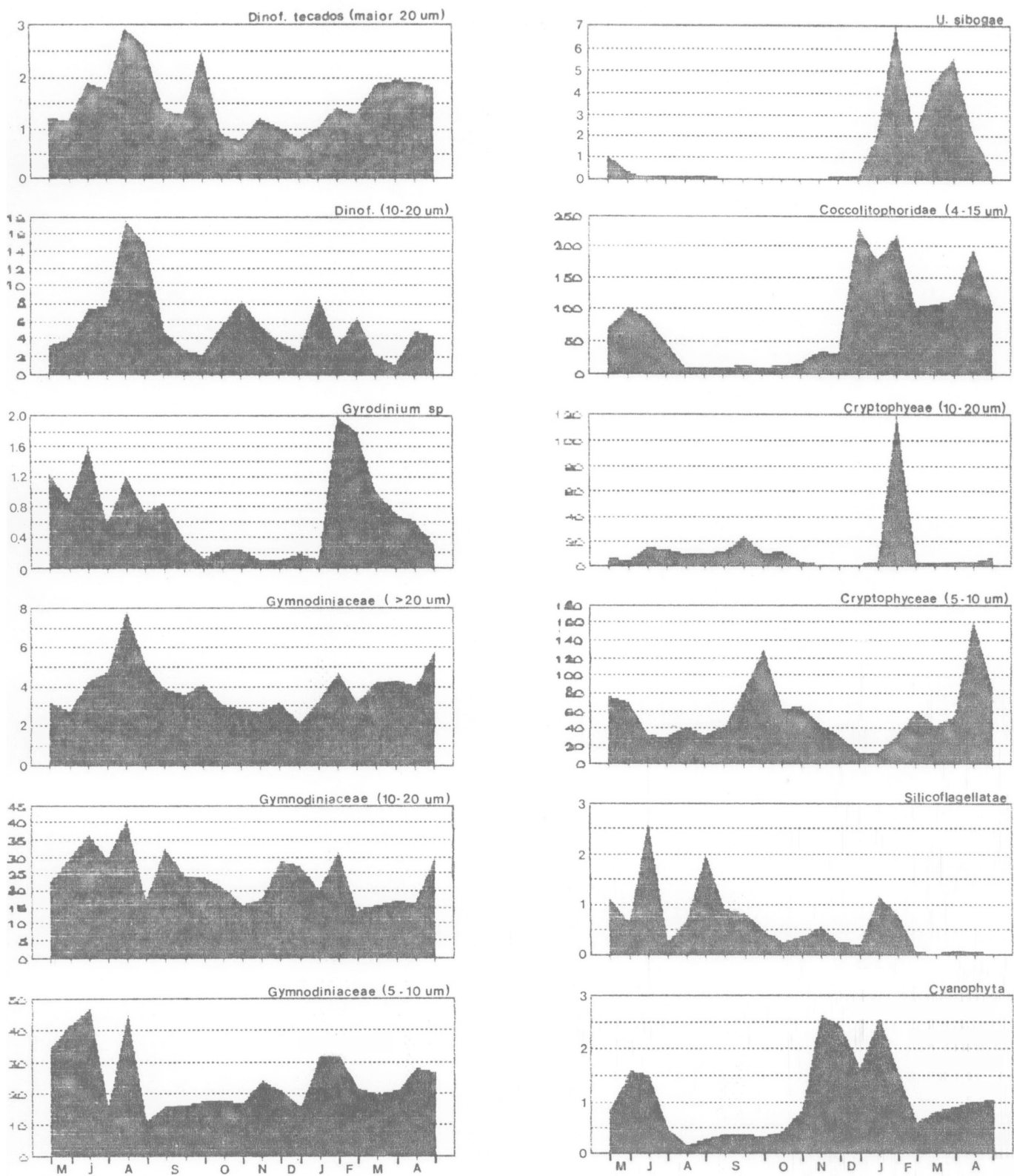


Fig. 12: Variação sazonal das espécies e grupos dominantes do fitoplâncton ($\times 10^3$ cels/l), durante o período estudado (Maio/90 - Abril/91).

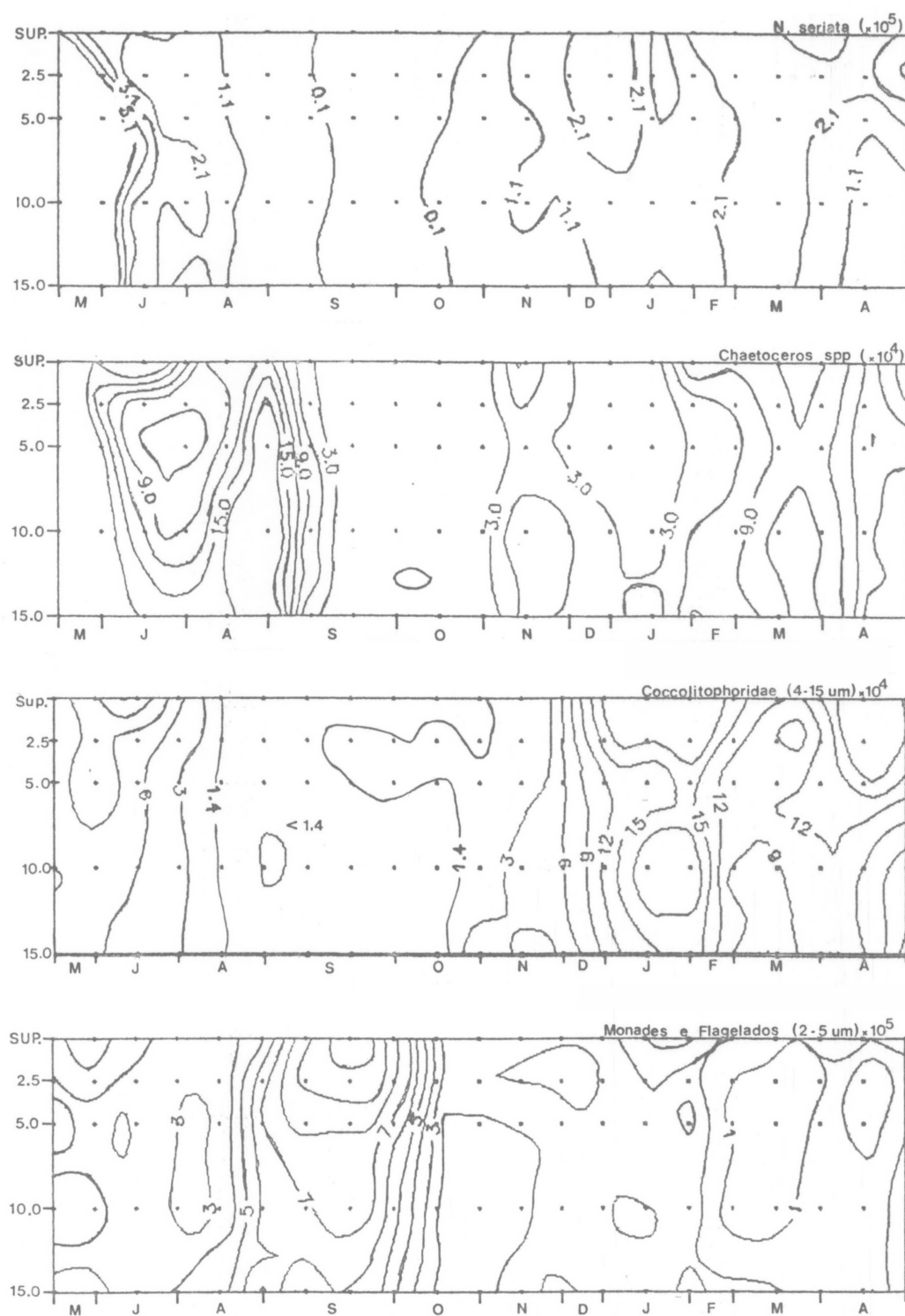


Fig.13: Distribuição vertical de espécies selecionadas do fitoplâncton (cels/l), durante o período amostrado (Maio/90 - Abril/91).

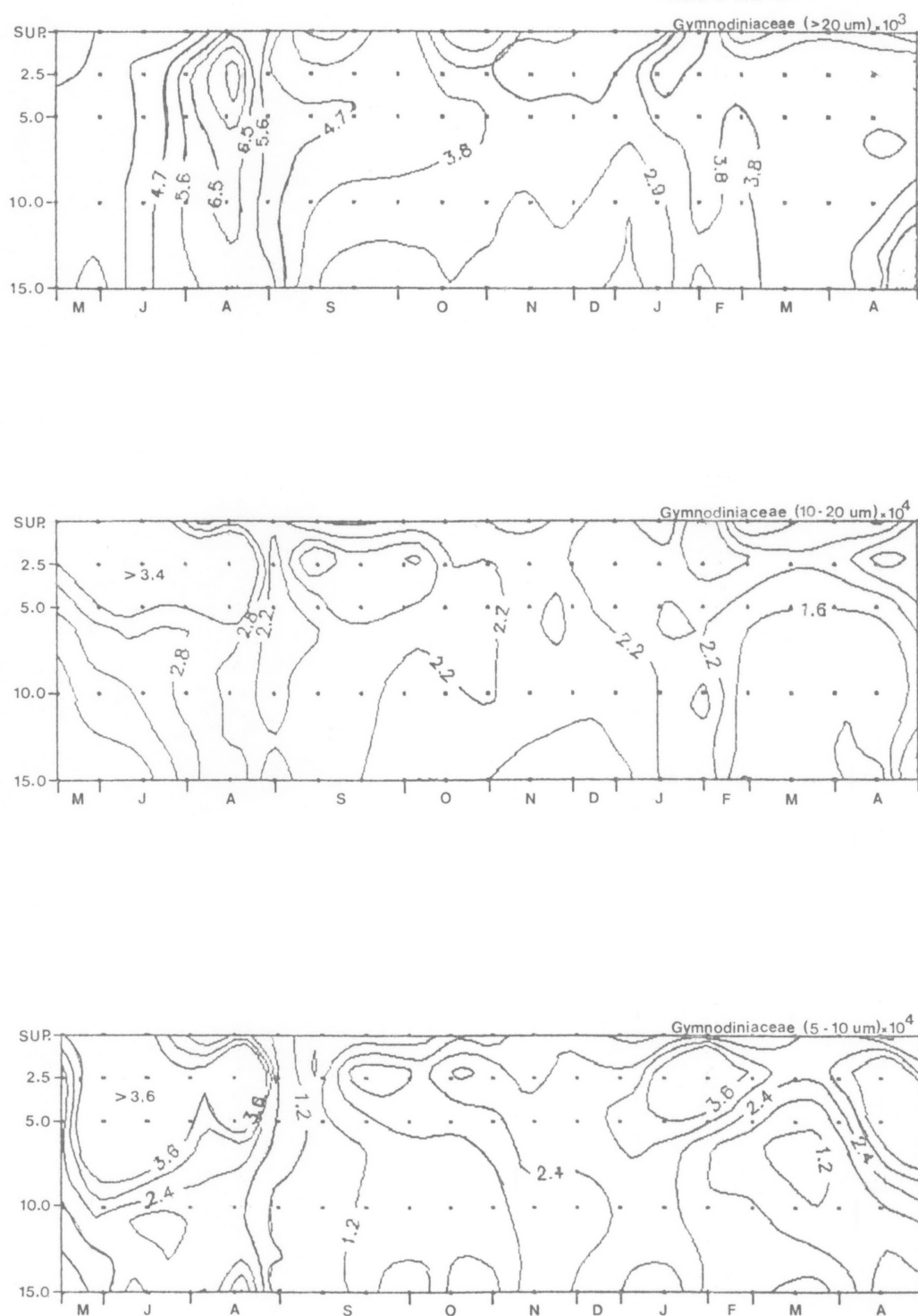


Fig.14 Distribuição vertical de diferentes categorias de tamanho de dinoflagelados (cels/l), durante o período estudado (Maio/90 - Abril/91).

DATA	PROF.	CLOROF.	CLOROF.	CLOROF.	TEMP.	SALIN.	SESTON	NITRITO	NITRATO	SILIC.	FOSF.
COLETA	(m)	TOTAL	< 10	> 10	°C	%	mg/l	NO2-N	NO3-N	SiO2-S	PO4-P
<hr/>											
10/05/90	SUP	3.09	1.35	1.74	24.5	33	10.85	0.042	0.25	5.47	0.36
	2.5	2.51	1.07	1.44	24.5	34.5	11.28	0.042	0.47	12.23	0.39
	5	3.5	0.68	2.82	24	35	11.96	0.042	0.22	23.84	0.43
	10	2.28	0.66	1.62	24	35	15.25	0.021	0.29	10.3	0.51
	15	3.91	1.42	2.49	24	36.5	17.48	0.042	0.42	11.91	0.48
25/05/90	SUP	2.03	1.02	1.01	20.5	34	6.45	0.042	0.37	13.52	0.51
	2.5	2.39	1.24	1.15	20.5	35	7.86	0.042	0.2	16.43	0.48
	5	2.35	1.1	1.25	20.5	35	15.25	0.021	0.2	10.95	0.7
	10	1.7	0.87	0.83	21	35	17.43	0	0.12	8.69	0.67
	15	2.55	1.1	1.45	21.5	36	16.85	0.021	0.1	20.29	0.34
13/06/90	SUP	2.98	1.21	1.77	20.5	33.5	4.98	0.063	0.64	22.87	0.66
	2.5	2.87	1.36	1.51	20.5	34	4.58	0.126	0.25	17.71	0.73
	5	2.69	1.19	1.5	20.5	34	17.3	0.063	0.49	15.13	0.58
	10	4.62	1.77	2.85	20.5	35	17.92	0.126	0.37	24.16	0.45
	15	5	2.26	2.24	20	35	13.98	0.063	0.27	9.65	0.42
28/06/90	SUP	1.27	0.58	0.69	19	33	10.18	0	0.35	11.27	0.73
	2.5	1.37	0.81	0.56	19	33	11.81	0	0.37	12.24	0.91
	5	1.35	0.55	0.8	19.5	33	10.75	0.021	0.17	23.84	1.18
	10	1.34	0.72	0.62	20	34	11.94	0	0.27	11.59	0.7
	15	1.71	0.7	1.01	20	34	13.18	0.021	0.22	9.01	0.48
02/08/90	SUP	1.61	0.82	0.79	16.5	30	3.23	0.022	0.28	23.64	0.3
	2.5	1.81	0.91	0.9	16.5	31.5	4.34	0.022	0.32	20.45	0.42
	5	1.63	0.83	0.8	16.5	32	2.44	0.065	0.2	24.34	0.46
	10	1.31	0.5	0.81	17	32	2.04	0.022	0.25	20.45	0.33
	15	1.67	0.62	1.05	17	32	3.33	0.043	0.23	30.17	0.42
09/08/90	SUP	2.47	0.98	1.49	18.5	30	2.12	0.022	0.23	32.76	0.25
	2.5	2.93	1.19	1.74	18	30	4.42	0.022	0.26	47.34	0.31
	5	2.52	0.99	1.53	18	30.5	8.05	0.022	0.17	30.82	0.28
	10	1.93	0.81	1.12	16.5	31	8.87	0	0.3	24.99	0.29
	15	5.44	1.32	4.12	16.5	32	13.91	0	0.21	22.07	0.43
03/09/90	SUP	2.11	0.88	1.23	19.5	30.5	2.42	0.043	0.23	32.93	0.23
	2.5	2.97	1.08	1.89	19.5	31	4.55	0.043	0.15	28.15	0.26
	5	1.86	0.54	1.32	19	31	8.13	0.027	0.28	32.28	0.33
	10	2.55	1.55	1	19	31.5	8.16	0.055	0.24	22.54	0.38
	15	4.26	1.64	2.62	18.5	32	11.51	0.051	0.28	20.19	0.45
19/09/90	SUP	2.31	1.57	0.74	20	30	2.84	0.043	0.21	37.3	0.28
	2.5	2.88	1.76	1.12	19.5	30.5	6.69	0.087	0.12	31.47	0.36
	5	3.31	2.17	1.14	19.5	31	4.76	0.065	0.25	37.3	0.35
	10	3.17	2.06	1.11	19.5	32.5	1.67	0.15	0.21	23.7	0.35
	15	3.42	2.31	1.11	19.5	32.5	8.71	0.24	0.26	20.13	0.41

TAB. I: VALORES DOS PARÂMETROS FÍSICOS E QUÍMICOS ($\mu\text{MOL/L}$), INCLUINDO CLOROFILA - A (MG/M^3), DURANTE O PERÍODO AMOSTRADO.

DATA COLETA	PROF. (m)	CLOROF. TOTAL	CLOROF. < 10	CLOROF. > 10	TEMP. °C	SALIN. %	SESTON mg/l	NITRITO NO2-N	NITRATO NO3-N	SILIC. SiO2-S	FOSF. PO4-P
<hr/>											
27/09/90	SUP	2.8	2.6	0.2	20	29.5	4.74	0.022	0.45	21.75	0.34
	2.5	2.88	2.06	0.82	20	30	5.2	0.065	0.38	24.99	0.26
	5	2.95	1.92	1.03	19.5	30	4.07	0.022	0.51	32.44	0.29
	10	3.18	1.72	1.46	19.5	30.5	5.75	0.065	0.49	20.45	0.33
	15	1.74	1.23	0.51	19.5	31	2.83	0.043	0.35	25.31	0.34
11/10/90	SUP	0.97	0.76	0.21	23	31.5	4.52	0.065	0.32	20.78	0.27
	2.5	1.45	1.1	0.35	23	31.5	6.62	0.022	0.25	21.75	0.29
	5	1.72	1.31	0.41	22	32.5	10.81	0.087	0.28	19.18	0.33
	10	5.13	3.21	1.92	20.5	33	38.64	0.13	0.3	13.97	0.38
	15	6.51	5.28	1.23	20	33	45.66	0.11	0.29	18.19	0.39
26/10/90	SUP	1.28	0.79	0.49	23	31	5.31	0.042	0.36	25.15	0.23
	2.5	1.34	0.83	0.51	23	32	7.42	0.038	0.23	24.85	0.28
	5	2.02	1.39	0.63	22.5	32.5	9.55	0.059	0.25	21.13	0.35
	10	3.5	1.67	1.83	22.5	32.5	12.13	0.089	0.32	18.96	0.38
	15	2.49	1.08	1.41	21	33	14.19	0.105	0.31	20.14	0.39
13/11/90	SUP	1.98	0.83	1.15	24	29.5	14.38	0.022	0.18	29.85	0.25
	2.5	1.55	0.82	0.73	23.5	31	11.7	0.022	0.15	29.85	0.4
	5	3.59	1.76	1.83	23	33	8.82	0.022	0.14	29.2	0.3
	10	4.64	2.09	2.55	23	33	16.03	0.022	0.11	36.98	0.31
	15	4.24	1.63	2.61	23	33	13.44	0.043	0.2	26.28	0.35
29/11/90	SUP	1.8	1.05	0.75	24.5	33	10.3	0.043	0.22	31.23	0.23
	2.5	1.49	0.79	0.7	24	33	13.1	0.022	0.25	32.05	0.32
	5	1.68	0.97	0.71	23.5	33.5	12.8	0.022	0.35	29.86	28
	10	2.81	1.86	0.95	23.5	34	14.5	0.043	0.26	35.03	0.38
	15	2.85	1.88	0.97	23.5	34.5	20.8	0.065	0.28	42.19	0.41
20/12/90	SUP	1.76	1.03	0.73	25.5	33	10.26	0	0.55	23.04	0.58
	2.5	--	--	--	--	--	--	--	--	--	--
	5	--	--	--	--	--	--	--	--	--	--
	10	--	--	--	--	--	--	--	--	--	--
	15	--	--	--	--	--	--	--	--	--	--
10/01/91	SUP	1.79	1.19	0.6	26.5	32	11.22	0.022	0.28	32.44	0.35
	2.5	2.27	1.63	0.64	26	35	14.37	0.043	0.33	23.69	0.48
	5	1.99	1.43	0.56	26	33.5	14.36	0.022	0.32	26.93	0.51
	10	3.18	2.12	1.06	26	33.5	21.4	0.065	0.45	29.85	0.65
	15	3.65	2.21	1.44	26	35	19.99	0.022	0.52	51.88	0.6
23/01/91	SUP	2.51	1.11	1.4	26	34	13	0.065	1.02	24.02	0.6
	2.5	2.98	1.84	1.14	26.5	34	18.84	0.065	0.58	37.95	0.53
	5	2.9	1.05	1.85	26.5	34	39.36	0.022	0.65	24.99	0.81
	10	3.08	1.65	1.43	26.5	33.5	30.02	0.043	0.58	23.04	0.67
	15	2.57	1.06	1.51	26	33.5	28.9	0.108	0.82	32.12	0.83

(Continuação da Tab. 1)

DATA COLETA	PROF. (m)	CLOROF. TOTAL	CLOROF. < 10	CLOROF. > 10	TEMP. °C	SALIN. %	SESTON mg/l	NITRITO NO2-N	NITRATO NO3-N	SILIC. SiO2-S	FOSF. PO4-P
<hr/>											
20/02/91	SUP	1.73	0.86	0.87	28	33	11.04	0.043	0.35	26.25	0.42
	2.5	1.7	0.96	0.74	28.5	33.5	11.5	0.022	0.3	31.79	0.35
	5	0.98	0.77	0.21	27	33.5	10.07	0	0.27	27.58	0.3
	10	0.94	0.71	0.23	27	34.5	15.13	0	0.32	24.34	0.5
	15	3.79	1.49	2.3	27	35	10.73	0	0.3	21.1	0.48
11/03/91	SUP	1.53	0.82	0.71	27	33	11.55	0.023	0.23	32.81	0.21
	2.5	1.83	1.1	0.73	26.5	33.5	12.85	0.015	0.21	31.56	0.28
	5	2.92	1.27	1.65	26.5	34	13.58	0.018	0.18	29.85	0.33
	10	3.21	1.43	1.78	26	35	14.95	0	0.23	25.86	0.42
	15	3.06	1.7	1.36	26	35.5	16.01	0	0.19	23.91	0.58
19/03/91	SUP	3.48	1.61	1.87	27	31.5	13.67	0.043	0.18	37.95	0.26
	2.5	3	1.34	1.66	26.5	33	14.14	0	0.17	33.41	0.28
	5	2.19	1.27	0.92	26	33.5	13.51	0.022	0.22	35.35	0.28
	10	1.54	0.51	1.03	26	35	14.46	0.022	0.15	26.28	0.35
	15	4.34	1.8	2.54	26	35.5	23.09	0.043	0.25	28.23	0.7
04/04/91	SUP	2.31	1.06	1.25	27	32	12.53	0	0.25	25.96	0.38
	2.5	1.83	1.23	0.6	26.5	32	12.08	0.022	0.23	32.12	0.37
	5	2.85	1.61	1.24	26	35.5	12.82	0.084	0.27	29.16	0.35
	10	2.15	1.02	1.13	26	36	12.14	0.087	0.26	21.1	0.39
	15	3.33	1.06	2.27	26	36.5	17.61	0.066	0.35	23.04	0.58
18/04/91	SUP	2.79	1.28	1.51	26.5	33	11.15	0.022	0.42	23.04	0.59
	2.5	2.88	0.99	1.89	26.5	34.5	37.86	0	0.21	18.51	0.3
	5	1.83	1.12	0.71	26	35	16.86	0	0.28	22.4	0.6
	10	3.62	1.17	2.45	26	35.5	20.02	0	0.31	25.31	0.65
	15	6.37	1.65	4.72	25.5	36.5	21.78	0.022	0.38	44.1	0.68

(Continuação da Tab: 1)

DIATOMÁCEAS DO MICROPLÂNCTON (> 20 µm)

73

Data coleta	Nitzsch. seriata	Nitzsch. delicat.	Nitzsch. pungens	Asterion. glacialis	Thallas. nitzsch.	Thallas. mediter.	Naviculac.	Leptoc. danicus	Leptoc. minimus	Bacteriast. spp.
10/05/90	144000	23800	6500	26400	26200	166	20200	77000	78000	10200
25/05	70000	26000	7720	29800	22400	396	10500	37600	47100	5240
13/06	10500	3440	3740	62200	32800	200	4940	15700	6240	49400
28/06	27800	2340	1300	9780	5800	1540	7100	12400	3220	9080
02/08	8940	948	0	2420	17200	1530	7960	5500	6500	1180
09/08	9120	4100	1430	35800	31600	14800	7920	7060	7840	2500
03/09	751	96	0	7650	5310	3820	5050	1110	2130	325
19/09	32	64	0	9440	7040	0	5620	160	144	0
27/09	128	0	0	3780	8160	0	2540	340	0	784
11/10	680	0	0	832	4260	16	2180	320	32	744
26/10	2230	0	68	1280	12300	125	3050	1320	98	800
13/11	14000	480	472	9020	26800	698	6100	16400	2550	900
29/11	10100	680	1130	8100	9510	0	5800	6280	2480	0
20/12	34000	2200	3400	8500	8800	160	3200	4200	1600	800
10/01/91	8100	2360	96	32300	21000	0	7400	4840	0	0
23/01	15200	7120	240	11200	19200	904	5880	6700	112	264
20/02	24600	7660	2400	19400	5980	16	3700	37800	0	312
11/03	22100	8010	2530	31500	6410	0	8650	40100	1210	111
19/03	26800	2310	4650	32400	7200	418	9640	38200	3140	272
04/04	12400	2700	368	3900	2580	480	4820	18600	5990	2680
18/04	24500	936	4580	5310	1810	240	7640	18500	5360	7060

DIATOMÁCEAS DO MICROPLÂNCTON (> 20 µm)

Data coleta	Chaetoc. spp.	Skelet. costatum	Schrod. delicat.	Lauder. borealis	Cerat. bergonii	Rhizosol. fragilis	Rhizosol. delicat.	Rhizosol. stolterf.	Rhizosol. spp.	Rhizosol. total
10/05	356000	59200	0	7900	7760	11300	8200	24000	4540	48120
25/05	168000	102000	0	4060	2980	13400	5000	67400	3920	89720
13/06	141000	49400	0	14200	2740	10500	2980	15800	2340	31620
28/06	86200	22400	0	2260	2860	9860	4440	16600	3140	34060
02/08	114000	126000	4060	690	2740	3120	3480	2170	3020	11790
09/08	232000	71000	662	354	4220	7040	9640	4680	4100	25460
03/09	21500	3280	121	0	121	0	2840	6870	210	9920
19/09	10200	2010	80	0	68	0	782	556	960	2308
27/09	8080	14000	872	0	64	0	150	744	48	942
11/10	3840	532	0	0	48	1010	12400	2660	684	16754
26/10	4250	43200	0	0	96	1480	20100	5360	1210	28170
13/11	83400	139000	144	1180	3440	1630	11200	10500	4240	27570
29/11	31200	5600	0	1210	1180	3210	3450	3640	1310	11610
20/12	20000	4100	0	0	2180	4310	640	640	1200	6790
10/01	4360	3760	0	180	4260	6360	702	3400	1010	11472
23/01	74400	14700	0	0	5760	11000	163	8080	4800	24043
20/02	65000	47000	0	642	5560	26400	2810	13000	1540	43750
11/03	122000	51000	0	315	10600	11800	1230	17000	3260	33310
19/03	14000	69400	0	948	17400	10600	1840	19000	4600	36240
04/04	26000	17500	0	6400	3380	4560	4200	29000	2840	40600
18/04	55200	39000	0	5200	8940	11900	4340	16000	4640	36880

TAB. 2 : CONCENTRAÇÕES MÉDIAS (CELS/L) DAS DIATOMÁCEAS DO MICROPLÂNCTON (> 20 µm).

DIATOMÁCEAS DO MICROPLÂNTON
(> 20 µm)DIATOMÁCEAS DO NANOPLÂNTON
(10 - 20 µm)DIATOMÁCEAS DO NANOPLÂNTON
(5 - 10 µm)

74

Data coleta	Centrales	Pennales	Total	Centrales	Pennales	Total	Total
10/05/90	679260	282670	961930	17000	35200	52200	17420
25/05	483700	198980	682680	7050	22900	29950	21000
13/06	360900	157420	518320	3860	34800	38660	21400
28/06	196450	64660	261110	2580	9960	12540	2680
02/08	294760	58540	353300	5640	8620	14260	7280
09/08	444850	118070	562920	3920	17600	21520	5080
03/09	61907	29787	91694	7520	24600	32120	6350
19/09	39906	28396	68302	15400	38600	54000	7980
27/09	43482	18228	61710	5460	22200	27660	2160
11/10	45070	10148	55218	3220	3240	6460	0
26/10	118034	21393	139427	4220	5180	9400	1000
13/11	317340	61490	376830	16000	13100	29100	1060
29/11	89360	40560	129920	21000	11000	32000	1300
20/12	45180	65160	110340	5400	21000	26400	39000
10/01/91	48270	92556	140826	17900	52200	70100	28900
23/01	140170	74540	214710	6420	17000	23420	26200
20/02	219760	72616	292376	2160	8580	10740	15900
11/03	275090	91500	366590	3650	13800	17450	21300
19/03	322000	96618	418618	4880	10200	15080	17600
04/04	137350	34348	171698	6340	8280	14620	25300
18/04	146230	48876	195106	8480	4540	13020	2140

MICROPLÂNTON (> 20 µm)

Data coleta	Dinofl. tecados	Dinofl. atecados	Gymnod. sp.	Gyrod. total	Dinofl. Coccolit.	Silicofl.	Cyanoph.	Eugl.	Ciliados *	Tintinni.	Ciliados total
10/05/90	1180	932	3180	1220	6512	1080	1100	834	216	1280	488 1768
25/05	1160	852	2780	876	5688	336	584	1580	96	3200	684 3884
13/06	1860	848	4240	1580	8528	32	2560	1480	312	2620	824 3444
28/06	1760	944	4700	556	7960	128	208	448	32	2460	360 2820
02/08	2920	732	7780	1210	12642	64	624	136	46	2600	590 3190
09/08	2600	660	5140	724	9124	158	1960	244	64	2120	764 2884
03/09	1380	421	3850	828	6479	0	855	343	0	3010	803 3813
19/09	1260	336	3560	360	5516	0	796	336	0	3510	784 4294
27/09	2460	280	4100	128	6968	0	428	304	272	3740	1350 5090
11/10	856	96	3060	224	4236	0	224	416	144	1840	672 2512
26/10	743	131	2820	211	3905	0	314	816	121	2580	743 3323
13/11	1180	96	2700	80	4056	0	512	2600	176	2740	808 3548
29/11	1030	101	3150	96	4377	32	224	2430	132	1850	655 2505
20/12	800	80	2100	160	3140	160	160	1600	400	1600	480 2080
10/01/91	984	96	3260	96	4436	2020	1140	2580	224	2400	336 2736
23/01	1400	480	4680	1960	8520	6920	752	1520	208	2060	1380 3440
20/02	1250	632	3180	1780	6842	2040	16	560	128	1380	480 1860
11/03	1850	781	4150	1010	7791	4450	0	798	168	1110	323 1433
19/03	1940	780	4320	720	7760	5540	48	864	176	2100	288 2388
04/04	1920	648	3960	616	7144	2220	32	968	464	1420	160 1580
18/04	1800	644	5760	288	8492	368	0	1030	226	3180	304 3484

TAB. 3: CONCENTRAÇÕES MÉDIAS (CELS/L) DOS GRUPOS DE DIATOMÁCEAS POR CATEGORIA DE TAMANHO, E DOS OUTROS GRUPOS DO MICROPLÂNTON, DURANTE O PERÍODO AMOSTRADO.

NANOPLÂNTON (10 - 20 μm)

75

Data coleta	Coccolit. (4-12 μm)	Dinofl. *	Gymnodin.	Dinofl. Total	Cryptoph.	Flagel.	Diatomac.
						outros	
10/05/90	69200	3210	22500	25710	5250	8550	52100
25/05	102000	3850	29800	33650	4390	12600	29800
13/06	84000	7220	36200	43420	13900	17300	74600
28/06	46400	7500	29000	36500	11500	16100	12500
02/08	8960	17500	40800	58300	9080	19300	14000
09/08	6980	14900	16400	31300	7960	12300	22400
03/09	7350	4800	32100	36900	9840	7860	32100
19/09	12500	2700	24000	26700	22000	6970	54000
27/09	8620	2160	23600	25760	9340	10700	28000
11/10	11000	5380	20600	25980	9540	2680	6360
26/10	15800	8160	15600	23760	2650	2650	9400
13/11	34600	5380	17400	22780	0	3130	29000
29/11	31300	3510	28100	31610	0	6010	32000
20/12	230000	2700	27000	29700	0	5360	26000
10/01/91	174000	8640	20900	28640	2540	893	70400
23/01	222000	3240	31200	34440	118000	3220	23200
20/02	102000	6480	13200	19680	540	14700	12200
11/03	108000	2030	15500	17530	1130	6350	17000
19/03	116000	1080	16600	17680	2160	4290	15000
04/04	194000	4800	15700	20500	2700	1070	14600
18/04	107000	4280	29200	33460	4880	7400	13200

NANOPLÂNTON (5 - 10 μm)NANOPLÂNTON
(2 - 5 μm)

Data coleta	Gymnodin.	Cryptoph.	Flagel.	Diatomac. total	Monades/ Flagelad.
			outros		
10/05/90	34200	75500	143000	252700	17420
25/05	42100	68800	168000	278900	21000
13/06	46400	31600	190000	268000	21400
28/06	15500	28200	150000	193700	2680
02/08	44800	39800	284000	368600	7280
09/08	11300	30600	132000	173900	5080
03/09	15800	41500	181000	238300	6350
19/09	16700	83400	194000	294100	7980
27/09	17600	129000	183000	329600	2160
11/10	17800	62600	109000	189400	0
26/10	17400	63500	115000	195900	1000
13/11	24000	43700	111000	178700	1080
29/11	21000	32500	84000	137500	1300
20/12	16000	11000	86000	113000	39000
10/01/91	31600	11200	99400	142200	28900
23/01	32000	31000	64100	127100	26200
20/02	21400	60200	254000	335600	15900
11/03	19900	43300	125000	188200	21300
19/03	21000	51400	94400	166800	17600
04/04	28300	162000	128000	318300	25300
18/04	26800	84400	177000	288200	2140

TAB. 4: CONCENTRAÇÕES MÉDIAS (CELS/L) DOS GRUPOS DO NANOPLÂNTON (10 - 20 μm , 5 - 10 μm E 2 - 5 μm), DURANTE O PERÍODO AMOSTRADO.

NUMERO TOTAL DE CÉLULAS EM DIFERENTES CATEGORIAS DE TAMAÑO

76

Data coleta	Nanoplânc. (2 - 5 µm)	Nanoplânc. (5-10 µm)	Nanoplânc. (10-20 µm)	Nanoplânc. (2 - 20µm)	Microplânc. (> 20 µm)	Plâncton Total
10/05/90	347390	270120	213000	830510	970274	1800784
25/05	278300	299900	182440	760640	690944	1451584
13/06	360000	289400	233200	882600	531202	1413802
28/06	330000	196380	123000	649380	269580	918960
02/08	314000	375880	109640	799520	366820	1166340
09/08	630000	178980	80640	889620	574470	1464090
03/09	691000	244650	126170	1061820	99371	1161191
19/09	816000	302080	122170	1240250	74946	1315196
27/09	698000	331760	82420	1112180	69682	1181862
11/10	218000	203800	55560	477360	60238	537598
26/10	222000	515500	54660	792160	344570	1136730
13/11	242000	179780	89510	511290	386170	897460
29/11	312000	138800	100920	551720	137100	688820
20/12	272000	152000	291060	715060	115800	830860
10/01/91	190000	171100	276400	637500	151220	788720
23/01	260000	153300	418060	831360	232630	1063990
20/02	133000	351500	149120	633620	301966	935586
11/03	145000	209500	150010	504510	378880	883390
19/03	110000	184400	148353	442753	432990	875743
04/04	256000	343600	232870	832470	182520	1014990
18/04	87200	290340	165960	543500	205210	746710

CLOROFILA - A (VALORES MÉDIOS)

DATA COLETA	CLOROF. TOTAL	CLOROF. < 10	CLOROF. > 10	C1.<10 %	C1.>10 %	PLÂNCTON TOTAL
10/5/90	3.06	1.04	2.02	33.99	66.01	1800000
25/05	2.21	1.07	1.14	48.42	51.58	1451000
13/06	3.63	1.56	2.07	42.98	57.02	1413000
28/06	1.41	0.67	0.74	47.52	52.48	918960
02/08	1.61	0.74	0.87	45.96	54.04	1166000
09/08	3.06	1.06	2	34.64	65.36	1464000
03/09	2.76	1.14	1.62	41.3	58.7	1161000
19/09	3.02	1.98	1.04	65.56	34.44	1315000
27/09	2.71	1.9	0.81	70.11	29.89	1160000
11/10	3.16	2.33	0.83	73.73	26.27	537600
26/10	2.13	1.15	0.98	53.99	46.01	572800
13/11	3.21	1.43	1.78	44.55	55.45	897500
29/11	2.13	1.31	0.82	61.5	38.5	688820
20/12	1.76	1.03	0.73	58.52	41.48	830860
10/01/91	2.58	1.72	0.86	66.67	33.33	788700
23/01	2.81	1.34	1.47	47.69	52.31	1064000
20/02	1.83	0.96	0.87	52.46	47.54	935590
11/03	2.51	1.26	1.25	50.2	49.8	1012000
19/03	2.91	1.31	1.6	45.02	54.98	875700
04/04	2.49	1.19	1.3	47.79	52.21	1014000
18/04	3.49	1.24	2.25	35.53	64.47	748700

TAB. 5: CONCENTRAÇÕES MÉDIAS DAS DIFERENTES CATEGORIAS DE TAMAÑO DO FITOPLÂNCTON, E VALORES MÉDIOS E RELATIVOS DE CLOROFILA - A FRACIONADA, DURANTE O PERÍODO AMOSTRADO.

Tabela 6: Relação das espécies identificadas de fitoplâncton total e plâncton de rede. O número ao lado do taxon refere-se ao número de espécies observadas.

Classe Bacillariophyceae

Achnanthes fimbriata (Grunow) Ross
Achnanthes sp.
Actinocyclus ehrenbergii Ralfs
Actinoptychus campanulifer A. Schmidt
Actinoptychus undulatus (Bailey) Ralfs
Amphiprora gigantea Grunow
Amphora arenaria Donkin
Amphora spp.
Anorthoneis eurystoma Cleve
Asterionella glacialis Cleve
Asteromphalus heptactis (Brebisson) Ralfs
Asteromphalus sarchofagus Wallich
Bacillaria paradoxa Gmelin
Bacteriastrum comosum Pavillard
Bacteriastrum delicatulum Cleve
Bacteriastrum hyalinum Lauder
Bacteriastrum hyalinum var. *princeps* (Castracane) Ikari
Bacteriastrum varians Lauder
Biddulphia longicurvis Greville
Biddulphia rhombus (Ehr.) W. Smith
Biddulphia tridens (Ehr.) Ehrenberg
Campylosira cymbeliformis (A. Schmidt) Grunow
Cerataulina bergenii H. Peragallo
Chaetoceros affinis Lauder
Chaetoceros coarctatus Lauder
Chaetoceros compressus Lauder
Chaetoceros costatum Pavillard
Chaetoceros curvisetum Cleve
Chaetoceros danicus Cleve
Chaetoceros debilis Cleve
Chaetoceros decipiens Cleve
Chaetoceros didymus Ehrenberg
Chaetoceros diversus Cleve
Chaetoceros eibenii Grunow
Chaetoceros laevis Leud. Fortmorel
Chaetoceros lauderi Ralfs
Chaetoceros lorenzianus Grunow
Chaetoceros messanensis Castracane
Chaetoceros pendulus Karsten
Chaetoceros peruvianus Brightwell
Chaetoceros socialis Lauder
Chaetoceros spp.
Climacodium frauenfeldianum Grunow
Coccconeis scutellum Ehrenberg
Corethron criophilum Castracane
Coscinodiscus asteromphalus Ehrenberg
Coscinodiscus centralis Ehrenberg

Coscinodiscus curvatus Grunow
Coscinodiscus gigas Ehrenberg
Coscinodiscus jonesianus (Greville) Ostenfeld
Coscinodiscus oculus-iridis Ehrenberg
Coscinodiscus waillesii Gran and Angst
Coscinodiscus spp.
Coscinosira polichorda Gran
Cyclotella stylorum Brightwell
Cymatodiscus planetophorus (Meister) Hendey
Cymatotitzschia marina (Lewis) Simonsen
Cymatotheca weissflogii (Grunow) Hendey
Dactyliosolen antarticus Castracane
Dactyliosolen mediterraneus H. Peragallo
Delphineis surirella (Grunow) Andrews
Delphineis surirella var. *australis* (Grunow) Andrews
Dimerogramma minor (Gregory) Ralfs
Diploneis bombus Ehrenberg
Diploneis crabro (Ehrenberg) Ehrenberg
Diploneis smithii (Brebisson) Cleve
Diploneis weissflogii (A. Schmidt) Cleve
Diploneis sp.
Ditylum brightwellii (West) Grunow
Donkinia reta (Cleve) Cox
Eucampia cornuta (Cleve) Grunow
Eucampia zoodiacus Ehrenberg
Grammatophora marina (Lyngbie) Kutzing
Guinardia flaccida (Castracane) Peragallo
Gyrosigma scalproides (Rabenhorst) Cleve
Hemiaulus hauckii Grunow
Hemiaulus membranaceus Cleve
Hemiaulus sinesis Greville
Hemidiscus cuneiformis Wallich
Lauderia borealis Gran
Leptocylindrus danicus Cleve
Leptocylindrus minimus Gran
Licmophora abbreviata Agardh
Licmophora clevei Hustedt
Lithodesmium undulatum Ehrenberg
Margaritum tenebro (Leud. Fort-Morel) H. Moreira
Mastogloia decussata Grunow
Mastogloia meisterii Hustedt
Mastogloia spp.
Navicula barbara Heiden & Kolbe
Navicula marina Ralfs
Navicula lyra Ehrenberg
Navicula hennedyii Wm. Smith
Navicula spp.
Nitzschia closterium (Ehrenberg) W. Smith
Nitzschia aff. *delicatissima* Cleve
Nitzschia granulata Grunow
Nitzschia longissima (Brebisson) Ralfs
Nitzschia panduriformis Gregory
Nitzschia aff. *pungens* Cleve
Nitzschia aff. *seriata* Cleve

Nitzschia spp.
Odontella aurita (Lyngbie) Simonsen
Odontella mobiliensis (Bailey) Simonsen
Odontella sinensis (Greville) Simonsen
Odontella sp.
Palmeria hardmaniana Greville
Paralia sulcata (Ehrenberg) Kutzning
Pleurosigma diverse-striatum Meister
Pleurosigma intermedium W. Smith
Pleurosigma sp.
Podocystis adriatica Kutzning
Podosira stelliger (J.W. Bailey) Mann
Pseudoeunotia doliolus (Wallich) Grunow
Rhaphoneis amphiceros (Ehrenberg) Cleve
Rhizosolenia alata Brightwell
Rhizosolenia calcar-avis M. Schultze
Rhizosolenia delicatula Cleve
Rhizosolenia fragilissima Bergon
Rhizosolenia hebetata Gran
Rhizosolenia robusta Norman
Rhizosolenia setigera Brightwell
Rhizosolenia stolterfothii H. Peragallo
Rhizosolenia styliformis Brightwell
Schroderella delicatula (H. Peragallo) Favillard
Skeletonema costatum (Greville) Cleve
Stephanopyxis palmeriana (Greville) Grunow
Stephanopyxis turris (Greville) Ralfs
Streptotheca tamensis Schrub
Surirella fastuosa Ehrenberg
Surirella gemma Ehrenberg
Synedra sp.
Thalassionema nitzschiooides Grunow
Thalassiosira decipiens (Grunow) Jorgensen
Thalassiosira eccentrica (Ehrenberg) Cleve
Thalassiosira leptopus Jouse
Thalassiosira oestrupii (Ostenfeld) Hasle
Thalassiosira subtilis (Ostenfeld) Gran
Thalassiosira spp.
Thalassiothrix frauenfeldii Grunow
Thalassiothrix mediterranea Cupp
Trachineis aspera (Ehrenberg) Cleve
Triceratium favus Ehrenberg
Tropidoneis sp.

Classe Dinophyceae

Amphidinium sphenoides Wulff
Amphidinium spp.
Ceratium azoricum Cleve
Ceratium candelabrum (Ehrenberg) Stein
Ceratium furca (Ehrenberg) Claparede & Lachmann
Ceratium fusus (Ehrenberg) Dujardin

Ceratium fusus (Ehrenberg) Dujardin f. *seta*
Ceratium hexacanthum Gourret
Ceratium kofoidii Jorgensen
Ceratium macroceros (Ehrenberg) Vanhoffen
Ceratium pentagonum Gourret
Ceratium aff. petersii Nielson
Ceratium trichoceros (Ehrenberg) Kofoid
Ceratium tripos (O.F. Muller) Nitzsch
Ceratium vultur Cleve
Ceratium sp.
Cochlodinium brandtii Wulff
Cochlodinium sp.
Corithodinium constrictum Stein
Corithodinium tesselatum Stein
Binophysis acuminata Claparede & Lachman
Dinophysis caudata Saville & Kent
Dinophysis rotundata Claparede & Lachman
Dinophysis spp.
Goniiodoma polyedricum (Pouchet) Jorgensen
Gonyaulax fraterculus Balech
Gonyaulax polyedra Stein
Gonyaulax spp. (?)
Gymnodinium aff. splendens Lebour
Gymnodinium spp.
Gyrodinium sp.
Gyrodinium spp.
Katodinium rotundatum (Lohman) Loeblich
Katodinium sp.
Kofoidinium velleloides Favillard
Kofoidinium sp.
Noctiluca scintillans (Macarthy) Kofoid & Swezy
Ornithocercus magnificus Stein
Ornithocercus steinii Stein
Oxyrrhis marina Dujardin
Oxyphysis oxytoxoides Kofoid
Oxytoxum sceptrum Stein
Oxytoxum scolopax Stein
Oxytoxum sp.
Podolampas bipes Stein
Podolampas elegans Schutt
Podolampas palmipes Stein
Podolampas spinifera Okamura
Polykrikos schwarzii Butschli
Polykrikos sp.
Prorocentrum balticum (Lohman) Loeblich
Prorocentrum compressum (Bailey) Abé
Prorocentrum gracile Schutt
Prorocentrum micans Ehrenberg
Prorocentrum minimum (Pavillard) Schiller
Prorocentrum rostratum Stein
Protoperidinium depressum Bailey
Protoperidinium aff. *grande* Kofoid
Protoperidinium longipes Karsten
Protoperidinium oceanicum (Vanhoffen) Balech

Protoperidinium pentagonum Gran
Protoperidinium spp.
Pseliodinium vaubanii Sournia
Pyrocystis lunula (Schutt) Schutt
Pyrocystis noctiluca Murray ex Schutt
Pyrocystis spp.
Pyrophacus horologicum Stein
Schuttiella mitra (Schutt) Balech
Scrippsiella (trochoidea (Stein) Loeblich?*)*
Spatulodinium pseudonoctiluca (Pouchet) Cachon & Cachon
Torodinium robustum Kofoid & Swezy

Classe Haptophyceae (Coccolitophoridae)

Anoplosolenia sp.
Antosphaera sp.
Calciopapus sp.
Calciosolenia sp.
Corisphaera sp.
Crycosphaera sp.
Emiliania huxleyi (Lohman) Hay et Moller
Gephyrocapsa oceanica Kamptner (?)
Helicosphaera carterae (Wallich) Kamptner
Umbilichosphaera sibogae (Weber van Bosse) Gaarder

Classe Chrysophyceae

Dictyocha fibula Ehrenberg
Distephanus speculum (Ehrenberg) Haeckel
Ebria tripartita (Schumann) Lemmermann
Hermesinum adriaticum Zacharias

Classe Cyanophyceae

Anabaena sp.
Merismopedia sp.
Trichodesmium sp.

Phylum Ciliophora (Ciliados)

Didinium spp.
Laboea sp.
Lohmaniella sp.
Mesodinium spp.
Strobilidium sp.
Strombidium sp.

Sub-ordem Tintinnina

- Amphorella brandtii* Jorgensen
Amphorella sp.
Amphorelopsis acantharus Kofoid & Campbell
Amphorelopsis aff. *acuta* Schmidt
Amphorides amphora (Claparede & Lachman) Strand
Amphorides quadrilineata (Claparede & Lachman) Strand
Codonaria sp.
Codonelopsis murchela (Cleve) Jorgensen
Codonelopsis schabii (Brandt) Kofoid & Campbell
Codonelopsis sp.
Dadayella ganimedes (Entz) Kofoid & Campbell
Dictiocysta spp. (2)
Eutintinnus tenuis (Kofoid & Campbell) Kofoid & Campbell
Eutintinnus turris Kofoid & Campbell
Eutintinnus spp. (2)
Favella ehrenbergii (Claparede & Lachman) Jorgensen
Helicostomella subulata (Ehrenberg) Jorgensen
Leprotintinnus nordqvistii Brandt
Metacylis annulifera (Ostenfeld & Schmid) Kofoid & Campbell
Salpingella aff. *subconica* Kofoid & Campbell
Salpingella spp. (2)
Stylicauda platensis (Cunha & Fonseca) Balech
Tintinnopsis aperta Brandt
Tintinnopsis brasiliensis Kofoid & Campbell
Tintinnopsis buetschlii Daday
Tintinnopsis aff. *directa* Hada
Tintinnopsis aff. *nana* Lohman
Tintinnopsis tocantinensis Kofoid & Campbell
Tintinnopsis spp. (4)
Tintinídeos não identificados (12)

8. REFERÊNCIAS BIBLIOGRÁFICAS

- AIDAR,E. 1970. O fitoplâncton da Baía de Paranaguá. *Relatório da SUDEPE*; 14pp.
- AIDAR-ARAGÃO,E.; TEIXEIRA,C. E VIEIRA,A.A.H. 1980. Produção primária e concentração de clorofila-a na costa brasileira (Lat.22°31' S - Long.41°52' W a Lat.28°43' S - Long.47°57' W). *Bolm.Inst.oceanogr.*,São Paulo,29(2):9-14.
- AZAM, F.; FENCHEL,T.; FIELD,J.G.; GRAY,J.S.; MEYER-REIL,L.A. and THINGSTAD,F. 1983. The ecological role of water-column microbes in the sea. *Mar.EcolProg.Ser.* 10:257-263.
- BALECH,E. 1962. Tintinninea y dinoflagellata del Pacífico, segun material de las expediciones Norpac y Downwind del Instituto Scripps de Oceanografía. *Rev.Mus.Argent.Cienc.Natur.,Cienç.Zoolog.* 7(1):1-253.
- _____. 1988. Los dinoflagelados del Atlántico Sudoccidental. *Publ.Esp.Inst.Espanhol Oceanogr.* 1; 310pp.
- BEERS,J.R.; REID,F.M.H. and STEWART,G.L. 1975. Microplankton of the North Pacific Central Gire: population structure and abundance, June 1973. *Int.Revue ges Hydrobiol.* 60(5):607-638.
- BRANDINI,F.P. 1985. Seasonal succession of the phytoplankton in the bay of Paranaguá (Paraná state - Brazil). *Rev.brasil.Biol.* 45(4):687-694.
- _____. 1985a. Ecological studies in the bay of Paranaguá. I. Horizontal distribution and seasonal dynamics of the phytoplankton. *Bolm.Inst.oceanogr.São Paulo* 33(2):139-147.
- _____. & MORAES,C.L.B. 1986. Composição e distribuição do fitoplâncton em áreas costeiras e oceânicas da região sudeste do Brasil. *Nerítica* 1(3):9-19.
- _____. 1988. Composição e distribuição do fitoplâncton na região sudeste do Brasil e suas relações com as massas de água (Operação Sueste - julho/agosto-1982). *C.Cult.* 40(4):334-341.
- _____. 1988a. Hydrography, phytoplankton biomass and photosynthesis in shelf and oceanic waters off southeastern Brazil during autumn (may/june-1983). *Bolm.Inst.oceanogr.São Paulo* 3:63-72.
- _____.; THAMM,C.A. and VENTURA,I. 1988. Ecological studies in the bay of Paranaguá. III- Seasonal and spatial variations of nutrients and chlorophyll-a. *Nerítica* 3(1):1-30.

- ; MORAES,C.L.B. and THAMM,C.A.C. 1989. Shelf break upwelling, subsurface maxima of chlorophyll and nitrite, and vertical distribution of a subtropical nano- and microplankton community off southeastern Brazil (november 1985). In: BRANDINI,F.P. (ed.) 1989. *Memórias do III. encontro brasileiro de plâncton*. Curitiba, :47-55.
- 1990. Hydrography and characteristics of the phytoplankton in shelf and oceanic waters off southeastern Brazil during winter (july/august-1982) and summer (february/march-1984). *Hydrobiol.* 196:111-148.
- 1990a. Produção primária e características fotosintéticas do fitoplâncton na região Sueste do Brasil. *Bolm. Inst.oceanogr.*,São Paulo,38(2):147-159.
- BUTCHER,R.W. 1959. An introductory account of the smaller algae of british coastal waters. I. Introduction and Chlorophyceae. *Fish.Invest.Ser.4*, London; :1-74.
- 1961. An introductory account of the smaller algae of british coastal waters. VIII. Euglenophyceae, Euglenineae. *Fish.Invest.Ser.4*, London; :1-17.
- 1967. An introductory account of the smaller algae of british coastal waters. IV. Cryptophyceae. *Fish.Invest. Ser.4*, London; :1-54.
- CIOTTI,A.M. 1990. Fitoplâncton da plataforma continental do sul do Brasil: clorofila-a, feopigmentos e análise preliminar da produção primária (out./1987 e set./1988). Rio Grande, 1990, 86pp.; dissertação de mestrado FURG.
- CLOERN,J.E. 1987. Turbidity as a control on phytoplankton biomass and productivity in estuaries. *Contin.Shelf Res.* 7(11/12) :1367-1381.
- CUPP,E. 1943. Marine plankton diatoms of the west coast of North America. *Bull.Scripps Inst.Oceanogr.* Berkeley,5(1):1-238.
- DOBZHANSKY,T. 1973. *Genética do processo evolutivo*. Ed.Polígrono, São Paulo, 453pp.
- DODGE,J.D. 1982. *Marine dinoflagellates of the British Isles*. Her Majesty's Sta. Off. 303pp.
- DOERING,E.G. 1989. On the contribuition of the benthos to pelagic production. *J.Mar.Res.* 47:371-383.
- DURBIN,E.G.; KRAWIEC,R.W. and SMAYDA,T.J. 1975. Seasonal studies on the relative importance of different size fractions of phytoplankton in Narragansett Bay (USA). *Mar.Biol.* 32:271-287.

- EMILSSON, I. 1961. The shelf and coastal waters off the southern Brazil. *Bolm. Inst. oceanogr. São Paulo* 11(2):101-112.
- EPPELEY, R.W.; ROGES, J.N. and McCARTHY, J.J. 1969. Half-saturation constants for uptake of nitrate and ammonium by marine phytoplankton. *Limnol. Oceanogr.* 14:912-920.
- ESTRADA, M.; MARRASÉ, C. and ALCARAZ, M. 1988. Phytoplankton response to intermittent stirring and nutrient addition in marine mesocosmos. *Mar. Ecol. Prog. Ser.* 48:225-234.
- FENCHEL, T. 1988. Marine plankton food chains. *Ann. Rev. Ecol. Syst.* 19:19-38.
- FERREIRA DA SILVA, L.C.; ALBUQUERQUE, C.A.M.; CAVALHEIRO, W.W. E HANSEN, C.M.P. 1984. Gabarito tentativo para as massas de água da costa sudeste brasileira. *Anais Hidrogr. DHN*, XLI:263-309.
- FLINT, R.W. 1984. Phytoplankton production in Corpus Christi Bay estuary. *Contrib. Mar. Scien.* 27:65-83.
- FLINT, R.W. and KAMIAKOWSKI, D. 1984. Benthic nutrient regeneration in South Texas coastal waters. *Estuar. Coast. Shelf Sci.* 18:221-230.
- FRENCH, D.P.; FURNAS, M.J. and SMAYDA, T.J. 1983. Diel changes in nitrite concentration in the chlorophyll maximum in the Gulf of Mexico. *Deep-Sea Res.* 30(7A):707-722.
- FURNAS, M.J. 1983. Community structure, biomass and productivity of size fractionated summer phytoplankton populations in lower Narragansett Bay, Rhode Island. *J. Plankton Res.* 5(5):637-655.
- HALLEGRAEFF, G.M. 1981. Seasonal study of phytoplankton pigments and species at a coastal station off Sidney: importance of diatoms and nanoplankton. *Mar. biol.* 61:107-118.
- _____. 1984. Coccolithophorids (calcareous nanoplankton) from Australian waters. *Bot. Mar.* 27(6):229-247.
- HALLEGRAEFF, G.M. and REID, D.D. 1986. Phytoplankton species successions and their hydrological environment at a coastal station off Sidney. *Aust. J. Mar. Freshw. Res.* 37(3):361-277.
- HASLE, G.R. 1978. Using the inverted microscopy. In: SOURNIA, A. (ed.) 1978. Phytoplankton manual. *Monogr. oceanogr. methodol.* 6; UNESCO, Paris :191-196.
- HASLE, G.R. and FRYXELL, G.A. 1970. Diatoms: cleaning and mounting for light and electron microscopy. *Trans. Am. microsc. Soc.* 89(4):469-474.
- HAYWARD, T.L. and MCGOWAN, J.A. 1985. Spatial patterns of chlorophyll, primary production, macrozooplankton biomass, and

- physical structure in the central North Pacific. *J. Plankton Res.* 7:147-167.
- HEIMDAL,B.R. and GAARDER,K.R. 1980. Coccolithophorids from the northern part of the eastern central Atlantic. I. Holo-coccolithophorides. "Meteor" Forsch.-Ergebn.(D)32:1-34.
- HEIMDAL,B.R. and GAARDER,K.R. 1980. Coccolithophorids from the northern part of the eastern central Atlantic. II. Hetero-coccolithophorides. "Meteor" Forsch.-Ergebn.(D)33:37-69.
- HENDEY,N.I. 1964. An introductory account of smaller algae of British coastal waters. London; Her Majestys sta. off., 317pp..
- HIBERD,D.J. 1976. The ultrastructure and taxonomy of the Chrysophyceae and Prymnesiophyceae (Haptophyceae): a survey with some new observations on the ultrastructure of the Chrysophyceae. *Botan.J.Linnean Soc.* 72:55-80.
- HOLM-HANSEN,O. and RIEMANN,B. 1978. Chlorophyll-a determination: improvements in methodology. *Oikos* 30(3):438-447.
- HOPCROFT,R.R. and ROFF,J.C. 1990. Phytoplankton size fractions in a tropical neritic ecosystem near Kingston, Jamaica. *J. Plankton Res.* 12(5):1069-1088.
- HUBOLD,G. 1980a. Hydrography and plankton off Southern Brazil and Rio de la Plata; august-november 1977. *Atlantica* 4:1-21.
- _____. 1980b. Second report on Hydrography and plankton off Southern Brazil and Rio de la Plata; autumn cruise: april-june 1978. *Atlantica* 4:23-42.
- HULBURT,E.M. 1983. The capacity for change and unpredictability of the phytoplankton of the east coast of the United States. *J. Plankton Res.* 5(1):35-42.
- HULBURT,E.M. and CORWIN,N. 1969. Influence of the Amazon River overflow on the ecology of the western tropical Atlantic. III: The planktonic flora between the Amazon River and Windward Islands. *J. Mar. Res.* 27:55-72.
- HULBURT,E.M. and CORWIN,N. 1970. Relation of phytoplankton to turbulence and nutrient renewal in Casco Bay, Maine. *J. Fish. Res. Board Canada* 27:2081-2090.
- HUSTEDT,F. 1930-1966. Die kieselalgen. In: *Rabenhorst kryptogamen flora von Deutschland, Österreich und Schweiz*. 7.
- JEFFREY,S.W. and HUMPHREY,G.F. 1975. New spectrophotometric equations for determining chlorophylls a,b,c, and c₁ in higher plants, algae and natural phytoplankton. *Biochem.Physiolog. Pflanzen* 167:191-194.

- KARENTZ,D. and SMAYDA,T.J. 1984. Temperature and seasonal occurrence patterns of 30 dominant phytoplankton species in Narragansett Bay over a 22-years period (1959-1980). *Mar.Ecol.Prog.Ser.* 18:277-293.
- KNOPPERS,B.A.; BRANDINI,F.P. and THAMM,C.A. 1987. Ecological studies in the bay of Paranaguá. II. Some physical and chemical characteristics. *Nerítica* 2(1):1-36.
- KUTNER,M.B. 1972. Variação estacional e distribuição do fitoplâncton na região de Cananéia. Tese de doutorado. Univ. de São Paulo, Inst. de biociências; 104pp.
- MAACK,R. 1981. *Geografia física do estado do Paraná*. Ed. José Olympio/Secr.Cult.Esporte do estado do Paraná. 450pp..
- MACENO-SILVA,J.R.B. 1991. Características do fitoplâncton e hidrografia na plataforma continental e região oceânica do estado de Santa Catarina. Tese de mestrado, UFPR; 84pp..
- MAEDA,M. and CAREY,P.G. 1985. An illustrated guide to the species of the Family Strombidiidae (Oligotrichida-Ciliophora), free swimming Protozoa common in the aquatic environment. *Bull.Ocean Res.Inst.Univ.Tokyo* 19, 68pp.
- 1986. An illustrated guide to the species of the Families Halteriidae Strobilidiidae (Oligotrichida-Ciliophora), free swimming Protozoa common in the aquatic environment. *Bull. Ocean Res.Inst.Univ.Tokyo* 21, 67pp.
- MALONE,T.C. 1971. The relative importance of nannoplankton and netplankton as primary producers in tropical oceanic and neritic phytoplankton communities. *Limnol.Oceanogr.* 16:633-639.
- 1971a. The relative importance of nannoplankton and netplankton as primary producers in the California Current system. *Fish.Bull.U.S.* 69:799-820.
- 1980. Algal size. In: MORRIS,I. (ed.) 1980. *The physiological ecology of phytoplankton. Studies in ecology* 7. Blackwell Scient.Publ., London, :433-463.
- MARGALEF,R. 1978. Life-forms of phytoplankton as survival alternatives in unstable environment. *Oceanol.Acta* 1(4):493-509.
- 1978a. Sampling designs (Some examples). In: SOURNIA,A.(ed.): *Phytoplankton manual. Monogr.Oceanogr.Methodol.* 6, UNESCO, Paris. :17-31.
- MARSHALL,H.G. 1978. Phytoplankton distribution along the eastern coast of the USA. Part II: seasonal assemblages north of Cape Hatteras, North Caroline. *Mar.Biol.* 45:203-208.

- MARSHALL,H.G. and RANASINGHE,J.A. 1989. Phytoplankton distribution along the eastern coast of the USA. Part VII: mean cell concentrations and standing crop. *Contin.Shelf Res.* 6(2):153-164.
- MATSUURA,Y. 1986. Contribuição ao estudo da estrutura oceanográfica entre Cabo Frio (RJ) e Cabo de Santa Marta Grande (SC). *Ci.Cult.* 38(8):1439-1450.
- MATTA,J.F. and MARSHALL,H.G. 1984. A multivariate analysis of phytoplankton assemblages in the western North Atlantic. *J.Planckton Res.* 8(4):663-675.
- MAYR,E. 1977. Populações, espécies e evolução. Série **Biblioteca Universitária**, vol.5, Comp.Ed.Nac.EDUSP; 485pp.
- MCCARTHY,J.J.; TAYLOR,W.R. and LOFTUS,M.E. 1974. Significance of nanoplankton in the Chesapeake Bay estuary and problems associated with the measurement of nanoplankton productivity. *Mar.Biol.* 24:7-16.
- McARTHY,J.J. 1980. Nitrogen. In: MORRIS,I. (ed.) 1980. *The physiological ecology of phytoplankton. Studies in ecology* 7. Blackwell Scient.Publ., London, :191-234.
- MESQUITA,H.S.L. 1983. Suspended particulate organic carbon and phytoplankton in the Cananeia Estuary (25° S/ 48° W). *Oceanogr.Trop.* 18(1):55-68.
- MIRANDA,L.B. 1982. Análise de massas de água da plataforma continental e da região oceânica adjacente: Cabo de São Tomé (RJ) á ilha de São Sebastião (SP). Tese de livre-docência. Universidade de São Paulo, Inst. Oceanogr..
- MOREIRA FILHO,H. 1961. Diatomáceas da Baía de Guaratuba (Paraná-Brasil) (Chrysophyta - Bacillariophyceae). *Bolm.Univ.Fed.Paraná,Botânica* 3:1-35.
- MOREIRA FILHO,H.; MOREIRA,I.M.V. E CECY,I.I.T. 1975. Diatomáceas da Baía de Paranaguá (estado do Paraná - Brasil). *Bolm.Mus.Bot.Municipal* 20:1-24.
- MOREIRA,I.M.V. E MOREIRA,H. 1978. Diatomáceas litorais e planctônicas de dezessete estações localizadas entre Ubatuba e Florianópolis, estado de Santa Catarina, Brasil. *Acta Biol.Paranaense* 7:3-16.
- MOREIRA,I.M.V. E MOREIRA FILHO,H. 1981. Diatomáceas de Pontal do Sul, município de Paranaguá, estado do Paraná, Brasil. (Chrysophyta- Bacillariophyceae). *Phycol.Lat.-americ.* 1:156-185.
- MUNK,W.H. and RILEY,G.A. 1952. Absorption of nutrients by aquatic plants. *J.Mar.Res.* 11:215-240.

- NIMER,E. 1990. Clima. In: *Geografia do Brasil*. Vol.2: Região Sul. IBGE; :151-187.
- OLSON,R.J. 1981. Differential photoinhibition of marine nitrifying bacteria, a possible mechanism for the formation of the primary nitrite maximum. *J.Mar.Res.* 39:227-238.
- PEINERT,R.; SAURE,A.; STEGMAN,P.; STIENEN,C.; HAARDT,H. and SMETACEK,V. 1982. Dynamics of primary production and sedimentation in a coastal ecosystem. *Neth.Sea Res.* 16:276-289.
- PENA,M.A.; LEWIS,M.A. and HARRISON,G.W. 1990. Primary productivity and size structure of phytoplankton biomass on a transect of the Equator at 135°W in the Pacific Ocean. *Deep-Sea Res.* 37(2):295-315.
- PLATT,T. and DENMANN,K. 1980. Patchiness in phytoplankton distribution. In: MORRIS,I. (ed.) 1980. *The physiological ecology of phytoplankton. Studies in ecology* 7. Blackwell Scient.Publ., London, :413-431.
- POMEROY,L.R. 1974. The ocean's food web: A changing paradigm. *BioScienc.* 24:499-504.
- POOLE,H.H. and ATKINS,W.R.G. 1929. Photo-electric measurements of submarine illumination throughout the year. *Mar.Biol.Assn.U.K. J.* 16:297-324.
- REBELLO,J. E BRANDINI,F.P. 1990. Variação temporal de parâmetros hidrográficos e material particulado em dois pontos fixos na baía de Paranaguá (junho/87-fevereiro/88). *Nerítica* 5(1):95-111.
- REVELANTE,N. and GILMARTIN,N. 1976. The effect of Po River discharge on phytoplankton dynamics in the Northern Adriatic Sea. *Mar.Biol.* 34:259-271.
- REZENDE,K.R.V. E BRANDINI,F.P. 1989. Variação temporal do nano- e microplancton em um ponto fixo da praia de Pontal do Sul (Paraná). In: *Resumos do IVº encontro brasileiro de plancton*. Univ.Fed.Pernambuco; :42.
- RICARD,M. 1987. Diatomophycées. In: SOURNIA,A. (ed.) 1987. *Atlas du phytoplankton marin*. Vol.2. Ed.CNRS, Paris, 297pp.
- ROWE,G.T.; CLIFFORD,C.H.; SMITH,K.L. and HAMILTON,P.L. 1975. Benthic nutrient regeneration and its coupling to primary productivity in coastal waters. *Nature* 225:215-217.
- SASSI,R. E KUTNER,M.B.B. 1982. Variação sazonal do fitoplâncton da região do Saco da Ribeira (lat.23°30' S; long.45°07' W), Ubatuba, Brasil. *Bolm.Inst.Oceanogr.USP* 31(2):29-42.

- _____. 1987. Fitoplâncton da formação recifal da Ponta do Seixas (lat. $7^{\circ}9'16''S$, long. $34^{\circ}47'35''W$), estado da Paraíba, Brasil: Composição, ciclo anual e alguns aspectos fisioecológicos. Tese de doutorado, IIOUSP, São Paulo; 163pp..
- SCHILLER,J. 1933. Dinoflagellatae. Vol.10, III,pt.1. In: Rabenhorst's Kryptogamenflora; Leipzig.
- SCOTT,B.D. 1979. Seasonal variations of phytoplankton production in an estuary in relation to coastal waters movements. *Austr.J. Mar.Freshw.Res.* 30(4):449-461.
- SHERR,B.F. and SHERR,E.B. and HOPKINSON,C.S. 1988. Trophic interactions within pelagic microbial communities: indications of feedback regulations of carbon flow. *Hydrobiol.* 159:19-26.
- SHERR,E. and SHERR,B. 1988. Role of microbes in pelagic food webs: a revised concept. *Limnol.Oceanogr.* 33(5):1225-1227.
- SIEBURTH, J.McN.; SMETACEK,V. and LENZ,J. 1978. Pelagic ecosystem structure: heterotrophic compartments of the plankton and their relationships to plankton size fractions. *Limnol.Oceanogr.* 23(6):1256-1263.
- SINCLAIR,M. 1978. Summer phytoplankton variability in the lower Saint-Lawrence estuary. *J.Fish.Res.Board Canada* 35:1171-1185.
- SINCLAIR,M.; SUBBA RAO,D.V. and COUTURE,R. 1981. Phytoplankton distribution in estuaries. *Oceanol.Acta* 4(2):239-246.
- SMAYDA,T.J. 1973. The growth of *Skeletonema costatum* during a winter spring bloom in Narragansett Bay, Rhode Island. *Norw.J. Bot.* 20:219-247.
- _____. 1980. Phytoplankton species succession. In: MORRIS,I. (ED.) 1980. The physiological ecology of phytoplankton. *Studies in ecology* 7. Blackwell Scient.Publ. :493-570.
- SMETACEK,V. 1985. The annual cycle of Kiel Bight plankton: a long-term analysis. *Estuaries* 8(2a):145-157.
- _____. 1985a. Role of sinking in diatom life-history cycles: ecological, evolutionary and geological significance. *Mar.Biol.* 84:239-251.
- _____. 1988. Plankton characteristics. In: POSTMA,H. and ZIJLSTRA,J.J. (eds.): *Ecosystems of the world*. Vol.2: Continental shelves. Elsevier, Amsterdam; :93-130.
- SOARES,L.F.S. 1983. Estudo do fitoplâncton de águas costeiras e oceânicas de Cabo Frio - RJ ($23^{\circ}31'S$ e $41^{\circ}52'W$) até o cabo Santa Marta Grande - SC ($28^{\circ}43'S$ e $47^{\circ}57'W$). Tese de mestrado, São Paulo, IIOUSP; 118pp..

- SOURNIA,A. 1969. Cycle annuel du phytoplancton et de la production primaire dans le mers tropicales. *Mar.Biol.* 3:287-303.
- _____. 1982. Is there a shade flora in the marine phytoplankton? *J.Planckton Res.* 4(2):391-399.
- _____. 1986. Introduction, Cyanophycées, Dictyophycées, Dinophycées et Raphydophycées. In: SOURNIA,A. (ed.) 1986. *Atlas du Phytoplankton marin*. Vol.1 Ed. CNRS, Paris; 219pp..
- SOUTO,S. 1981. Tintinnina. In: BOLTOVSKOY,D. (ed.) 1981. *Atlas del zooplancton del Atlantico sudoccidental y metodos de trabajo con el zooplancton marino*. INIDEP, :353-381.
- STRICKLAND,J.D.H. and PARSONS,T.R. 1972. A practical handbook of seawater analysis. 2nd. ed.. *Bull.Fish.Res.Bd.Canada* 122:1-172.
- STEEMANN-NIELSEN,E. 1964. On a complication in marine productivity work due to the influence of ultraviolet light. *J.Cons.Int.Explor.Mer.* 39:130-135.
- _____. 1975. Marine photosynthesis with emphasis on the ecological aspects. *Elsevier Oceanogr.Ser.* 13, New York; 141pp.
- SVERDRUP,H.V., JOHNSON,M.W. and FLEMING,R.H. 1942. *The oceans, their physics, chemistry and general biology*. Prentice Hall, New York. 1087pp..
- SUBBA RAO,D.V. and SMITH,S.J. 1987. Temporal variation of size-fractionated primary production in Bedford Basin during the spring bloom. *Oceanol.Acta* 10(1):101-109.
- SUZUKI,M.T.; KOLM,H.E. E BRANDINI,F.P. 1990. Distribuição vertical do pico- e nanoplâncton no canal da Galheta (Paraná) maio/junho,1990. In: *Resumos do IV encontro brasileiro de plâncton*. Recife, UFPE; 118pp.
- TEIXEIRA,C. 1963. Relative rates of photosynthesis and standing stock of the net phytoplankton and nannophytoplankton. *Bolm.Inst.Oceanogr.USP* (13):53-60.
- _____.; TUNDISI,J. and SANTORO,J. 1967. Plankton studies in a mangrove environment. IV: Size fractionation of the phytoplankton. *Bolm.Inst.Oceanogr.USP* 16(1):39-42.
- THRONDSEN,J. 1969. Flagellates of the Norwegian coastal waters. *Nyt.Mag.Bot.* 16:161-216.
- _____. 1978. Preservation and storage. In: SOURNIA,A.(ed.): *Phytoplankton manual. Monogr.Oceanogr.Methodol.* 6, UNESCO, Paris; :69-74.

- 1978. Productivity and abundance of ultra- and nanoplankton in Oslofjorden. *Sarsia* 63:273-284.
- 1983. Ultra- and nanoplankton flagellates from coastal waters of Southern Honshu and Kyushu, Japan (including some results from the western part of the Kuroshio off Honshu). Tokyo, 61pp..
- TUNDISI,J.G. 1971. Size distribution of the phytoplankton and its ecological significance in tropical waters. In: COSTLOW,J.D. (ed.) 1971. *Fertility of the sea*. Vol.2.Gordon and Breach Scien.Pub.Inc.,New York. :603-612.
- TUNDISI,J.G.; TUNDISI,T.M. and KUTNER,M.B. 1973. Plankton studies in a mangrove environment. VII: Further investigations on primary production, standing-stock of phyto- and zooplankton and some environmental factors. *Inst.Revue ges Hydrobiol.* 58(6):925-940.
- TUNDISI,J.G.; TEIXEIRA,C.; TUNDISI,T.M. and KUTNER,M.B. 1978. Plankton studies in a mangrove environment. IX: Comparative investigations with coastal oligotrophic waters. *Rev.Brasil. Biol.* 38(2):301-320.
- UTERMOHL,H. 1958. Zur vervolkommung der quantitativen phytoplankton. *Methodik.Mitt.Ver.theor.Limnol.* 9:1-38.
- VENRICK,E.L. 1978. How many cells to count? In: SOURNIA,A.(ed.): *Phytoplankton manual. Monogr.Oceanogr.Methodol.* 6, UNESCO, Paris,:167-180.
- 1982. Phytoplankton in an oligotrophic ocean: observations and questions. *Ecol.Monogr.* 52:129-154.
- 1988. The vertical distribution of chlorophyll and phytoplankton species in the North Pacific Central environment. *J.Plankton Res.* 10(5):987-998.
- 1990. Phytoplankton in an oligotrophic ocean: species structure and interannual variability. *Ecology* 71(4):1547-1562.
- VILLAC,M.C. 1990. O fitoplâncton como um instrumento de diagnose e monitoramento ambiental: um estudo de caso da Baía de Guanabara (RJ,Brasil). Tese de mestrado, UFRJ, Rio de Janeiro; 193pp.
- WALSH,J.J. 1980. Shelf-sea ecosystems. In: LONGHURST,A.R. 1980. *Analisis of marine ecosystems*. Academic press; New York, :159-196.
- WATLING,L.; BOTTOM,D.; PEMBROKE,A. and MAURER,D. 1979. Seasonal variations in Delaware Bay phytoplankton community structure. *Mar.Biol.* 52:207-215.

- WOOD, E.J.F.; HOLMES, R. and SMAYDA, T. 1971. Collection, fixation, and enumeration of phytoplankton standing stock. In: Recommended procedures for measuring the production of plankton standing and related oceanic properties. Nat. Acad. Scien., Washington. :17-45.
- YENTSCH, C.S. and RYTHER, J.H. 1959. Relative significance of the net phytoplankton and nanoplankton in the waters of Vineyard Sound. *J.Cons.int.Perman.Eplor.Mer* 24:231-238.
- ZEITSCHEL, B. 1980. Sediment-water interactions. In: TENORE, K.R. and COULL, B.C. (EDS.) 1980. *Marine benthic dynamics*. Belle Braruch Libr.mar.Scien. ii, Univ. South Carolina Press. :195-218.